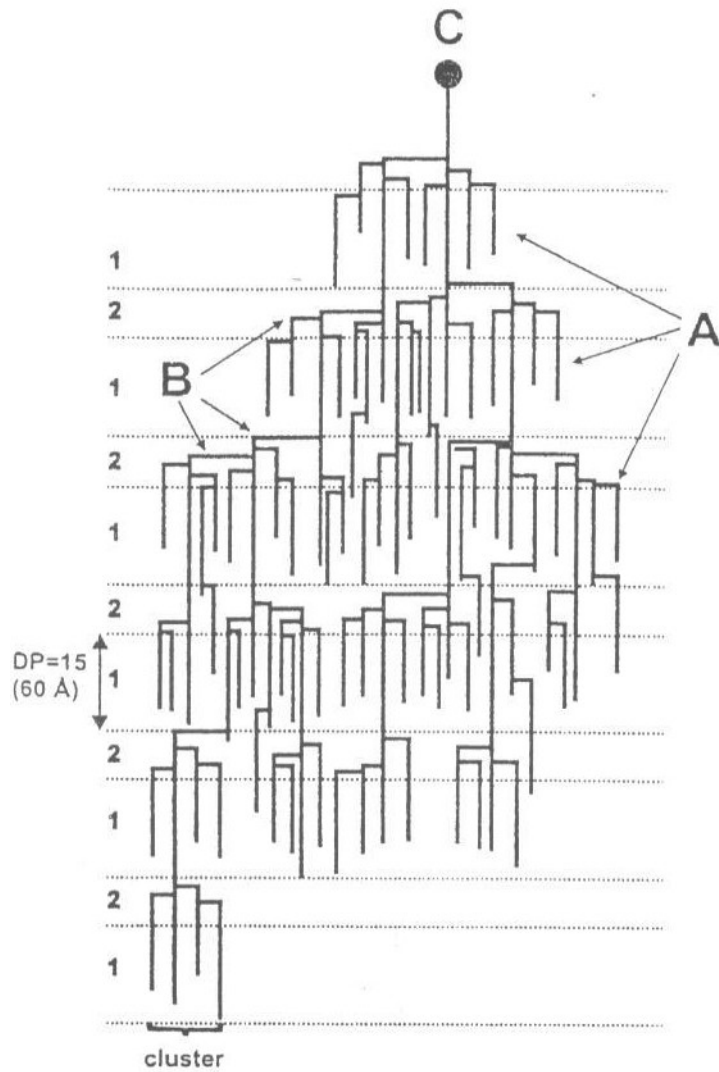


第一章 緒論

第一節 澱粉生合成作用

1.1 澱粉的組成及結構

大部分高等植物是以澱粉為儲存醣類的形式，其在植物體中以結晶 (crystalline) 及非結晶 (amorphous) 部分組成之水不溶性 (water-insoluble) 的顆粒存在。澱粉主要是由二種葡萄糖聚合物所組成，分別為 20 - 30 % 直鏈澱粉 (amylose)，以及 70-80 % 支鏈澱粉 (amylopectin)。直鏈澱粉主要是由 840 至 22,000 個 α -1,4 linked glucose 單位及少數 α -1,6 branch points 所形成的長直鏈結構，平均分子量為 136,000~ 3.5×10^6 (Martin and Smith, 1995 ; Ball et al., 1996 ; Preiss and Sivak, 1998)，而支鏈澱粉則是具有高度 α -1,6 分支的複雜結構，可含有超過 3×10^6 的 Glc 單位，是自然界中的巨大分子，平均分子量為 $10^6 \sim 10^8$ (Sun et al., 1998)。支鏈澱粉依據其鏈的分布，可分成三大類：(1) C chain，是唯一含有 glucosyl 的還原端且作為 glucan tree 的主幹；(2) B chain，是由 C chain 分支出來且自行進一步分支；(3) A chain，是最外邊的分支，其本身為直鏈 (圖一) (Robin et al., 1974 ; Martin and Smith, 1995)。



圖一、支鏈澱粉的分支結構 Robin et al., 1974

Fig. 1 Branched structure of the amylopectin molecule.

1.2 澱粉的生合成與參與酵素

澱粉生合成會發生在光合作用組織 (photosynthetic tissue) 如葉子，與能源儲存組織 (sink tissue) 如根、塊莖、種子等的澱粉體

(amyloplast) 當中，前者會生成 transient starch，以蔗糖 (sucrose)運送到後者，再以生成 starch granule 形式作能源儲存。

(一) 植物澱粉體內主要合成澱粉的酵素：

(1) ADP-Glucose pyrophosphorylase (AGPase ; EC 2.7.7.27) :

是澱粉生合成的第一步驟，主要作用為將 Glucose-1-phosphate 轉變為 ADP-Glucose，作為基質使用。

(2) Starch synthase (SS, α -1,4-glucan-glucosyltransferase ; EC 2.4.1.21):

將 ADP-Glucose 以 α -1,4 glucosidic bond 鍵結至直鏈 glucan chain 的非還原端。根據玉米基因選殖研究證實，至少有 6 種 SS 的異構型 (Cao et al., 2000) -分別為可溶性澱粉合成酶 (soluble starch synthases, SSSI、SSSIIa、SSSIIb、SSSIII) 及澱粉粒結合性澱粉合成酶 (granule- bound starch synthases , GBSSI、GBSSII)。二者皆是以 ADP-Glucose 作為反應基質，延伸 α -1,4-glucoside 的長度，但是 GBSS 與直鏈澱粉 (amylose) 生合成有關，而 SSS 則被認為同時參與直鏈澱粉 (amylose) 及支鏈澱粉 (amylopectin) 之生合成 (Visser and Jacobson, 1993)

(3) Debranching enzyme (DBE):

參與支鏈澱粉 (amylopectin) 裂解及合成，主要作用為水解 α -1, 6-glucosidic bond，移除不正確的分支點 (Myers et al., 2000 ; Nakamura Y, 2002)。根據其對受質的專一性主要分成 isoamylase (EC 3.2.1.68) 及 pullulanases (EC 3.2.1.41) 二種，isoamylase 作用於支鏈澱粉及肝糖，但不能作用於 pullulan (一種真菌葡聚糖，包含 α -1,6 及 α -1,4 鍵結)，然而 pullulanases 則偏好以 pullulan 作受質且對支鏈澱粉或肝糖的影響很小 (Genschel, et al., 2002)。

(4) Starch branching enzyme (SBE, α -1,4-glucan-6-glucosyltransferase ; EC 2.4.1.18):

主要作用為水解直鏈或支鏈澱粉上之 α -1,4- glucosidic bond，產生非還原端的直鏈葡聚糖，同時將其以 α -1, 6-glucosidic bond 接到原鏈或另一條 α -1,4-葡聚糖終端葡萄糖分子的 C6 hydroxyls 形成分支狀態，在支鏈澱粉 (amylopectin) 合成上扮演相當重要的角色 (Preiss and Sivak, 1998)，有二種以上 SBE 的異構型，SBEI 及 SBEII 詳述於後。

(二) 合成路徑 (圖二):

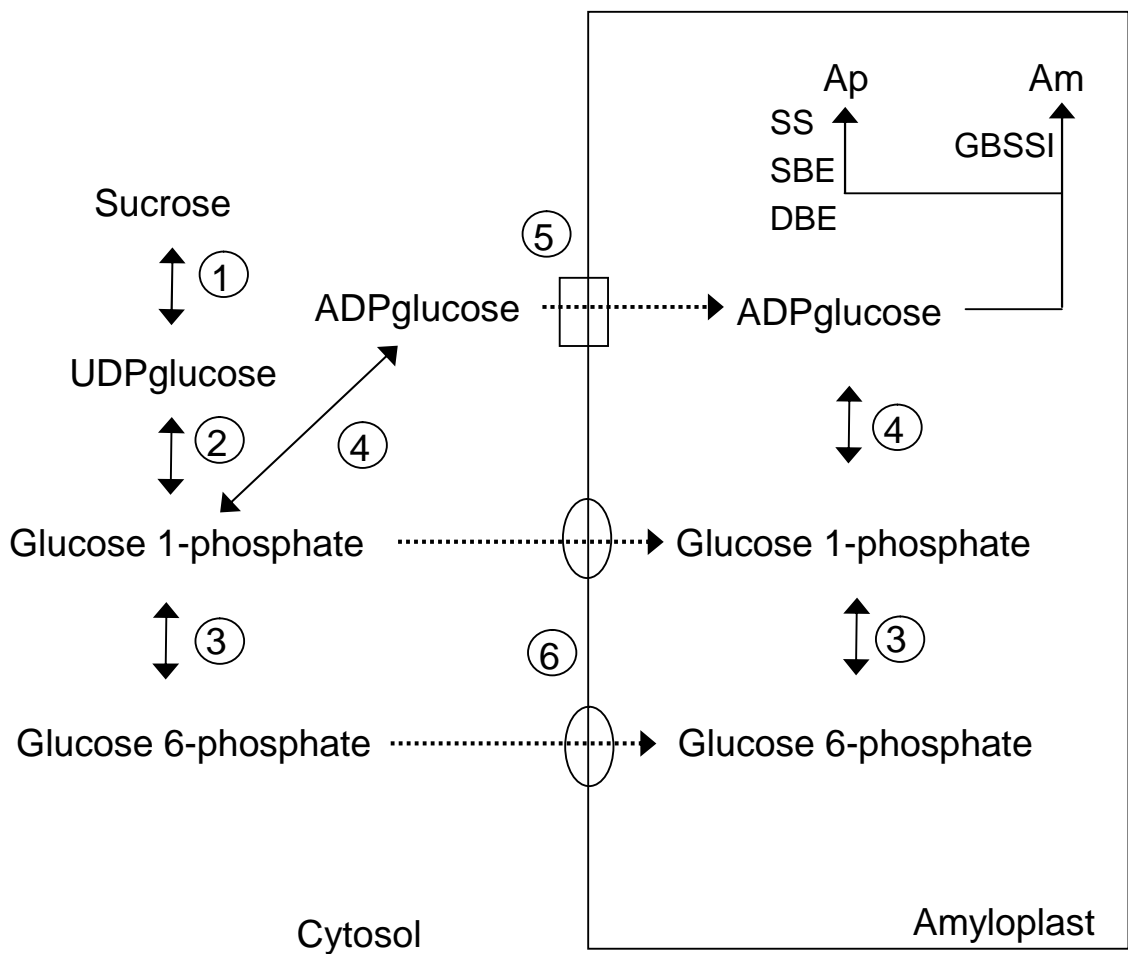
首先，由碳源供應組織生成 Sucrose 後，在韌皮部 (phloem)，經細

胞壁的蔗糖轉化酶 (Invertase, β -D-fructofuranoside fructohydro -lase ; EC 3.2.1.26) 轉變成葡萄糖及果糖進入細胞質。Sucrose + UDP 經蔗糖合成酶 (Sucrose synthase, UDP-D-glucose: D-fructose 2- α -D-glucosyltransferase ; EC 2.4.1.13) 轉換成 UDPglucose + Fructose , UDPglucose 經 UDPglucose pyrophosphorylase (EC 2.7.7.9) 轉變成 G-1-P , 再經由二種不同的路線運送至合成澱粉組織的澱粉體胞器中 :

路線一 (主要的) : G-1-P 經 phosphoglucomutase (EC 2.7.5.1) 轉變成 G-6-P 後 , 經由 transporter 運送至澱粉體 (amyloplast) 中 , 再轉變成 G-1-P , G-1-P 經 AGPase 合成 ADPglucose 。

路線二 : G-1-P 經 AGPase 合成 ADPglucose , 直接經由特殊的 transporter 運送至澱粉體中 (Smith, 2001 ; Emes et al., 2003) 。

而後以 ADPglucose 為先驅物 , 經澱粉合成酶 (包括 GBSS 或 SSS) 合成直鏈澱粉 (amylose) 後 , 再經可溶性澱粉合成酶 SSS、SBE 及 DBE 作用共同合成支鏈澱粉 (amylopectin) 。



圖二、澱粉的生合成路徑圖 (Smith, 2001 ; Emes et al., 2003)

Fig. 2 The pathway of starch biosynthesis.

1. Sucrose synthase
 2. UDPglucose pyrophosphorylase
 3. phosphoglucomutase
 4. ADPglucose pyrophosphorylase (AGPase)
 5. ADPGlc transporters
 6. hexose phosphate transporters
- Ap- Amylopectin; Am- amylose

第二節 澱粉分支酶之分子生物學研究

在原核生物中如 *E. coli* 或其它細菌中，發現有一種是進行類似澱粉的分支酶存在，即是 glycogen synthase (Baecker et al., 1986)。然而，在植物方面，經由基因及生化分析，證實有二種以上的分支酶異構型存在 (Sivak and Preiss, 1998)。

2.1 澱粉分支酶的基因選殖(gene cloning)研究

在植物方面，經過分析及鑑定不同植物 BE 的分子結構，可將澱粉分支酶分為 family A 與 B 二大類 (Burton et al., 1995) (表一、二)。

而在部分物種中，例如: maize (Boyer and Preiss, 1978 a,b; Gao et al., 1997)、*Arabidopsis* (Fisher et al., 1996)、barley (Sun et al., 1998)..等報告中均指出，SBEII 可進一步分為 SBEIIa 及 SBEIIb 二種異構型，他們有以下特色：(a) 分別由 *sbellla* 及 *sbelllb* 二種不同的基因編碼；(b) 在植物生長期間，顯示出不同的表現型態 (空間性及時間性)；(c) *sbelllb* 有組織特異性，例如在 maize 及 sorghum 研究發現，存在胚乳及胚芽，而在 barley 研究顯示僅存在胚乳中。由上述研究證實，因為有多組的 SBE 異構型存在於不同物種中，顯示植物發育或支鏈澱粉合成期間，是需要不同形式的 SBE 參與作用。

表一、不同物種屬於 family B 之 SBE 異構型的研究

Family B (以多數 SBEI 代表)

酵素	物種	參考文獻
SBEI	maize	Baba et al., 1991 Fisher et al., 1993 Gao et al., 1996
	potato	Kossmann et al., 1991 Khoshnoodi et al., 1996
	cassava	Salehuzzaman et al., 1992
	wheat	Morell et al., 1997
	kidney bean	Hamada et al., 2001
RBE1	rice	Nakamura and Yamanouchi, 1992 Kawasaki et al., 1993
SBEII	pea	Burton et al., 1995

表二、不同物種屬於 family A 之 SBE 異構型的研究

Family A (以多數 SBEII 代表)

酵素	物種	參考文獻
SBEII	maize	Boyer and Preiss, 1978 a,b Fisher et al., 1993 Gao et al., 1997
	potato	Larsson et al., 1996 Larsson et al., 1998 Jobling et al., 1999
	<i>Arabidopsis</i>	Fisher et al., 1996
	wheat	Morell et al., 1997 Nair et al., 1997 Rahman et al., 2001
	barley	Sun et al., 1998
	kidney bean	Hamada et al., 2001 Nozaki et al., 2001 Hamada et al., 2002
RBE3 RBE4	rice	Yamanouchi and Nakamura, 1992 Mizuno et al., 1992, 1993, 2001
SBEI	pea	Smith, 1988 Bhattacharyya et al., 1990 Burton et al., 1995

2.2 基因結構 (gene structure) 的研究

根據不同物種之編碼基因序列比對及結構分析，在澱粉及醣類中，所有參與澱粉水解的相關酵素，包含水解 α -1,4-linkages 的酵素，例如 cyclodextrin glucanotransferase、 α -glucosidases、水解 α -1,6-linkages 的去分支酶 (isoamylase, pullulanase) 及 dextran glucosidase、影響 α -1,4 與 α -1,6-linkages 的 neopullulanase 及 α -amylase-pullulanase、以及參與 α -glucan 轉移的分支酶 (branching enzyme) 與肝醣去分支酶 (glycogen debranching enzyme)，均屬於 α -amylase family，其包含特有的催化區 (β/α)₈-barrel domain 及四個活化部位的保留區間 (active conserved region)。在所有 α -amylase family 的酵素中，只有八個胺基酸是不變的，分別為 region 1 的 **Asp, Val, His**；region 2 的 **Arg, Asp**；region 3 的 **Glu** 和 region 4 的 **His, Asp**，其中七個 (粗體) 為活化中心 (Jespersen et al., 1993; Svensson, 1994; Burton et al., 1995)。

2.2.1 (β/α)₈-barrel domain (圖三)

結構是由八個 β -strands (β_{1-8}) 及 α -helices (α_{1-8}) 所組成，具有 $\beta\alpha/\beta\alpha\dots$ 連接的特性，還有一額外的 α -helix (α_0) 位於第六個 β -strand 之後。

2.2.2 活化部位的保留區間 (active conserved region)

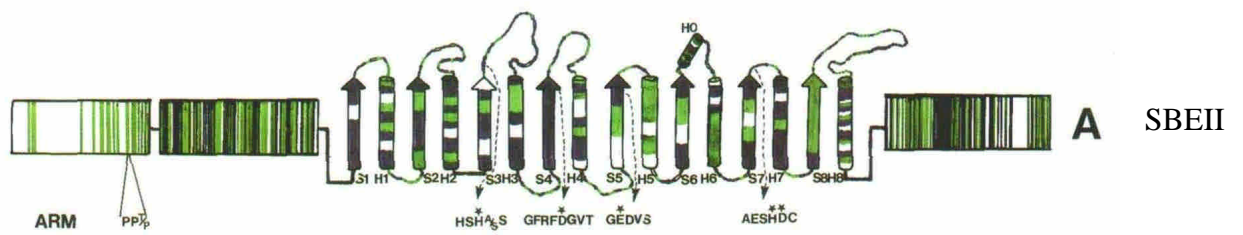
將不同物種之屬於 α -amylase family 的酵素序列，並排比對，獲得

四個保留性較高的區域 (conserved regions) 及七個活化中心的胺基酸。Kuriki et al. (1996) 指出，BE 的四個保守區域對反應的催化及基質結合很重要，經 site-directed mutagenesis 研究證實，催化部位第二、四區間的 Asp (D) 及第三區間的 Glu (E)，對於分支酶的活性有很大的影響，然而，其確切的作用機制仍不清楚。Cao and Preiss (1996) 利用化學修飾法證實 Arg (R) 對基質結合很重要；同樣地，Funane and Preiss (1996; unpublished) 也確認 His (H) 與基質結合的重要性。(Preiss and Sivak, 1998)

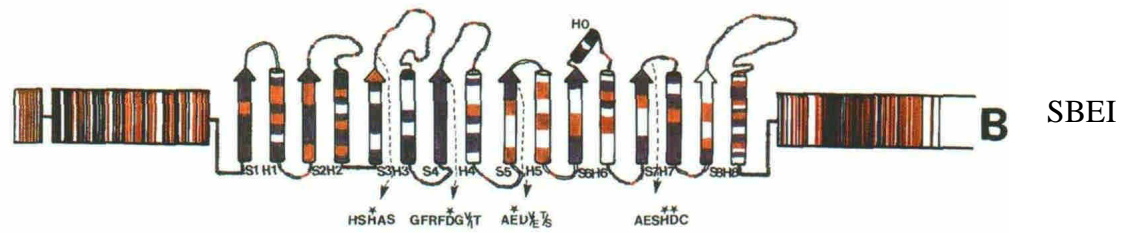
2.2.3 胺基酸序列之 N- 和 C-端的影響

比對各物種之分支酶胺基酸序列，其差異主要在於 N- 和 C-端。Kuriki et al. (1997) 報告指出，利用 maize BEI 與 maize BEII 嵌合形基因 (chimeric gene) 在大腸菌以 T7 起動子的基因表現一系列的嵌合酵素，發現兩種異構型性質的差別，結果將 maize BEI 的 C 端以 maize BEII 的 C 端代替，所表現出的 maize BEII-I Bsp HI 嵌合酵素比野生型 maize BEI 或 maize BEII 活性更高，但對基質的特異性卻和 maize BEI 相似，顯示出 C 端對基質結合的特異性與催化能力很重要；在鏈的轉移 (chain transfer) 實驗顯示，將 maize BEII 的 N 端以 maize BEI 的 N 端代替，所表現出的 maize BEI-II Hind III 和 BEII 相似，轉移較短的 glucan 鏈，相

反的，maize BE II-I HindIII 和 BEI 相似，轉移較長的 glucan 鏈，顯示 N 端與鏈長度的轉移相關，因此 C 及 N 端可能對基質結合的特異性與催化能力、鏈的轉移及支鏈的長度都具有重要性。



N-terminal arm



Martin and Smith 1995

圖三、SBE family A 與 B 之基因結構

Fig. 3 Gene structure of starch branching enzyme family A and B

β -strand 及 α -helice 分別以 S 及 H 表示

Black bars : conserved regions in family A and B

Green bars : conserved regions in family A

Brown bars : conserved regions in family B

active conserved region of family A : $\text{HSH}^{\text{A}}/\text{S}$, $\text{GF}^{\text{E}}\text{FDGVT}$, $\text{GE}^{\text{D}}\text{VS}$, $\text{AE}^{\text{S}}\text{HDC}$

active conserved region of family B : HSHAS , $\text{GF}^{\text{V}}\text{RFDG}^{\text{V}}/\text{T}$, $\text{AE}^{\text{V}}/\text{E}^{\text{T}}/\text{S}$, $\text{AE}^{\text{S}}\text{HDC}$

2.3 SBEII (family A)與 SBEI (family B) 異構型間的差異

2.3.1 立體結構方面

(一) N 端結構

經由稻米、豌豆、大麥及玉米等物種的 SBE 胺基酸序列並排比對的研究指出，SBEII 的 N 端序列較 SBEI 長，SBEII 的 N 端含 extra-N-terminal domain”，而 SBEI 則缺乏 (Mizuno et al., 1993 ; Burton et al., 1995 ; Sun et al., 1998)。根據 Choy-Fasman algorithm 預測，此 domain 可能是”flexible”，其末端含有二或三個連續的 proline 殘基 (Burton et al., 1995)。N-terminal domain 功能的重要性仍不清楚，推測可能影響 SBE 與其他酵素間或 SBE 與澱粉顆粒間的接觸 (Burton et al., 1995 ; Martin and Smith, 1995)。

(二) 連接 β -strand 與 α -helice 間的 loop 結構

經細菌 (*E. coli*) 肝糖分支酶 (glycogen branching enzyme) 與玉米澱粉分支酶序列比對結果發現，連接 β -strand 7 與 α -helice 7 及 β -strand 8 與 α -helice 8 間的 $\beta \rightarrow \alpha$ loop 長度差異很大，推測可能與肝糖及支鏈澱粉間分支長度的差異有關 (Jespersen et al., 1993)。

Burton et al. (1995) 研究指出， β -strand 8 與 α -helice 8 間的 loop，有一段由 11 個胺基酸組成的序列 ($^P/EQXLP^S/_N G K^F/_I/V^P$) 存在所有的 SBE family A 族群，然而 SBE family B 則缺乏。Takeda et al. (1993) 證實此段序列與轉移的分支長度有關，此結果支持 β -strand 與 α -helice 間

的 loop 影響支鏈長度的假設 (Jespersen et al., 1993)。

2.3.2 催化特性方面：

Guan and Preiss (1993) 及 Sivak and Preiss (1998) 報告中指出，以 amylose 及 amylopectin 為 SBE 作用基質，利用碘染的方法，使 iodine 與基質結合形成 amylose/iodine complex (OD_{660}) 及 amylopectin/iodine complex (OD_{530})，測此二種 complex 的吸光值，發現在 SBEI 作用下 amylose /iodine complex 的吸光值大量減少；同時測量 SBE 活性，發現在 amylose 存在下 SBEI 活性明顯大於 SBEII，相對的以 amylopectin 作為 primer 時，SBEII 活性則明顯大於 SBEI，尤其是 SBEIIb；結果顯示 SBEII 偏好以 amylopectin 為作用基質，而 SBEI 則偏好以 amylose 為作用基質；Takeda et al. (1993) 報告中指出，觀察 SBE 對 amylose 作用發現 SBEII 催化轉移的 glucan chain 較 SBEI 短，結果顯示，SBEII 組成 amylopectin 的支鏈長度較 SBEI 短。此不同的催化特性，很可能是因為 SBEII 與 SBEI 間 conserved structural ($(\beta/\alpha)_8$ - barrel domain) 的差異造成。

表三、澱粉分支酶異構型的催化特性比較

酵素	作用基質	轉移鏈長度	參與反應
SBEII	amylopectin	短鏈	主要參與 amylopectin A chain 的合成
SBEI	amylose	長鏈	主要參與 amylopectin B chain 的合成

(Guan and Preiss, 1993; Takeda et al., 1993; Sivak and Preiss, 1998)

2.3.3 生長發育期間表現的時間點

利用北方點墨法 (Northern blot)，分別以豌豆 SBEI 及 SBEII cDNA 片段為探針，研究豌豆胚芽的發育時期發現，SBEI (family A) 活性表現在早期，而 SBEII (family B) 表現的時間則較晚 (Burton et al., 1995)。此相同的情形亦發生 rice (Mizuno et al., 1992)，maize (Gao et al., 1996)，wheat (Morell et al., 1997)，kidney bean (Hamada et al., 2001) 以及 barley (Mutisya et al., 2003)..等，表示分支酶之異構型在澱粉生合成過程中，對支鏈澱粉的分支度及鏈的長度，各自具有不同貢獻。

第三節 豆科植物之澱粉分支酶的研究

3.1 豌豆 (*Pisum sativum* ; Pea)

Smith (1988) 研究 round-及 wrinkled-seeded 豌豆胚芽 (pea embryo) 發育時期之 SBE，發現此二種表現型的差異主要在 r (rugosus) 基因部位，分別為 RR, Rr 及 rr 基因型。由成熟的胚芽中純化出 SBE，發現 round peas 中有二種分子大小及分支 amylose 能力不同的異構型，而 wrinkled peas 中僅有一種蛋白質，其分支的特性與 round peas 的其中一個異構型相同；同時，分析二種表現型的酵素活性，觀察到 round phenotype 在胚芽發育的早期快速增加而 wrinkled phenotype 的酵素活性僅在晚期出現，推測 SBE 活性的差異，可能與僅存在於 round phenotype 的異構型有關。

Bhattacharyya et al. (1990) 選殖出豌豆的 r (rugosus, wrinkle) 基因部位，發現 wrinkled (rr) 種子缺乏存在於 round (RR 及 Rr) 種子的 SBEI 異構型，因此認為豌豆的 SBEI 基因位於 r 基因部位。隨後，Burton et al. (1995) 利用 SBEII 抗體 (Denyer et al., 1993) 於噬菌體 λ gt11 建構的 cDNA 表現庫 (expression library) 中篩選出 SBEII cDNA；而以 Bhattacharyya et al. (1990) 獲得的 SBEI 部分序列為探針，由 λ gt10 cDNA 基因庫中篩選出 SBEI cDNA。SBEI cDNA 之全長

為 3549 bp，其 open reading frame (ORF) 的長度為 2766 bp，編碼出 922 個胺基酸，包含 875 個胺基酸的成熟蛋白質及 47 個胺基酸的 transit peptide，預估分子量大小為 99.8 kDa；然而，SBEII cDNA 因缺乏起始密碼子"ATG"，並未獲的全長序列，其 ORF 的長度為 2355 bp，編碼出 769 個胺基酸的成熟蛋白質，預估分子量大小為 87.7 kDa。將 SBEI 與 SBEII cDNA 演繹出之成熟蛋白質的胺基酸並排比對，觀察序列結構的差異，發現：(1) 成熟的 SBEII 較 SBEI 的 N 端缺少一段 121 個胺基酸的序列 (N-terminal domain)。在接近此序列 C 端的部分，有 3 個連續的 prolines (位於成熟 SBEI 的 113-115)，且包含大量的 serine。並經由 Chou-Fasman algorithm (Peptideplot；Chou and Fasman, 1978; Devereux et al., 1984) 分析序列的二級結構，推測此 N-terminal domain 是非常"flexible"的。(2) 有一段 11 個胺基酸組成的序列 (EQHLPNGKIVP)，僅存在於 SBEI (644-654)。(3) 有 3 個額外的胺基酸僅出現在 SBEII (298-300)。(4) 在 SBEI (590-599) 與 SBEII (496-505) 序列的相對位置，出現"break"情形。(5) 有一段由 8 個胺基酸組成的序列 (PEGIPGIP)，僅存在於 SBEII (669-676)。此外，將 SBEI 與 SBEII cDNA 演繹出的胺基酸序列與酵母菌、哺乳動物和原核生物的 glycogen branching enzyme 以及玉米、稻米、馬鈴薯、樹薯的 SBE 並排比對發

現，豌豆 SBEI 屬於澱粉分支酶 family A 而 SBEII 則歸類為 family B 族群。

3.2 菜豆 (*Phaseolus vulgaris* ; Kidney bean)

Nozaki et al. (2001) 由生長中的菜豆種子分離出二種 SBE 異構型，KBE1 與 KBE2，分子量大小分別為 80 kDa 及 77 kDa。經 N 端定序比對，發現 KBE1 與 KBE2 的相似度很高，N 端序列為 "IIPRPGAGQ KIYEIDPSLLAYRDHL"。將此段序列與豌豆、阿拉伯芥、大麥、小麥、玉米、馬鈴薯及稻米之 SBE 異構型 (SBEI, SBEIIa, SBEIIb) 並排比對，發現與屬於 family A 的 SBE 異構型相似度較高，因此將 KBE1 與 KBE2 歸類於 family A 族群。分析此二種蛋白質可知除了分子量及對 amylose 的親和力外，其它的酵素特性，例如 pH 值、T_m 值及對檸檬酸 (citrate) 與鈣離子 (Ca²⁺) 的反應等都很接近，且 KBE1 與 KBE2 N 端部分序列的相似度較其他物種之異構型 (例如 barley BEIIa, BEIIb) 間的相似度高，因此認為 KBE1 與 KBE2 是由單一基因演繹出來的。隨後，Hamada et al. (2001) 並將 KBE1, KBE2 重新命名為 PvSBEII2, PvSBEII2-1，該研究是由 PvSBE2 獲得的序列設計引子，以發育中期之菜豆種子分離出的 mRNA 為模板，進行反轉錄及 PCR 反應，得到二條不同的序列，經資料庫比對，其中一條和 family A 的相似度很高 (命名為 *pvsbe2*)，另一條

則不同於 family A (命名為 *pvsbe1*)。將 *pvsbe2*, *pvsbe1* 當作探針，用於篩選由生長中之菜豆種子分離出的 mRNA 所建構的基因庫，成功的獲得全長序列為 3360 的 *pvsbe2* 與 2732 bp 的 *pvsbe1*。*pvsbe2* 之 ORF (open reading frame) 長度為 2613 bp，編碼出 870 個胺基酸 (PvSBE2)，預估分子量大小為 99.8 kDa；而 *pvsbe1* 其 ORF 為 2544 bp 並編碼出 847 個胺基酸 (PvSBE1)，預估為 96.3 kDa 分子大小的蛋白質。北方點墨法分析不同生長時期 (DAF 4~16) 之澱粉分支酶的表現，發現 *pvsbe2* 主要表現在種子發育的中期，而 *pvsbe1* 則表現於晚期。

第四節 綠豆之簡介

綠豆 (mungbean)，學名 *Vigna radiata* L.，屬豆科豇豆屬。別名青小豆、植豆，原產於印度，在熱帶及亞熱帶地區都有種植。依綠豆的外觀，可分為油綠豆及粉綠豆二種，油綠豆種皮厚且具光澤，適合加工製餡用；粉綠豆種皮略帶粉質，煮後味香無硬粒，較受消費者喜愛。一般市面上多為東南亞進口的油綠豆，主要提供作為生產豆芽菜、冬粉絲及餅餡等。而國產則以粉綠豆為主，主要種植地區為嘉南平原，其品質優良且易煮爛，尤其適合加工製成綠豆湯，目前廣為栽培的品種為「台南五號」。(吳昭慧和連大進, 1996)

台南五號 (VC3890A) 是由台南區農業改良場 (台南場) 及亞洲蔬菜研究發展中心 (AVRDC) 共同選育而成之高產量、高品質、抗白粉病之品種。此品種之雜交母本為粉綠豆品系 VC2750A，為大粒種 (60 克/千粒重)，成熟具一致性及抗白粉病性優良；父本為油綠豆品系 VC2768A，亦為大粒種 (65.3 克/千粒重)，早熟且適應性廣，產量高為其特色。植物性狀為一年生直立草本雙子葉植物，植株高 45-62 公分，被有茸毛；莖呈淡綠色，表面具疏毛；葉為三小複葉，小葉全緣呈腎臟形；花數朵呈淡黃色；花後結莢，果莢具莢毛，未熟莢為綠色，成熟時轉黑；種子近方形，臍白色不凹陷，種皮色澤為粉綠色。結莢習性集中於頂端且集中，開花期整齊，早熟且成熟一致不易裂莢，採收方便 (翁廷賜和賴森雄, 1992)。

組成分方面，綠豆含約 46-54% 澱粉及 20-26% 蛋白質 (AVRDC, 1975)，其蛋白質富含米、麥中最缺乏的離胺酸 (lysine)，且脂肪多屬不飽和脂肪酸，主要為棕櫚酸和亞麻油酸 (Um et al., 1990)。綠豆澱粉中含有較多的戊聚糖、半乳聚糖、糊精和半纖維素，這些成分因為人體腸胃道沒有相應的水解酵素系統而很難被消化吸收，所以綠豆所提供的熱量較其他穀物低，對於肥胖和糖尿病患者有輔助治療的作用

(Li, 2001), 在營養上非常重要。

物理特性方面，綠豆澱粉顆粒為不規則狀（橢圓形、球形），因此直徑變化很大，範圍約為 7-26 μm ，較其它豆類（12-48 μm ）小 (Hoover et al., 1991 1997)，糊化溫度約為 65°C (Li et al., 1987)。

功效方面，根據〈開寶本草〉記載：煮食，消腫下氣，清熱解毒，生研絞之服，治丹毒煩熱，風疹，藥後發動，熱氣奔豚。〈本草綱目〉記載：綠豆，消腫治痘之功雖同予赤豆，而壓熱解毒之力過之。且益氣、厚腸胃、通經脈，無久服枯人之忌。外科治癰疽，有內托護心散，極言其效。綠豆肉平皮寒，可解金石、砒霜、草木一切諸毒。又根據〈本草求真〉記載：綠豆味甘性寒，據書備極稱善，有言能厚腸胃、潤皮膚、和五臟及資脾胃，按此雖用參、芪、歸、白朮，不是過也。第所言能厚、能潤、能和、能資者，緣因毒邪內熾，凡臟腑經絡皮膚脾胃，一不受毒擾，服此性善解毒，故凡一切等症不用此奏效。由此可知，各家本草對於綠豆清熱消屬，解毒，利水等藥用功效都極力推崇（中藥大辭典）。

加工性質方面，Zhu et al., 1990 報導綠豆澱粉加工製作的麵條，平滑且柔軟並具有良好的烹調特性；綠豆澱粉為我國許多傳統食品的主要原料，其中綠豆冬粉具有久煮不爛的特性、良好的透明度及特殊的

咀嚼感，是因為綠豆澱粉的結構較特別，其 amylose 的含量約為 32-35%，較一般澱粉的 15-30% 為高，且 amylopectin 的分支多，使其能彼此產生架橋作用而具有適當的結合力，黏度屬於在高溫下較安定的 C 型 (Hodge and Osman 1976; Li et al., 1987; Hoover et al., 1997)，因為以上的特性而使其不能為其他種類的澱粉所取代作為製造冬粉的原料。

第五節 本論文之研究起源與目的

參與澱粉合成的酵素，在植物醣類代謝的能量儲存方面具生理上的必要性，而不同種類的澱粉合成酵素在澱粉的結構上扮演著特異性的角色。在國內外關於綠豆澱粉生合成的研究非常有限，Tsay et al. (1983) 分析綠豆開花到結莢的種子生長期間與澱粉合成有關的酵素，包括sucrose synthetase, ADP-glucose pyrophosphorylase (AGPase) 及starch synthase (SS)，發現在開花後 (DAF, day after flowering) 11-14 天，sucrose synthetase的活性降至最低，取而代之的是AGPase和SS的活性迅速增加，然而此篇報告僅局限於對酵素活性的測試，隨後就沒有和綠豆澱粉合成酵素相關的發表。

由於目前缺乏對綠豆澱粉合成酶 (starch synthase, SS) 及綠豆澱粉分支酶 (starch branching enzyme, SBE) 在分子生物層次的報告。因此本研究根據 Tsay et al. (1983) 的報導，取自於 DAF 14 (開花後 14 天) 天的「台南五號」綠豆種子作為材料，針對綠豆澱粉分支酶著重於探討其基因結構，包含 cDNA 的選殖與特性分析。

第二章 材料與方法

第一節 材料

1.1 樣品

未成熟 (約 DAF14) 台南五號綠豆 (*Vigna radiate* cv. Tainan no.5 ; VC3890A) 於台南農業改良場的朴子分廠進行田間採收, 連同豆莢一起儲存於 -80 °C 冰庫中, 使用時才由豆莢中取出完整之綠豆種子。

1.2 藥品

本研究均採用分生級藥品, dNTP (dATP, dCTP, dGTP, dTTP) 購自 ABgene (Epsom, U.K.)。Agra, Ampicillin, Bacto- tryptone, Bacto-yeast extract, NaCl (Sodium Chloride), MgCl₂ 購自 Amersco, Inc. (Ohio, USA)。SDS, Tris-base 購自 Bio-Rad Laboratories (Hercules, CA, USA)。SmartTM RACE cDNA Amplification Kit 購自 Clontech (Palo Alto, CA, USA)。DNA 標準品 (Gen-100 DNA ladder) 購自 慕容科技有限公司 (Taichung, Taiwan)。SuperScriptTM One-Step RT-PCR Systems 購自 Invitrogen (Carlsbad, CA, USA)。LB Broth Miller 購自 Athena Enzyme Systems (Maryland, USA)。限制酶 EcoRI, NotI 購自 New England BioLabs (Beverly, MA, USA)。EDTA (N,N,N¹, N¹-Ethylenedi aminetetraac -etic) 購自 USB (Cleveland, Ohio, USA)。pGEM-T Easy Vector Systems, PolyATtract^R mRNA isolation systems 購自 Promega Corporation (Madison, WI, USA)。

IPTG, X-Gal 購自 Protech (Taipei, Taiwan) 。 FastStart Taq DNA Polymerase 購自 Roche (Mannheim, Germany) 。 Agarose 購自 Cambrex Corporation (Rockland, ME, USA) 。 Absolute alcohol (100% 酒精), Bromophenol blue, Chloroform/iso -amylalcohol (24/1), DEPC (Diethyl pyrocarbonate), DMF (N,N'- dimethyl-formamide), EtBr (Ethidium Bromide), Formaldehyde, Formamide, Glucose, KCl (Potassium Chloride), LiCl (Lithium Chloride), Lauro-sarcosyl, β -mercaptoethanol, MOPS (3-[N-Morpholino] propane -sulfonic acid) , Phenol, Sodium acetate, Xylene cyanol FF 購自 Sigma Chemicals Co. (St. Louis, MO, USA) 。 Glycerol 購自 Tedia Company (Fairfield, Ohio, USA) 。 Gel Extraction, PCR-MTM Clean Up System, Plasmid DNA Extraction System 購自 Viogene Biotek Corp. (Taipei, Taiwan) 。 JM110 中興大學徐堯輝老師提供 。 DH5 α 購自益生生技公司 (Taipei, Taiwan) 。

1.3 儀器設備

- (1) 分光光度計 (Amersham Biosciences GeneQuant pro)
- (2) 影像文書處理系統 (AlphaImager ; AlphaInnotech IS2000)
- (3) pH 酸鹼度計 (pH meter ; Mettler MP220)
- (4) 水平電泳裝置 (Sub-Cell GT Agarose Gel Electrophoresis Systems ; Bio-Rad)
- (5) 高速冷凍離心機 (Speed refrigerated centrifuge ; Hitachi CR21)
- (6) 迴轉式震盪培養箱 (Orbital shaking incubator ; Firstek scientific S300R)
- (7) 搖擺式震盪器 (Rocking shaker ; Firstek scientific RS101)

- (8) 微量離心機 (Microcentrifuge ; Labnet 16M)
- (9) 超音波洗淨器 (Ultrafiltration stirred cell ; Amicon model 8550)
- (10) 微波爐 (microwave oven ; 大同 TMO-2010)
- (11) 無菌操作台 (Biological Safety Cabinet ; NuAire NU-425-600)
- (12) 離心乾燥機 (MAXI dry plus ; Heto)
- (13) PCR 機器 (Bio-Rad iCycler)
- (14) 水浴加熱器 (Firstek scientific B206)
- (15) 紫外光觀察箱 (UV Box ; Uvitec)
- (16) 滅菌鍋 (Autoclave ; Vertical sterilizer AS-3560)
- (17) 處理型排氣櫃 (Model captair ; Filtair 824)

第二節 引子的設計與合成

2.1 設計引子

利用國家衛生研究院巨分子序列分析資料庫 (GCG SeqWeb) 查出澱粉分支酶相似物種序列 (Lookup or StringSearch), 利用 MEME (MotifSearch) 找出序列的 conserved motif, 由 Reading Frame 得到分別對 N,C-端之最遠端的二個 Motif。假設最遠端為 Motif 2 及 Motif 4, 將此二段序列分別跑 Primer Selection, 由 motif 4 設計 reverse primer、由

motif 2 找設計 forward primer，將找到符合條件的 Primer 跑 Blastn (確認其專一性)，相似性愈少愈好。

2.2 合成引子

設計好的引子，送交騰達行 (Taipei, Taiwan) 代為合成。得到乾燥的引子，以 DEPC -H₂O 復水後，儲存於-20°C。

第三節 RNA 之抽取與分析

3.1 Total RNA 之抽取

採用 hot phenol 法: 參考自 Shirzadegan et al. (1991)

【試劑】

1. 萃取緩衝液
2. Phenol、Chloroform/isoamylalcohol (24/1)、
Phenol/ Chloroform/isoamylalcohol (25:24:1)
3. 2 M 及 4 M LiCl 溶液
4. 0.1% Lauro-sarcosyl
5. 3 M 醋酸鈉溶液，pH 4.3 (以冰醋酸調整 pH 值)
6. 80% 及 100% 酒精

【藥品配製】

萃取緩衝液 (100 mL)

試劑	需要量	終濃度
Tris-base	1.2114 g	100 mM
LiCl	0.4239 g	100 mM
0.5 M EDTA (pH 8.0)	20 mL	100 mM
10% SDS	10 mL	1%
β -mercaptoethanol	0.7813 mL	100 mM

先以 50 mL 水溶解 Tris-base，以 HCl 調整 pH 值至 7.5 後，加入其他藥品，溶解後，加水定量至 100 mL，滅菌，於 4°C 保存。

【步驟】

先取 20 mL 萃取緩衝液預熱至 65 °C，加入等體積之預熱 phenol，混合均勻後備用。自 -80 °C 冰庫取出 4 g 綠豆種子，加入液態氮以研鉢研磨呈粉末狀後，加入上述之混合溶液 (比例 4 g bean/40 mL) 並研磨至均質。將樣品轉置入離心管中，於 65 °C 水浴槽中加熱 5 分鐘，間歇震盪維持均勻，接著，再加入 1/2 體積 Chloroform : isoamyl -alcohol (24:1)，震盪 1 分鐘，於 4 °C 以 15,000 rpm 離心 20 分鐘。取出上清液，加入等體積 Phenol : Chloroform: isoamylalcohol (25:24:1)，震盪 1 分鐘，於 4 °C 以 15,000 rpm 離心 10 分鐘。又取出上清液，並加入等體積 Chloroform : isoamylalcohol (24:1)，震盪 1 分鐘，於 4 °C 以 15,000 rpm

離心 5 分鐘以去除 phenol，此步驟重複二次，均取上清液。隨後，於上清液中加入等體積 4 M LiCl 後，置於 -70°C 冰庫 1-2 小時幫助 RNA 沈澱。接著，於 4°C 以 15,000 rpm 離心 30 分鐘後，沈澱物回溶於 10 mL 之 2 M LiCl，再以 15,000 rpm 離心 10 分鐘，所獲沈澱物遂加入 5 mL 之 0.1% Lauro-sarcosyl，於室溫下震盪溶解 RNA。然後準備 2 mL 之離心管數個，先加入 1 mL 之 100% 酒精及 40 μl 醋酸溶液 (3 M, pH 4.3)，再將溶解之 RNA 平均分裝至離心管(約 1 mL/管)中，輕微振盪後，置於 -70°C 冰庫過夜。隨後於 4°C 以 14,000 rpm 離心 15 分鐘，去除上清液，取 80% 酒精清洗沈澱物，再於 4°C 以 14,000 rpm 離心 15 分鐘後，去除上清液，以真空離心乾燥沈澱物。隨即將 RNA 沈澱物溶於 200 μL 之 0.1% Lauro-sarcosyl，再測 total RNA 濃度及 A_{260}/A_{280} 比值，或儲存於 -80°C 備用。每批 RNA 製備是取 20 ng total RNA 跑甲醛洋菜膠體電泳確認品質。

3.2 PolyA mRNA 之分離

原理: 利用商品化的 biotinylated oligo (dT) 在高鹽溶液下 (20x SSC) 會與 mRNA 3' 端的 poly(A) tail 以氫鍵鍵結，而 biotinylated oligo (dT) 會和 SA-PMPs (streptavidin- paramagnetic particles) 結合，再利用磁板吸住 SA-PMPs，以低鹽溶液 (0.5x 及 0.1x SSC) 洗去不吸附的物質，最後以

RNase-free 水將 polyA RNA 溶離出來。

【試劑】

1. PolyATtract[®] mRNA isolation systems (Promega, Cat. No. 5200)
2. Stock solutions:
 - a) 1.2 mL : 0.5x SSC: 30 μ L 20x SSC+1.170 mL H₂O (RNase Free)
 - b) 1.4 mL : 0.1x SSC: 7 μ L 20x SSC+1.393 mL H₂O
 - c) 20 SSC
3. 0.1% DEPC-treated 水

【步驟】

取 0.1-1 mg total RNA 加 DEPC 水至總體積為 500 μ L，在 65 °C 下反應 10 分鐘後，加入 3 μ L oligo(dT) probe 及 13 μ L 20x SSC，混合均勻（勿用 vortex），置於室溫直到完全冷卻約 10 分鐘。利用磁板抓取 SA-PMPs 原理以 0.5x SSC (300 μ L/次) 清洗 SA-PMPs 三次。將準備好的樣品取至 SA-PMPs 中混勻，室溫下反應 10 分鐘，過程中每 2-3 分鐘輕輕混勻一次。以磁板吸附 SA-PMPs 移除上清液（注意不要吸到 SA-PMP pellet）。以 0.1x SSC (300 μ L/次) 清洗 SA-PMPs 四次，移除上清液。最後以 100 μ L RNase Free H₂O 自 SA-PMPs 溶離出 poly A RNA，再次以 150 μ L RNase Free H₂O 溶離出 poly A mRNA，測吸光時需 A_{260}/A_{280} 比例 ≥ 2.0 。

第四節 DNA 片段的製備與純化

以得到的 PolyA mRNA 為模板，利用不同的引子對進行下列步驟：

4.1 反轉錄酶-聚合酶鏈鎖反應

(Reverse transcriptase-polymerase chain reaction, RT-PCR)

【試劑】

1. SuperScript™ One-Step RT-PCR Systems (Invitrogen, Cat. 10928 -042)
2. SBE 特異性引子 (10 μM)
3. 0.1% DEPC-treated 水

【步驟】

於 0.2 mL 離心管中依序加入 25 μL 2X Reaction Mix (0.4 mM dNTP、2.4 mM MgSO₄)、10 pg-1 μg polyA mRNA、10 μM 的 sense 及 antisense primer 各 1 μL 及 1 μL RT/Platinum Taq Mix，最後加水至 50 μL 混合均勻。進行 RT-PCR 的反應程式設定為：(1) cDNA synthesis and pre-denaturation：45 °C 30 min、94 °C 2 min。(2) PCR amplify -cation：94 °C 15 s (變性)、60 °C 30 s (煉合)、72 °C 1-3 min (延伸)，重複 35 次循環。(3) Final extension：72 °C 10 min。反應完成後，取 2-5 μL 產物跑電泳確認。

【備註】

1. 煉合溫度由引子的 T_m 值決定，一般約低於 primer T_m 的 5-10 °C。
2. 延伸時間為 1 min/1 Kb，由欲放大的 DNA 長度決定。

3. 當 target DNA 濃度較低時，增加 PCR amplification 的 cycles 數。

4.2 聚合酶鏈鎖反應 (polymerase chain reaction, PCR)

【試劑】

1. FastStart Taq DNA Polymerase (250 U ; Roche)
2. 10 X PCR buffer
3. dNTP: dATP、dCTP、dGTP 及 dTTP (10 mM ; ABgene)
4. SBE 特異性引子(10 μ M)

【步驟】

於 0.2 mL 離心管中依序加入 5 μ L 10x PCR buffer、10 mM dNTP 各 1 μ L、10 μ M 的 sense 及 antisense primer 各 3 μ L 及 0.4 μ L FastStart Taq DNA Polymerase (250 U)，混合均勻後再加入 Template DNA (>500ng/reaction)，最後加無菌水至總體積為 50 μ L。進行 PCR 反應，條件為：(1) 95 $^{\circ}$ C 3 min。(2) 95 $^{\circ}$ C 30 s、60 $^{\circ}$ C 30 s、72 $^{\circ}$ C 1-3 min，重複 35 次。(3) 72 $^{\circ}$ C 10 min。取 2-5 μ L 反應產物跑電泳確認。

【備註】

鎂離子最後濃度為 2 mM (一般建議為 1.5- 4 mM)

4.3 快速放大 cDNA 末端序列

(Rapid Amplification of cDNA Ends, RACE)

【試劑】

SmartTM RACE cDNA Amplification Kit (Clontech Cat.K1811-1)

TE buffer: 10 mM Tris-HCl、1 mM Na-EDTA

Tricine-EDTA buffer : 10 mM Tricine-KOH (pH8.5)、1 mM EDTA

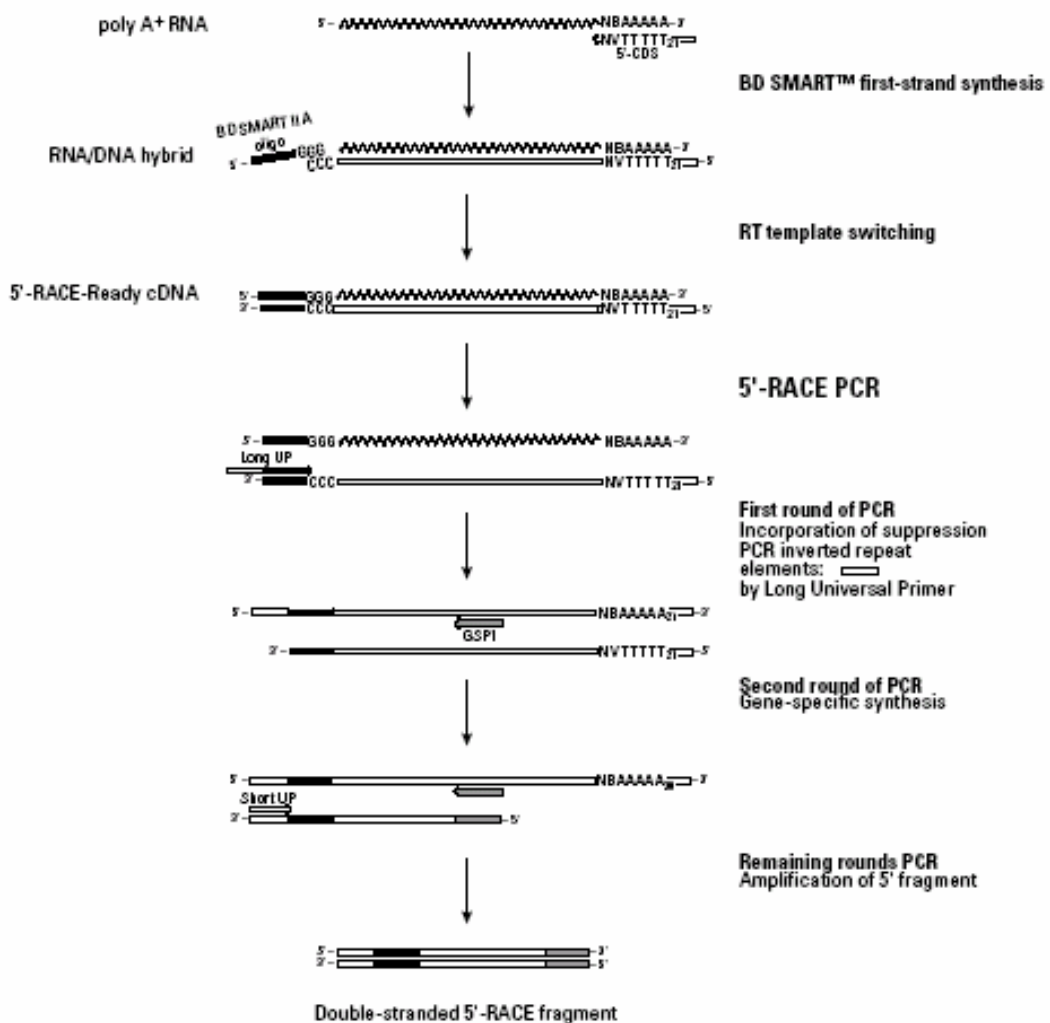
【步驟】5'RACE

1.合成第一股 cDNA

取 1-3 μL (50 ng-1 μg) polyA mRNA 加入 1 μL 5'CDS primer 及 1 μL Smart II A oligo，加滅菌水至總體積為 5 μL 。於 70 $^{\circ}\text{C}$ 加熱 2 分鐘後，置於冰浴 2 分鐘，再加入 Mix reaction (2 μL 5X first-strand buffer、1 μL 20 mM DTT、1 μL 10 mM dNTP Mix、1 μL PowerScript reverse transcriptase (200 U))，總體積為 10 μL 。離心混合均勻，於 42 $^{\circ}\text{C}$ 下反應 1.5 小時，以 100-250 μL Tricine-EDTA buffer (kit 附的) 稀釋，於 72 $^{\circ}\text{C}$ 反應 7 分鐘後，離心數秒即可。測量其吸光值後，保存於 -20 $^{\circ}\text{C}$ 。

2.進行 RACE PCR

取 2.5 μL 合成之第一股 cDNA，加入 5 μL 10X Universal Primer A Mix (UPM) 及 1 μL antisense (reverse) primer 後，混合均勻，再加入 Mix reaction (43.6 μL 滅菌水、5 μL 10X PCR buffer、1 μL dNTP Mix (10 mM)、0.4 μL Taq DNA Polymerase (250 U))，總體積為 50 μL 。進行 PCR 反應，條件為：94 $^{\circ}\text{C}$ 5 s、68 $^{\circ}\text{C}$ 10 s、72 $^{\circ}\text{C}$ 3 min，重複 25-35 次。取 2-5 μL 反應產物跑電泳確認。



圖四、5'-RACE 反應的機制

Fig. 4 Detailed mechanism of the 5'-RACE reactions.

3. Nested PCR 反應

當 primary RACE PCR 獲得的產物為 smear 現象時，利用 TE buffer 將產物稀釋 50-100 倍作為模板，由已知的序列片段設計趨向 5' 端的基因特異性引子(GSP)，配合套組之 NUP (Nested Universal Primer A)，再次進行 RACE PCR。取 2-5 μ L 反應產物跑電泳確認。

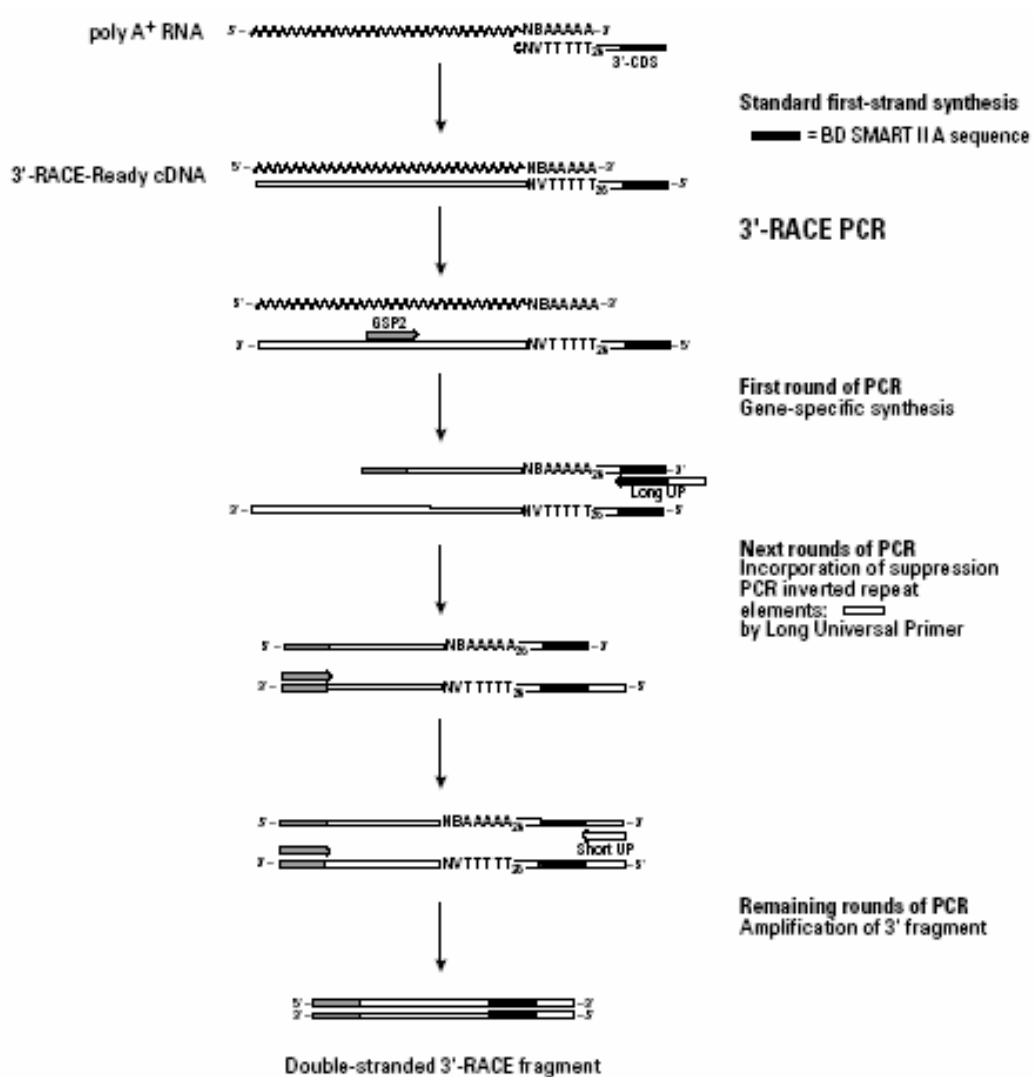
【步驟】 3'RACE：

1.合成第一股 cDNA

取 1-3 μL (50 ng-1 μg) polyA mRNA 加入 1 μL 3'CDS primerA 後，加滅菌水至總體積為 5 μL 。於 70 $^{\circ}\text{C}$ 加熱 2 分鐘後，置於冰浴 2 分鐘，再加入 Mix reaction (2 μL 5X first-strand buffer、1 μL 20 mM DTT、1 μL 10 mM dNTP Mix、1 μL PowerScript reverse transcriptase)，總體積為 10 μL 。離心混合均勻，42 $^{\circ}\text{C}$ 下反應 1.5 小時，以 100-250 μL Tricine-EDTA buffer 稀釋，於 72 $^{\circ}\text{C}$ 反應 7 分鐘後，離心數秒即可。測量其吸光值後，保存於 -20 $^{\circ}\text{C}$ 。

2.進行 RACE PCR

取 2.5 μL 合成之第一股 cDNA，加入 5 μL 10X Universal Primer A Mix (UPM) 及 1 μL sense (forward) primer 後，混合均勻，再加入 Mix reaction (34.5 μL 滅菌水、5 μL 10X PCR buffer、1 μL dNTP Mix (10 mM)、1 μL Taq DNA Polymerase)，總體積為 50 μL 。進行 PCR 反應，條件為：94 $^{\circ}\text{C}$ 5 s、68 $^{\circ}\text{C}$ 10 s、72 $^{\circ}\text{C}$ 3 min，重複 25-35 次。取 2-5 μL 跑電泳確認。



圖五、3'RACE 反應的機制

Fig. 5 Detailed mechanism of the 3'-RACE reactions.

3.Nested PCR 反應

當 primary RACE PCR 獲得的產物為 smear 現象時，利用 TE buffer 將產物稀釋 50-100 倍作為模板，由已知的序列片段設計趨向 3' 端的基因特異性引子(GSP)配合套組之 NUP (Nested Universal Primer A)，再次進行 RACE PCR。取 2-5 μ L 反應產物跑電泳確認。

4.4 DNA 片段之純化方法

1. Ultrafree-DA (Millipore Cat. 4260 Bedford, USA)
2. PCR-MTM Clean Up System (Viogene Cat. PF1001)
3. Gel Extraction (Viogene Cat. EG1001)

【方法】離心均為室溫操作

當得到的產物為單一條紋時，直接以 PCR-MTM Clean Up System 進行純化；若得到的產物有二條以上條紋時，先跑電泳，切下目標產物再以 Ultrafree-DA 或 Gel Extraction 進行純化。

1. 以 Modified TAE buffer (40 mM Tris-acetate、pH 8.0、0.1 mM Na- EDTA) 製膠。取適量樣品跑膠、EtBr 染色後，以 UV 確認，切下目標條紋放入 column，5,000 xg 離心 10 分鐘，收集 Vial 中液體，測其吸光值並取 2-5 μ L 跑膠確認大小後，儲存於 -20 $^{\circ}$ C。
2. 取 10-100 μ L PCR 產物和 0.5 mL Px buffer 混合均勻，將 spin column 置於 2 mL 微量離心管中，加入混合物 (每次勿超過 0.7 mL) 13,000 rpm 離心 1 分鐘，丟棄流出液，此時 DNA 片段已與 column 上之 membrane 結合。接著，加入 0.5 mL WF buffer，13,000 rpm 離心 1 分鐘後，丟棄流出液，再加入 0.7 mL WS buffer，13,000 rpm 離心 4 分鐘後，將 spin column 置於新的 1.5 mL 離心管，再加入 30-50 μ L 的滅菌水，放置 1-2

分鐘，13,000 rpm 離心 2 分鐘，收集含有 DNA 之溶離液，此步驟重複二次。測溶離液之吸光值及取 2-5 μL 跑膠確認大小後，儲存於 $-20\text{ }^{\circ}\text{C}$ 。

3. 將 RT-PCR、PCR 或 RACE 產物跑 1% 電泳分析確認後，切下目標片段置於 1.5 mL 微量離心管中，每管膠體不可超過 300 mg。加入 0.5 mL gel solubilization buffer (GEX)，於 $60\text{ }^{\circ}\text{C}$ 水浴中作用 10-20 分鐘，至膠體完全溶解，冷卻至室溫。將 spin column 置於 2 mL 微量離心管中，加入溶解的膠體（每次勿超過 0.7 mL），以 13,000 rpm 離心 1 分鐘，丟棄流出液，此時 DNA 片段已與 column 上之 membrane 結合。加入 0.5 mL WF buffer，13,000 rpm 離心 1 分鐘後丟棄流出液，再加入 0.7 mL WS buffer，13,000 rpm 離心 30 秒後丟棄流出液，再以 13,000 rpm 離心 3 分鐘以完全去除殘留的 ethanol。將 spin column 置於新的 1.5 mL 離心管，加入 30-50 μL 的滅菌水，放置 2 分鐘，13,000 rpm 離心 2 分鐘，收集含有 DNA 之溶離液，測其吸光值及跑膠確認大小後，儲存於 $-20\text{ }^{\circ}\text{C}$ 。

第五節 cDNA 之選殖與分析

5.1 T-A cloning

【試劑】

1. pGEM-T Easy Vector Systems (Promega Cat.A1380)
2. Competent cells: DH5 α 及 JM110
3. Gel extraction kit (Viogene Cat.GF1001)
4. LB broth Miller
5. Agar
6. N,N'-dimethyl-formamide (DMF)
7. IPTG (isopropyl- β -D-thiogalactopyranoside)
8. X-Gal (5-bromo-4-chloro-3-indolyl- β -D-galactoside)
9. Ampicillin solution
10. NaCl 、KCl 、MgCl₂ 、Glucose
11. 限制酶：EcoRI、NotI (10,000 U/mL 酵素活性單位)

【藥品配製】

1. LB/Amp 固態培養基：12.5 g LB broth、7.5 g Agar 溶解於 0.5 L 水中，滅菌，冷卻至 55 °C，加入 ampicillin 至終濃度為 100 μ g/mL，倒入 8.5 cm 直徑培養皿中，儲存於 4 °C。
2. LB 液態培養基：12.5 g LB broth 溶解於 0.5 L 水中，滅菌，儲存於 4 °C。於使用前加入 ampicillin 至終濃度為 100 μ g/mL。
3. LB/Amp/IPTG/X-Gal 固態培養基：在 LB/Amp 固態培養基上均勻加入 100 μ L IPTG (0.1M) 及 50 μ L X-Gal (50 mg/mL)，使用時配製。
4. 0.1 M IPTG：1.2 g IPTG 溶於 50 mL 無菌水並以 0.2 μ m filter 過濾，每 1 mL 分裝一管，儲存於 4 °C。

5. 50 mg/mL X-Gal (5-bromo-4-chloro-3-indolyl- β -D-galactoside) : 100 mg

X-Gal 溶於 2 mL DMF，以鋁箔紙包住避光，儲存於 -20°C 。

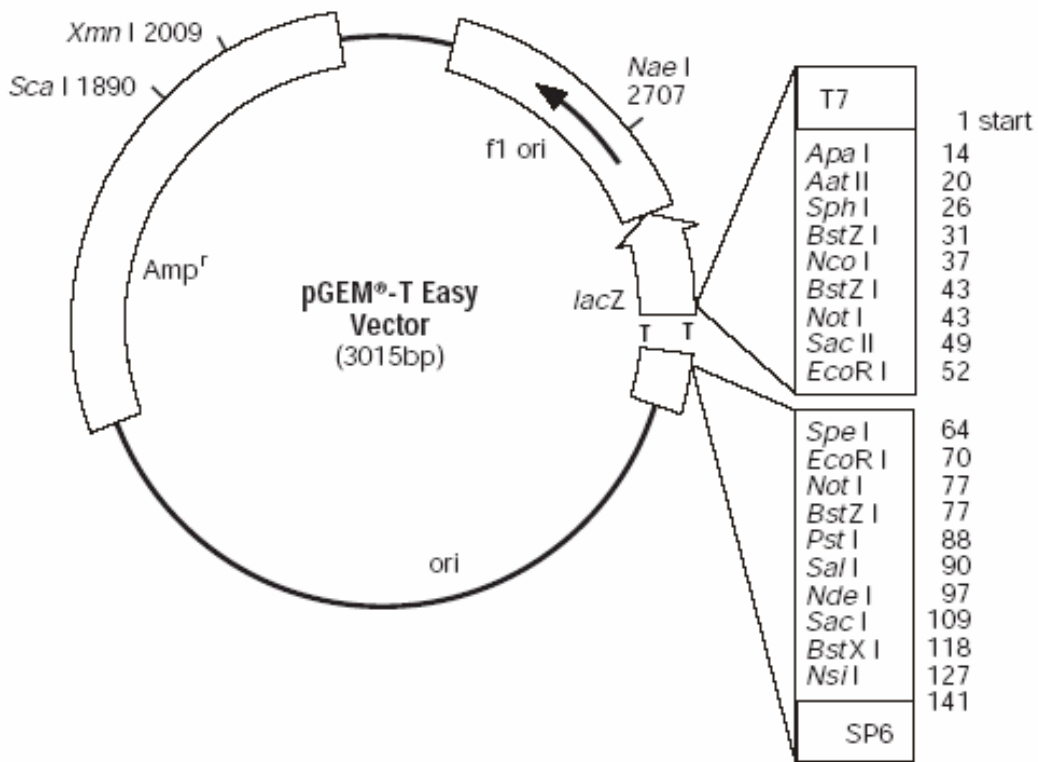
6. Ampicillin solution (100 mg/mL) : 1 g Ampicillin 溶於 10 mL 無菌水並

以 $0.2\ \mu\text{m}$ filter 過濾，每 1 mL 分裝一管，儲存於 -20°C 。

7. SOC 培養液 (液態培養基) (100 mL)

試 劑	需 要 量	終 濃 度
Bacto-tryptone	2 g	
Bacto-yeast extract	0.5 g	
1 M NaCl	1 mL	10 mM
1 M KCl	0.25 mL	10 mM
2 M Mg^{2+} stock	1 mL	20 mM
2 M Glucose	1 mL	20 mM

取 Bacto-tryptone、Bacto-yeast extract、NaCl、KCl 加水至 90 mL，滅菌後，冷卻至室溫，加入 Mg^{2+} stock 及 Glucose，調整 pH 值至 7.0，加水定量至 100 mL，以 $0.2\ \mu\text{m}$ filter 過濾，儲存於 4°C



圖六、pGEM-T Easy 載體結構圖 (Promega)

Fig. 6 pGEM-T Easy Vector circle map and sequence reference points.

【方法】

PCR 反應中，Taq DNA Polymerase 會在 DNA 的 3' 尾端加上幾個額外的腺核苷酸(A)。pGEM-T Easy Vector 的 MCS (multiple cloning site) 的尾端皆有一個 "T" (位於 *lacZ* 基因上)，可與插入的 PCR 產物進行接合反應，再用藍白菌落篩選法得到正反應株。

1. PCR 產物純化：將產物跑 1% 電泳分析確認後，切下目標片段，利用

- Gel extraction kit 將切下的膠片純化，測吸光定量及再次跑膠確認大小。
2. Ligation (接合)：將純化後的產物與 pGEM-T Easy Vector 以 3:1 的比例進行接合反應 (取 3 μ L 的樣品加 1 μ L vector (50 ng)，依序加入 5 μ L 2X Rapid ligation buffer 及 1 μ L T4 DNA ligase (3 U)，再加滅菌水至總體積為 10 μ L，室溫下作用 1 小時後，4 $^{\circ}$ C 隔夜反應。
 3. Transformation (轉形)：分別取 5 μ L ligation reactions 加入 50 μ L 之 Competent cells (DH5 α 及 JM110) 混合均勻後，置於冰浴中 20 分鐘後，42 $^{\circ}$ C 加熱 40-45 秒 (heat shock)，馬上冰浴 2 分鐘。接著加入 950 μ L SOC 培養液，於 37 $^{\circ}$ C、150 rpm 震盪培養 1.5 小時後，取出 1 mL 塗抹於 LB/Amp/IPTG/X-Gal 固態培養基，在 37 $^{\circ}$ C 培養箱培養隔夜。
 4. 藍白篩選：利用菌落的藍白呈色來判別 DNA 是否有接到 vector 上，若呈現白色菌落 (positive clone)，表示 DNA 已接到 vector 上。將 plate 上之 positive clone 接種到 2 mL 的 LB 液態培養基中，37 $^{\circ}$ C、150 rpm 震盪隔夜培養。
 5. 抽取質體 DNA：以小量抽取質體 DNA 套組 (Viogene) 得到的質體 DNA，再以限制酶 (EcoRI 或 NotI) 作用，將接入載體上之 DNA 切出，確認大小後，進一步作定序確認，以作株系保存。

6. 菌液冷凍保存：將剩餘菌液取 20 μ L 加 2 mL LB 液態培養基，於 37 $^{\circ}$ C、150 rpm 震盪隔夜培養。取 800 μ L 菌液加 200 μ L 80% glycerol 保存於 -80 $^{\circ}$ C。

5.2 抽質體 DNA

Plasmid DNA Extraction System (Viogene Cat. EG1001)

【方法】

取 1.5 mL 菌液離心 2 分鐘，除去上清液，加 250 μ L MX1 buffer 將 pellet 完全溶解後，加 250 μ L MX2 buffer 混勻，室溫下反應 1-5 分鐘，加入 350 μ L MX3 buffer 混勻後，13,000 rpm 離心 5-10 分鐘。將上清液取至 column 中，13,000 rpm 離心 60 秒丟棄流出液，加 0.5 mL WF buffer，13,000 rpm 離心 60 秒丟棄流出液，再加 0.7 mL WS buffer，13,000 rpm 離心 60 秒丟棄流出液，空轉 3 分鐘。將 column 取至一新的離心管中，加 100 μ L 的滅菌水，靜置 1-2 分鐘後，13,000 rpm 離心 2 分鐘。收集含有質體 DNA 之溶離液，測其吸光值，並以限制酶切割進行 DNA 電泳分析，確認無誤後，保存於 -20 $^{\circ}$ C。

第六節 核酸電泳分析法

6.1 DNA 洋菜膠體電泳分析法

【藥品配製】-均使用 DEPC-H₂O 滅菌水 調配

1. 50X TAE (100 mL)

試 劑	需 要 量	終 濃 度
Tris-base	24.2 g	40 mM
Glacial acetic acid	5.71 mL	20 mM
0.5 M EDTA pH 8.0	10 mL	1 mM
加滅菌水定量至 100 mL。 電泳緩衝液-稀釋為 1X TAE 使用		

2. 6 X Gel loading buffer (10 mL)

試 劑	需 要 量	終 濃 度
50 % Glycerol	6 mL	30 %
2 % Bromophenol blue	1 mL	0.2 %
2 % Xylene cyanol FF	1 mL	0.2 %
加水定量至 10 mL，滅菌 30 分鐘，每 1 mL 分裝，儲存於 -20 °C		

3. 鑄膠(1%)

試 劑	需 要 量	終 濃 度
Agarose	0.3 g	1%
1X TAE buffer	30 mL	
取 agarose 加入 buffer，微波加熱溶解後，降溫至 60 °C，混合均勻，無氣泡下倒入鑄膠器，再插入適當樣品槽梳 (comb)，待其凝固(約 30 分鐘) 後即可		

4. EtBr 染劑 (10 mg/mL)：取 10 mg EtBr 加 1 mL 滅菌水溶解，管壁以鋁箔紙包覆 (避光)，儲存於室溫。

5. DNA 分子量標準品 (Gen-100 DNA ladder) : 100 bp - 3 kb 共 13 個 DNA 片段，濃度為 0.12 $\mu\text{g}/\mu\text{L}$ 。

【方法】

將製備好的膠體置入電泳槽中，加入約 300 mL 1X TAE 至蓋住膠體，將 DNA 樣品加入 1/10 體積的 loading dye，混合均勻後，注入樣品槽內，以 75 伏特進行電泳，待染劑泳動到達膠體 2/3 處即可停止，以 EtBr 進行染色，於長波 UV 燈下觀察 DNA 色帶。

6.2 RNA 甲醛洋菜膠體電泳分析法

原理: RNA 經甲醛變性處理，打開二級結構，再進行電泳，RNA 依分子大小分開，可分析出 RNA 之完整性。甲醛具毒性，需小心操作。

【藥品配製】-均以 DEPC- H_2O 滅菌水 調配

1. 10X MOPS (1 L)

試 劑	需 要 量	終 濃 度
MOPS	41.2 g	0.2 M
Sodium acetate	6.65 g	80 mM
0.5 M EDTA pH8.0	20 mL	10 mM
加水至 800 mL，以 6 N NaOH 調整 pH 至 7.0，定量至 1000 mL，滅菌後溶液呈黃色。電泳緩衝液：稀釋為 1X MOPS 使用。		

2. 10X Gel loading buffer (10 mL)

試 劑	需 要 量	終 濃 度
Glycerol	5 mL	50 %
0.5 M EDTA pH8.0	20 μ L	1mM
2 % Bromophenol blue	2 mL	0.4 %
2 % Xylene cyanol FF	2 mL	0.4%
加水定量至 10 mL，滅菌 30 分鐘，每 1 mL 分裝，儲存於-20 °C		

3. 鑄膠 (1.2% Formaldehyde Gel)

試 劑	需 要 量	終 濃 度
Agarose	0.36 g	1.2%
DEPC-H ₂ O	25.5 mL	
10X MOPS	3 mL	1 X
37% formaldehyde	1.5 mL	2.2 M
取 agarose 加水，微波加熱溶解後，降溫至 60 °C，加入 MOPS 及 formaldehyde，混合均勻，倒入鑄膠器，再插入適當樣品槽梳，待其凝固(約 30 分鐘)後即可		

4. 樣品前處理

試 劑	需 要 量	終 濃 度
RNA 樣品	x μ L (20 μ g)	
DEPC-H ₂ O	(4.5-x) μ L	
10X MOPS	2 μ L	1 X
37% formaldehyde	3.5 μ L	0.22 M
Formamide	10 μ L	50%
混合均勻於 60 °C 水浴 10 分鐘後，立即冰浴 3 分鐘 (避免回復二級結構)，再加入 2 μ L 10X gel loading buffer 及 1 μ L 之 1 μ g/ μ L EtBr。		

【注意事項】

電泳槽每次使用前需先浸泡 3% H₂O₂ 溶液 10 分鐘後，再以 DEPC- H₂O

清洗。

【方法】

將製備好的膠體置入電泳槽中，加入約 300 mL 1X MOPS 至蓋住膠體，將 RNA 樣品注入樣品槽內，以 75 伏特進行電泳，待染劑泳動到達膠體 2/3 處即可停止，以 DEPC-H₂O 清洗去除多餘的甲醛，15 分鐘洗二次，於長波 UV 燈下觀察 RNA 色帶。

第七節 DNA 序列分析

7.1 定序部份

送至中興大學生物科技發展中心核酸定序實驗室，使用 ABI PRISM 3100 genetic analyzer and ABI PRISM 377-XL 機器，以 Dideoxy-Mediated Termination 原理反應。

7.2 DNA 序列比對分析

7.2.1 NCBI (National Center for Biotechnology Information) Database

網站 www.ncbi.nlm.nih.gov

Blast-將未知的序列進入資料庫比對，搜尋任何可能的已知相似序列

Search-尋找序列的相關資訊，例如 accession number、物種...等等

7.2.2 國家衛生研究院巨分子序列分析 GCG

(Genetics Computer Group) Seqweb Database

網站 gcg.nhri.org.tw:8003/gcg-bin/seqweb.cgi

Pretty-多條序列並排比對，預測出相同 (consensus) 序列

FrameAlign-密碼子與所編碼之胺基酸序列對照

MEME (MotifSearch)-尋找序列之高保留性區域

GrowTree-分析物種間的演化關係

Map-尋找限制酶切位

Primer Selection-尋找合適的引子

Translate-將核酸序列轉譯為蛋白質序列

Reverse-可獲得反向之互補序列

第三章 結果與討論

第一節 RNA 的抽取與品質分析

綠豆 total RNA 的製備方面，最初以 Clontech NucleoSpin Plant Kit 利用 column centrifugation 的方式萃取時，可能由於台南五號綠豆種子的澱粉含量高，成熟綠豆的澱粉佔乾重 46.3% (Ko, et al., 2004)，以及不明原因導致 column 容易被沉澱物塞住而無法順利的分離出 RNA。之後，參考 Shirzadegan et al. (1991) 報告利用傳統之 Hot phenol 法抽取 total RNA，才得到足夠的含量作後續實驗，收率為 0.4 mg RNA/g bean，並經 1.2% 甲醛洋菜膠電泳分析，觀察到 28S 及 18S rRNA 沒有降解情形後 (圖八)，確認得到不錯的品質，再使用 poly dT column 進行 Poly(A) mRNA 的純化，得到的 mRNA 之 A_{260}/A_{280} 比值為 2.0 (表五)，收率為 0.006 mg mRNA/ mg total RNA，以此作為 cDNA 選殖的模板。

第二節 綠豆澱粉分支酶 cDNA 之選殖

對於綠豆澱粉分支酶 cDNA 序列之選殖共分為三階段，首先利用已知 SBE 保守區間設計的引子以 RT-PCR 方法獲得一段 SBE cDNA 序列，

再根據該段 cDNA 序列分別設計靠近 5' 及 3' 端之專一性引子，進行 5' RACE 和 3' RACE 延伸兩端序列，企圖獲得全長之 cDNA 序列，結果成功的獲得綠豆 SBE 異構型 II (*VrsbeII*) 與異構型 I (*VrsbeI*) 之全長 cDNA，分述如下。

2.1 選殖 *VrsbeII* cDNA

2.1.1 RT-PCR

以純化過之綠豆 polyA mRNA 為模板，利用 F1 與 R1 引子 (表六) 進行 RT-PCR 反應，經取產物 1/25 (2 μ L) 作電泳分析與染色，發現得到一段主要約 0.8 kb DNA 條紋，但是訊號很弱，不足夠直接純化後作定序，因此將產物以 PCR-MTM Clean Up System 作純化，當作模板，再次利用 F1 與 R1 引子，進行 PCR 放大；經取產物 1/25 (2 μ L) 作電泳分析與染色，結果一共獲得三個大小不同的片段，分別約為 0.8 kb、0.35 kb 與 0.1 kb，其中因為 0.8 kb 大小的片段 (圖九) 與最初 RT-PCR 得到的主要產物大小相同 (序列代號 *VrsbeII*-0.8)，因此切出並純化送定序，經過與資料庫比對後，發現與 *sbeII* 最為相似，而且獲得為中間的部分；隨即根據 *VrsbeII*-0.8 的 3' 及 5' 端序列，設計出 3' RACE 和 5' RACE 所需的引子，分別為 F2 及 R5, R6。

此外，經過第一階段獲得的這段 *VrsbeII*-0.8 cDNA，也以 TA cloning

方式放入 pGEM-T Easy vector 中，並轉形到 JM110 及 DH5 α 宿主。接著，利用小量菌液培養、抽取質體 DNA，並以 EcoRI 將接入載體上之 DNA 切出，跑膠確認其大小 (圖十三)，且進一步切出、純化、送定序確認後，便成為永久保存的部分 cDNA 株系 (partial cDNA clone；命名為 VrsbeIIp- 0.8)。

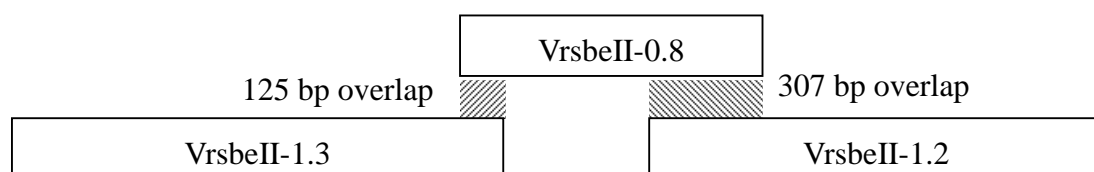
2.1.2 3' RACE

以純化的 polyA mRNA 為模板，利用 3'-CDS primer A 引子合成第一股 cDNA，並在 3'端的部分接上一段 DNA adapter 進行第二階段的 3' RACE 反應。結果雖然使用專一性 DNA adapter 之引子 (套組專用引子 UPM，為反股) 及 F1 進行 RACE PCR 反應，經取產物 1/25 (2 μ L) 作電泳分析與染色，並未得到單一產物 (smear)；因此，接續以 TE buffer 稀釋 50 倍後之 3'RACE 產物為模板，利用 F2 及 NUP (套組專用引子，當作反股) 為引子進行 nested PCR，結果得到約 1.2 kb 及 0.8 kb 大小的兩個片段 (圖十)，分別自膠體切出並純化後，經定序比對，發現此 0.8 kb 片段是屬於 1.2 kb 片段之內部序列，同時此 1.2 kb 片段 (序列代號 VrsbeII-1.2) 與前述之 VrsbeII- 0.8 有 307 bp 的重複區域 (overlap region)，因此，得以將該 1.2 kb 此片段序列與 VrsbeII-0.8 組合並連接成靠 3'端的一段約 1.7 kb 之 VrsbeII cDNA。

2.1.3 5' RACE

以純化的 polyA mRNA 為模板，5'-CDS primer 及 SMART II A oligonucleotide 為引子合成第一股 cDNA，並在 5'端的部分接上一段 DNA adapter。使用專一性 DNA adapter 之引子 (套組專用引子 UPM，為正股) 分別與 R5, R6 進行 RACE PCR 反應，結果不是沒有產物，就是沒有單一性產物 (smear)，推測可能原因為 5'RACE 的產物過大 (預期約 1.5 kb 左右)，Chenchik et al. (1996) 的報告中指出 RACE 的產物若大於 1-1.5 kb 成功率就會偏低。

幸而，3'RACE 獲得之 1.2 kb 序列 (VrsbeII-1.2)與 VrsbeII-0.8 組合成的 1.7 kb，經比對發現與菜豆 (kidney bean; *Phaseolus vulgaris*) 的相似度最高，因此參考菜豆澱粉分支酶 *pvsbeII* (Hamada et al., 2001) 之 5'端起始序列，設計 5'端引子- F6 與 R5 (表六) 進行 RT-PCR，終於成功獲得包含轉錄起始位置之 1.3 kb 左右的 5'端片段 (圖十一，序列代號 VrsbeII-1.3)，經定序比對後，確定為 *sbeII*，且與 VrsbeII-0.8 有 125 bp 的重複區域，故將此片段與 VrsbeII-0.8 左端序列連接，並和 VrsbeII-1.2 組合成假想之綠豆 SBEII 的 cDNA 全長 (*VrsbeII*)，如以下示意圖。



此外，當再度由 *VrsbeII*-1.3 設計更靠近 5'端的引子，R18 及 R19，進行 RACE PCR 反應（預期大小僅約 200-250 bp），卻仍無法得到轉譯起始位置的上游片段。

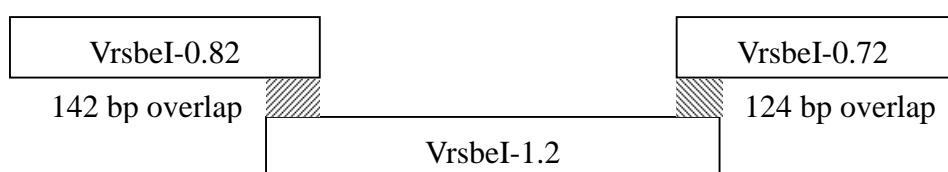
2.2 選殖 *VrsbeI* cDNA

2.2.1 RT-PCR

由於前述所獲得之 *VrsbeII* 序列比對結果與菜豆及豌豆的相似度高，因此將菜豆 *pvsbeI* (Hamada et al., 2001) 及豌豆 *pea sbeII* (Burton et al., 1995) cDNA 序列，並排比對找出高保留性的區域，設計合適的引子 F9, F10, R13 及 R17 引子（表七），試圖進一步選殖出另一個 SBE 異構型之 cDNA。

以純化過之 polyA mRNA 為模板，利用 F9 與 R13 和 F10 與 R17 二組引子對（表七）進行 RT-PCR 反應，分別獲得 0.82 kb（圖十六，序列代號 *VrsbeI* -0.82）及 0.72 kb（圖十七，序列代號 *VrsbeI* -0.72）大小的片段，經定序比對後，發現 *VrsbeI* -0.82 屬於前段，且包含轉錄起始位置，而 *VrsbeI* -0.72 屬於後段序列；因此，分別根據 *VrsbeI* -0.82 設計出引子 F11，根據 *VrsbeI* -0.72 設計出引子 R16。接著，以 F11 及 R16 為引子進行 RT-PCR 反應，成功獲得 1.2 kb 大小的片段（圖十八，序列代號 *VrsbeI* -1.2），經定序比對，發現 *VrsbeI* -0.82 與 *VrsbeI* -1.2 片段間有 142 bp

的重複，而 *VrsbeI*-1.2 及 *VrsbeI*-0.72 的片段間有 124 bp 的重複，故將此三片段連接組合成假想之綠豆 *SBEI* 的 cDNA 全長，如以下示意圖。



2.2.2 5'RACE

選殖過程中，很幸運的已由 RT-PCR 獲得轉譯起始位置的序列 (*VrsbeI* -0.82)，因此由此段序列設計 5'端的引子，R14 及 R15 (表七)，與專一性 DNA adapter 之引子 (套組專用引子 UPM，為正股)，進行 RACE PCR 反應 (預期大小僅約 100-150 bp)，但仍無法得到轉譯起始位置的上游片段。

因此，經由與已知的 *SBEI* 及 *SBEII* cDNA 比對，本論文所獲之 *VrsbeII* 的 5'端上游部分似乎尚缺約 200 bp 序列，而 *VrsbeI* 似乎尚缺約 60 bp。推測 5'端部分的序列可能為 GC-rich 區域，因此在 cDNA 選殖過程中，不易得到 5'端完整序列。雖曾於 PCR 反應物中添加 GC-rich solution (5% glycerol or DMSO; Wang and Young, 2003)，以增加 PCR yield 及 specificity，仍無法獲得產物。

2.3 *VrsbI* 與 *VrsbII* 全長 cDNA 序列確認

為了確認上述反應獲得 cDNA 片段之連接全長序列為實際之 cDNA 產物，並且確認 *VrsbeII* 與 *VrsbeI* 是分別來自於不同轉錄出的 mRNA transcript 族群，因此針對所得到的 *VrsbeII* 與 *VrsbeI* cDNA 全長序列之 5' 及 3' 端各設計一對引子 F6、R9 與 F9、R21 (表六、七)，對純化的 polyA mRNA 進行 RT-PCR。結果顯示分別獲得 2.5 kb (圖十二) 及 2.2 kb (圖十九) 大小的產物，經自膠體切下、純化、定序比對後，證實上述所獲得之 *VrsbeII* 與 *VrsbeI* cDNA 片段，是分別屬於不同 mRNA transcript 族群，兩條 cDNA 將可以進一步以 TA cloning 方式殖入載體中進行株系保存。

第三節 綠豆 SBE 全長 cDNA 序列之特性分析

3.1 cDNA 及胺基酸序列之特性

3.1.1 *VrsbeII*

本研究成功獲得 *VrsbeII* 酵素編碼區全長 2571 bp cDNA，並已於 Genebank 資料庫註冊 (accession no. AY622199)，其包含起始碼 (ATG) 到終止密碼子 (TGA) 的完整 ORF，演繹出 856 個胺基酸 (VrSBEII；圖十五)，預估約 97 kDa 分子大小蛋白質，pI 為 5.47。經以 Blast 程式作序列分析比對，發現 cDNA 序列部分發現和菜豆的 *pvsbe2* (AB029548)

全長序列的重疊部分有 94% 的相同性，和豌豆的 *sbeI* (X80009) 有 89 % 的相同性。而胺基酸序列部分，發現和菜豆 PvSBE2 蛋白質最為相似，有高達 91% 的同質性 (表八)，主要差異在於綠豆 VrSBEII 較 PvSBE2 短少 15 個胺基酸，ASSPVDVDIPAKKTS (125-139)，且綠豆亦較其它物種短少 15-18 個胺基酸 (圖二十二)，由於此段序列為菜豆 PvSBE2 N-terminal domain 的一部份，也因此綠豆 VrSBEII 的 N-terminal domain 較菜豆短，推測可能會影響 N-terminal domain 的功能，譬如影響 SBE 與其他酵素分子間的交互作用或影響 SBE 與基質或與澱粉顆粒間之分子接觸。然而，為何綠豆 VrSBEII N-terminal 較短？是否因為此段序列賦予其他物種 SBEII 特定功能，或因此使綠豆 SBEII 功能有別於其他物種？要明瞭這短少之 15-18 個胺基酸的確切功能，有待進一步的研究探討。

3.1.2 *VrsbeI*

VrsbeI cDNA 酵素編碼區全長為 2208 bp，並已在 Genebank 資料庫註冊 (accession no. AY667492)，其也含蓋起始 (ATG) 到終止密碼子 (TAA) 的完整 ORF，演繹出 735 個胺基酸 (VrSBEI；圖二十一)，預估分子大小約為 84 kDa，pI 為 6.35。經同上比對，其序列組成同樣與菜豆及豌豆相似度最高，cDNA 序列部分發現和菜豆的 *pvsbeI* (AB029549) 全長序列的重疊部分有 95% 的相同性，和豌豆的 *sbeI* (X80009) 有 88%

的相同性。而胺基酸序列部分，發現和菜豆 PvSBE1 蛋白質最為相似，有高達 95% 的同質性 (表八)，差異僅在於綠豆 VrSBEI 較 PvSBE1 (847 a.a.) 在 C 端短少 112 個胺基酸 (圖二十二)。

當單獨比較 *VrsbeII* 與 *VrsbeI* 序列，發現兩異構型之 cDNA 相同性只有 59%，胺基酸同質性也只有 56% (表八)，因此推測，*VrsbeII* 與 *VrsbeI* 是屬於不同的 mRNA 族群所表現。相對於菜豆之 *pvsbe2*、*pvsbe1* cDNA，兩者相同性有 60%，胺基酸同質性有 57%，因此，可預知這差異性或許也會影響綠豆 SBE 異構型的催化特性如 K_m 、轉移鏈的長度、對受質的專一性等。

3.2 VrSBEII 與 VrSBEI 之酵素活性區域結構

經由與各種不同植物 SBE 胺基酸序列的並排比對，顯示綠豆之 SBEI 與 II 也具有符合 α -amylase family 的特徵，包括 $(\beta/\alpha)_8$ -barrel domain 及四個活化部位的保留區域 (Jespersen et al., 1993 ; Svensson, 1994)。此相關位置在綠豆 VrSBEII 分別為 HSH^S/_AS (410-414)、GFRFDGVT (474-481)、^G/_AEDVS (532-536) 及 AESHDQ (597-602)。其中值得注意的是，在 ^G/_AEDVS 的區域中，"G" 主要出現在 SBEII 異構型，而 A 則出現在 SBEI 異構型 (圖二十二) 與 Martin and Smith (1995) 報告相符合 (圖三)。

3.3 比對分析綠豆與各種植物 SBE 胺基酸序列間的差異

經利用 Pretty 程式功能作序列並排比對，發現兩種 SBE 異構型間有下列幾點差異 (圖二十二)：

3.3.1 N 端序列

前人研究指出 SBEII 的主要特徵為 N 端序列較 SBEI 長且各物種之 SBEII N 端部分序列的相似性很低 (Burton et al., 1995)；前人也發現 SBEII-specific N-terminal 序列含有許多 Ser 且末端含有二或三個連續的 Pro 殘基 (即 PP 或 PPP) (Burton et al., 1995；Sun et al., 1998)，而綠豆 VrSBEII 之序列則為 PRP。Burton et al. (1995) 及 Martin and Smith (1995) 報告中指出，這種 N-terminal domain 可能是一個 "flex-ible arm"，扮演著影響 SBE 與其他酵素間或 SBE 與澱粉顆粒間接觸的角色，此特性也可能適用於綠豆的情況。

3.3.2 連接 β -strand 與 α -helice 間的 loop

綠豆 VrSBEII 之序列，在 β -strand 8 與 α -helice 8 間的 loop，也發現有一段由 11 個胺基酸組成的序列 eQXLPnGsviP (675-685)，大寫表示完全相同、小寫表示並非 100%相同，而 X 則表示可為任何胺基酸，前人研究指出這 loop 特性存在所有的 SBEII，然而 SBEI 則缺乏 (Burton et al., 1995)，當綠豆 SBEII 與 I 比較時，發現亦有此特性。

綠豆 VrSBEI 之序列較 VrSBEII 多出 3 個額外的胺基酸 VGQ (367-369)，與 Burton et al., 1995 報告結果相同，且經由與各種植物 SBE 比對 (圖二十二)，結果顯示這 3 個額外的胺基酸僅存在於 SBEI；此外，尚有一段由 8 個胺基酸組成的序列 PEGiPGIP (738-745)，以菜豆 PvSBEI 序列表示，也僅出現在 SBEI，大寫表示完全相同、小寫表示並非 100% 相同，然而因綠豆 VrSBEI 序列較短 (735 a.a.)，而大部分物種 SBEI 序列範圍 820-847 a.a.，所以綠豆 VrSBEI 亦缺乏此段序列。

3.4 預測訊息胜肽 (signal peptide) 之切位

根據神經網路系統工具，TargetP (www.cbs.dtu.dk/services/TargetP/) (Emanuelsson et al., 2000; Nielsen, et al., 1997) 分析綠豆 VrSBEII 及 VrSBEI 胺基酸序列，結果預測出分別在 VrSBEII 之 Lys 47-Ser 48 和 VrSBEI 之 Ser 12-Val 13 的位置，可能為訊息胜肽 (signal peptide) 之切位；並且發現 VrSBEII 之切位與菜豆及豌豆很接近 (Burton et al., 1995; Hamada et al., 2001)，然而，VrSBEI 則明顯不同 (表四)。此預測結果，仍需進一步將具有酵素活性的 VrSBEI 與 VrSBEII 從綠豆純化出來後，再經由蛋白質的 N 端定序加以證實。

表四、綠豆與菜豆及豌豆之 signal peptide 切位的比較

	Predicted Mature protein kDa / a.a.		Transit peptide a.a.		Cleavage site	
	Family A	Family B	Family A	Family B	Family A	Family B
Mungbean	92.3/809	83/722	47	13	Lys 47-Ser 48	Ser 12-Val 13
Kidney bean	82/823	88.5/777	47	70	Lys 47-Ser 48	Ala 69-Val 70
Pea	99.8/875	87.7/769	47	>57	Tyr 47-Ala 48	KGVSer-Val

3.5 分析綠豆與各物種 SBE 之演化關係

根據 Kimura protein-distance algorithm 方法 (Kimura, 1983) 分析各物種 SBE 異構型之胺基酸序列間的關係，建立系統發生學 (phylo-genetic) 上的演化位置。此方法因為忽略序列並排當中的 gap 位置，所以得到的相似度較高。分析結果發現綠豆 SBE 和菜豆的相似度最高，分別為 VrSBEII (96.14 %)、VrSBEI (96.76 %) (表九)。以樹狀圖來表示分子演化的相關性，發現綠豆與同屬於豆科的菜豆及豌豆的演化關係最相近，同時證實 VrSBEII 與菜豆 PvSBEII 及豌豆 SBEI 同屬於 Family A 族群，而 VrSBEI 則屬於 Family B 族群 (圖二十三)。因此，除了各物種之間的演化關係分析與 Burton et al. (1995) 報告中提出的分類結果相符合之外，本研究利用 VrSBEI 與 VrSBEII 的胺基酸序列定位出綠豆的演化位置，具有重要意義。

第四章 結論

4.1 論文總結

本論文利用生物資訊的檢索以及 RT-PCR、PCR 及 RACE 等分子生物學技術，成功的選殖出兩種綠豆澱粉分支酶異構型之 cDNA 的全長 ORF (open reading frame) 序列。選殖過程是先得到 cDNA 的片段，經由 GCG SeqWeb 比對序列之間的重複區域並組合，繼而成功的量化出兩段推定性 (putative) SBE 之 cDNA 序列，並且確定內部之序列，分別命名為 *VrsbeII* 和 *VrsbeI*。

此兩段 cDNA 序列與所編碼之胺基酸特性為：

- 包含完整的 ORF，長度為 2571 bp 和 2208 bp
- 編碼出 856 個及 735 個胺基酸
- 預估分子量為 97 kDa 及 84 kDa
- pI 值為 5.47 及 6.35
- 具有 α -amylase family 的保留區間，分別為 HSH^S/_AS、GFRFDG VT、^G/_AEDVS 和 AESHDQ，及特有的催化區(β/α)₈-barrel domain
- 已於 GenBank 資料庫註冊，accession No. 分別為 AY622199 及 AY667492

	<i>VrsbeII</i>	<i>VrsbeI</i>
編碼區之全長 cDNA	2571 bp	2208 bp
胺基酸長度	856 a.a.	735 a.a.
預估分子大小	97 kDa	84 kDa
pI 值	5.47	6.35
GenBank 註冊 accession No.	AY622199	AY667492

4.2 未來研究方向

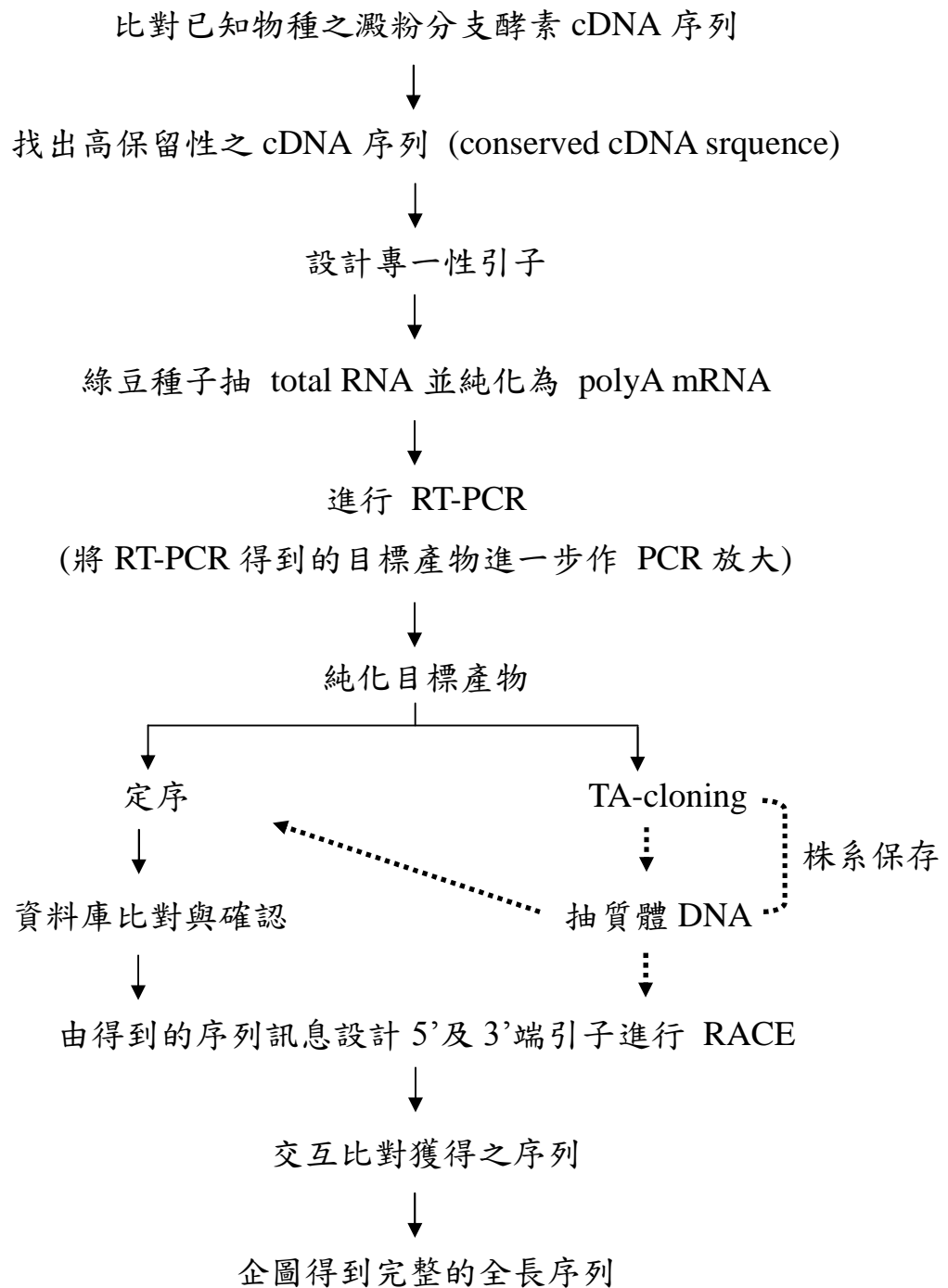
未來可以將所獲得的 *VrsbeII* 和 *VrsbeI* cDNA subclone 到表現載體，如 pET-23d (+) (Hamada et al., 2001; Libessart and Preiss, 1998)、pET-30a (Genschel et al., 2002)、pET-29 (Jobling et al., 1999) 等，再 transform 到 *E. coli* 宿主，如 BL21、BE-deficient strain KV832 (Kiel, et al., 1987) 或 yeast，如 *Saccharomyces cerevisiae*、*Pichia pastoris* (Parent, 1996; Romanos, 1995; Cregg, 1993) 中表現出 SBE 蛋白質，分析表現的 SBE 活性，以確認所選殖到的序列可表現出酵素活性，並確實為功能性蛋白質。

Tsay et al. (1983) 報告，藉由分析綠豆不同發育時期的澱粉合成酵素，包括 sucrose synthetase, AGPase 及 starch synthase 活性，證實不同階段酵素的表現量確實不同，因而需進一步分析不同階段 SBE 異構型活性的表現量是否不同。分別由純化出或宿主表現出的 SBE 蛋白質製備 SBE 抗體，以 Western blot 偵測在不同生長階段 SBE 異構型蛋白質的表現。同時，也可將 clone 的 SBE 異構型 cDNA 分別設計出

gene-specific probe，利用 Northern blot 分別對不同生長階段 total RNA 做 SBE 基因表現的定量偵測，因而可以分別得到 SBE 異構型基因在轉譯與轉錄表現上的答案，藉以探討他們在澱粉合成生理上扮演的角色。

應用方面，可參考 SBE 活性在在宿主表現的結果，進一步利用基因工程技術，藉由 SBE cDNA 序列之部分修飾，獲得特殊功能的 SBE 活性，如耐高溫、以長鏈或短鏈澱粉為基質、增加對不同基質的廣效性等，或利用 SBE 在細菌、酵母菌等的基因表現載體表現出特殊結構的澱粉或其他醣類產物；或許，也可以利用基因轉殖植物生物技術，將 SBE cDNA 放入植物表現，從事在植物體內澱粉生成時即改變它所具有的特性，來產生新品種作物，或用來生產高價值的特殊澱粉。





圖七、選殖綠豆 SBE cDNA 的流程圖

Fig. 7 The procedure of cloning SBE cDNA in mungbean.

結果圖與表

表五、綠豆 total RNA 與 poly(A) RNA 之萃取純化結果

Table 5. Isolation of total RNA and poly(A) RNA from seeds of mungbean.

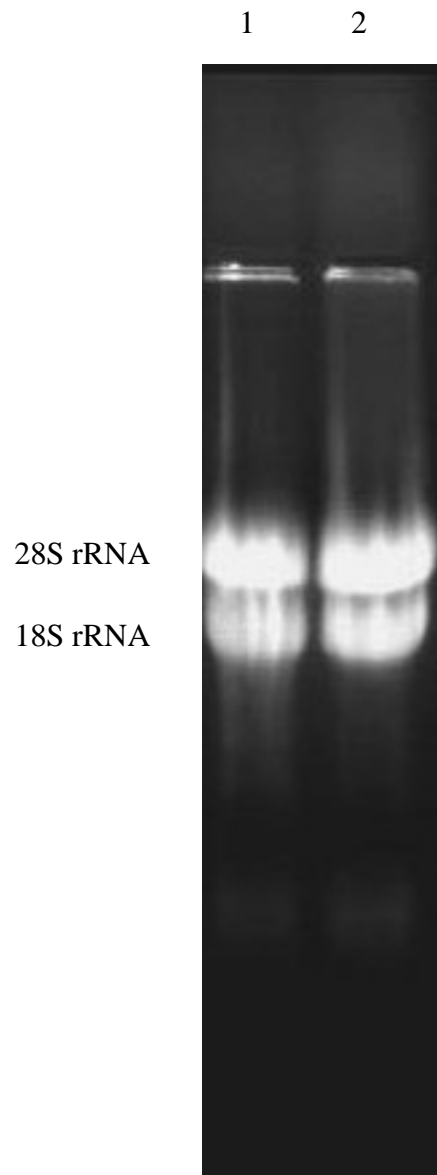
Method	RNA (mg)	A ₂₆₀ /A ₂₈₀	Yield (%)
Hot phenol ^a	1.63	1.8	4.705 ^c
PolyATtract [®] mRNA isolation systems ^b	0.006	2	0.6 ^d

a. The data was obtained from 4 g of seeds of mungbean

b. The data was obtained from 1 mg of total RNA of mungbean

c. The data was obtained from total RNA/mungbean

d. The data was obtained from mRNA/1mg total RNA



圖八、綠豆 total RNA 之甲醛洋菜膠體電泳
1 和 2 為不同時間抽取的 total RNA

Fig. 8 Formaldehyde gel electrophoresis of total RNA isolated from seed of mungbean.

Lane1 : 20 μ g of total RNA

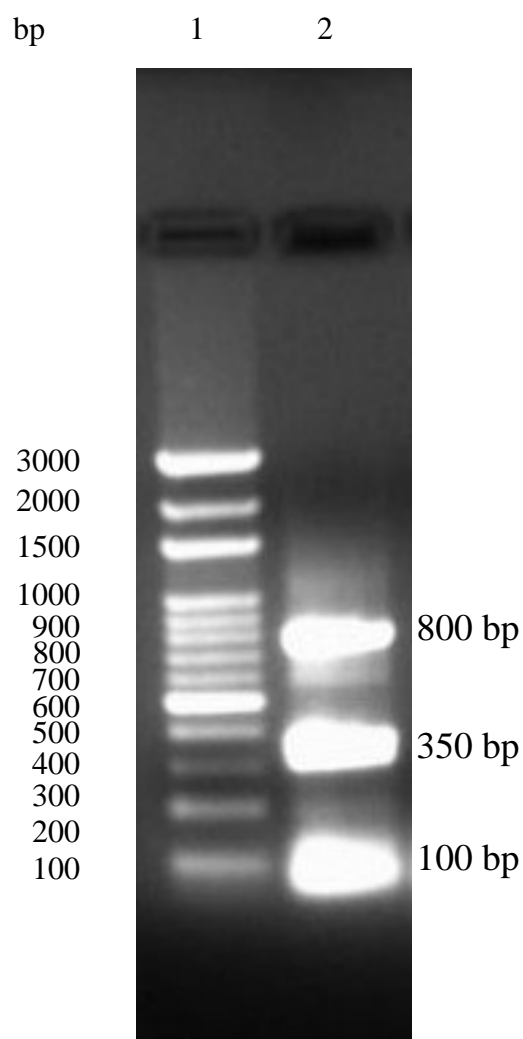
Lane2 : 20 μ g of total RNA

表六、*VrsbeII* cDNA 專一性引子對照表

Table 6. The gene-specific primers used in cloning *VrsbeII* cDNA.

Name	sequence	Length(mer) /Tm°C /GC%
SBE F1 ^a	TGG ATA TTG TTC ACA GTC ATG C	22/ 56.5/ 40.9
SBE F2 ^b	AAG ATG AGG ACT GGA AAA TGG GCG	24/ 62.7/ 50
SBE F6 ^c	ATG GTT TAC ACC ATC TCG GGA ATT CGA TTT CCG	33/ 68.2/ 45.5
SBE R1 ^a	CTT GGG AAA TCT ATC CAT TCA GGA TGC C	28/ 65.1/ 46.4
SBE R5 ^b	AAG ACG AGA ATC CCA CAT CC	20/ 57.3/ 50
SBE R6 ^b	GCA TTC CAC TCA CAT CTT CAC C	22/ 60.3/ 50
SBE R9 ^c	TCA AGG ATC AAC TGG CTC TGG TTC A	25/ 63/ 48
SBE R18 ^d	ACA ACC GGA AAT CGA ATT CCC GAG ATG GTG	30/ 68.1/ 50
SBE R19 ^d	TGAGAA AAA CAG GAA GAG ACG CTG CC	26/ 64.8/ 50

- a. 由資料庫之 SBE cDNA 保守區間所設計出的引子
- b. 由第一階段所獲得之 *VrsbeII*-0.8 所設計的 nested 引子
- c. 參考菜豆澱粉分支酵素 *pvsbeII* (Hamada et al., 2001) 之 5' 端起始序列設計
- d. 由第三階段所獲得之 *VrsbeII*-1.3 設計
- e. 由所得到的 *VrsbeII* cDNA 之 3' 端設計

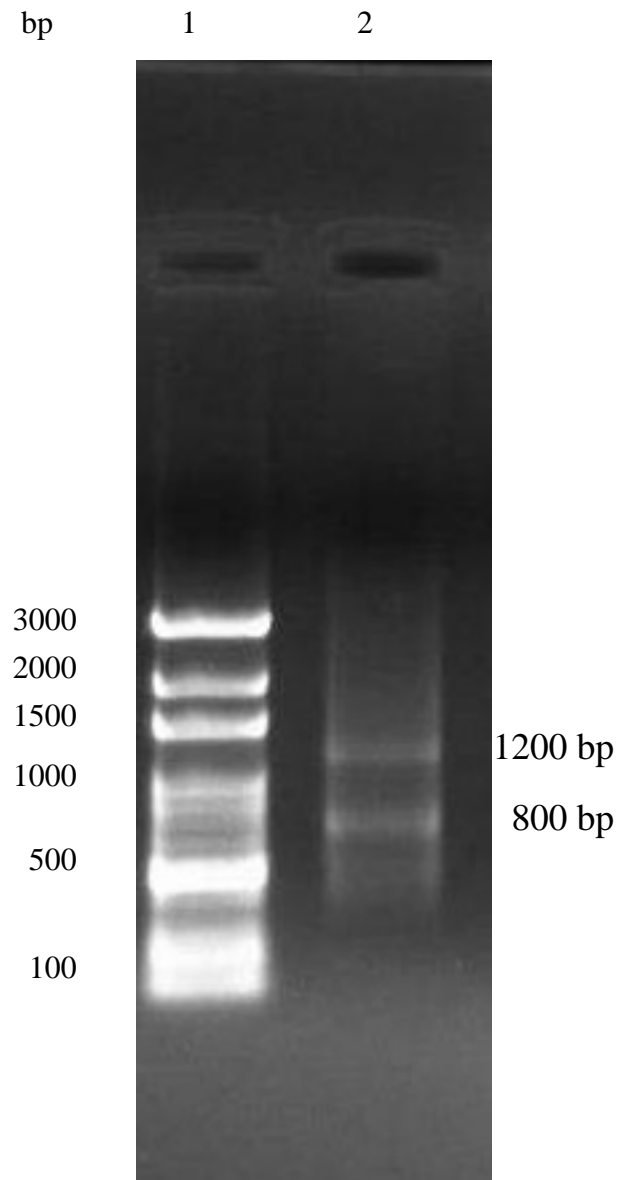


圖九、以綠豆 poly (A) RNA 為模版，以 SBEF1 及 SBER1 為引子進行 RT-PCR 及 PCR 二次放大後，得到產物的洋菜膠體電泳圖

Fig. 9 Agarose gel electrophoresis of DNA fragments prepared from RT-PCR and PCR amplification using SBEF1 and SBER1 as primers.

Lane1: 3kb ladder marker

Lane2: SBEF1 and SBER1 PCR 二次放大產物

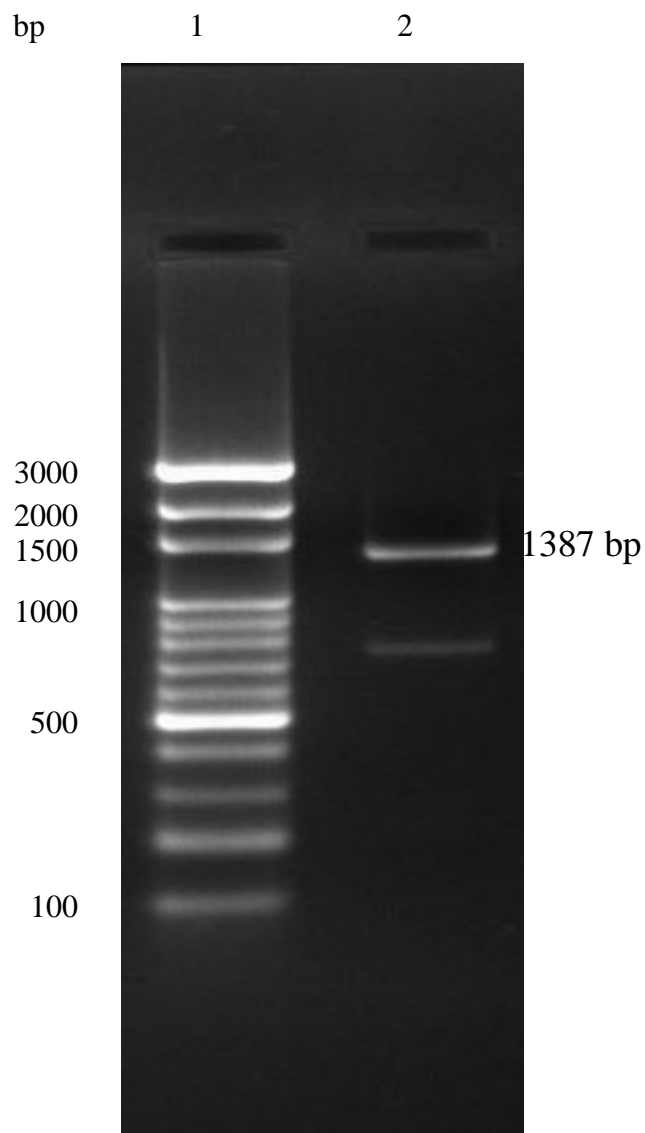


圖十、以 SBEF2 及 NPU 為引子進行 3'RACE 之產物的洋菜膠體電泳圖

Fig.10 Agarose gel electrophoresis of DNA fragments prepared from 3'RACE using SBEF2 and NPU as primers.

Lane 1 : 3 kb ladder marker

Lane 2 : SBEF2 and NPU

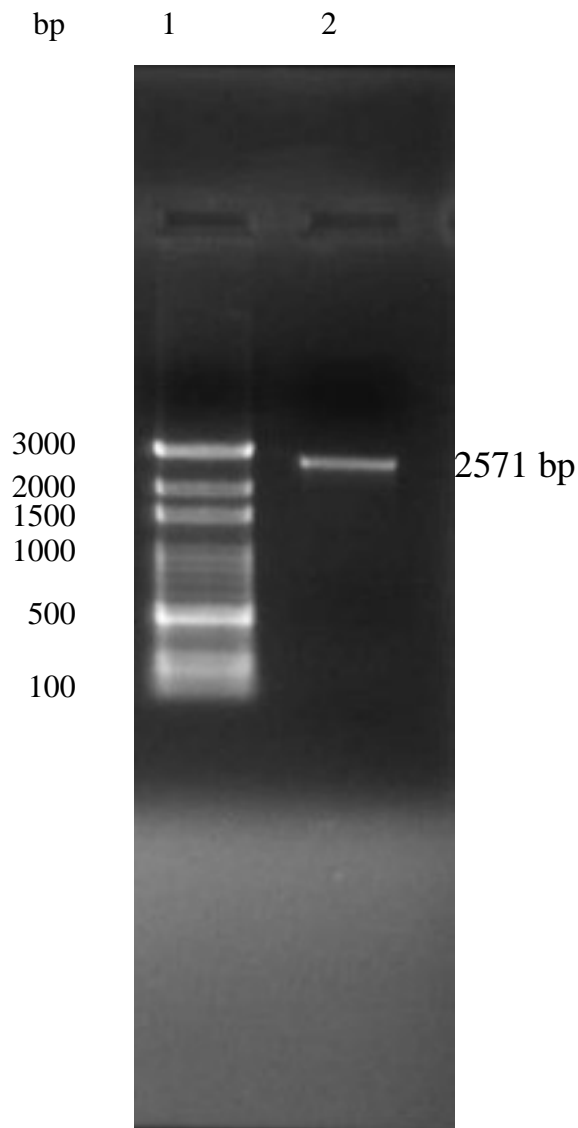


圖十一、以綠豆 poly (A) RNA 為模版，SBEF6 及 SBER5 為引子進行 RT-PCR 及 PCR 二次放大後，得到產物的洋菜膠體電泳圖

Fig. 11 Agarose gel electrophoresis of DNA fragments prepared from RT-PCR and PCR amplification using SBEF6 and SBER5 as primers.

Lane1: 3 kb ladder marker

Lane 2 : SBEF6 and SBER5

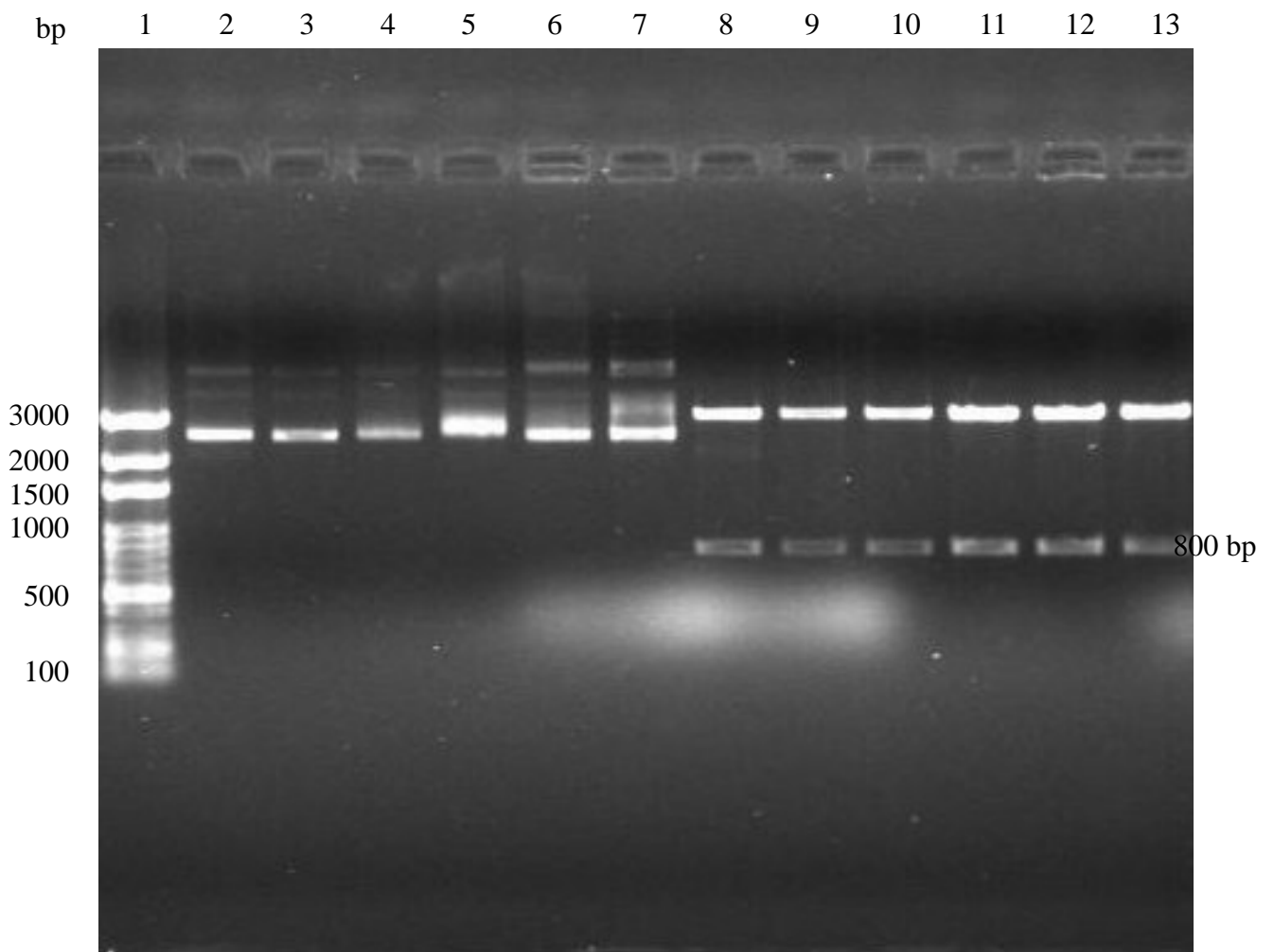


圖十二、以綠豆 poly (A) RNA 為模版，SBEF6 及 SBER9 為引子對進行 RT-PCR 放大後所得全長 *VrsbeII* cDNA 的洋菜膠體電泳圖

Fig. 12 Agarose gel electrophoresis of DNA fragments prepared from RT-PCR using SBEF6 and SBER9 as primers.

Lane 1 : 3 kb ladder marker

Lane 2 : SBEF6 and SBER9



圖十三、由 VrsbeIIp-0.8 抽出之質體 DNA，及以 EcoRI 切出接入載體上之 DNA (VrsbeII-0.8)的洋菜膠體電泳圖

Fig. 13 Agarose gel electrophoresis of plasmid DNA fragments isolated from VrsbeIIp-0.8 and treated with EcoRI.

Lane 1 : 3 kb ladder marker

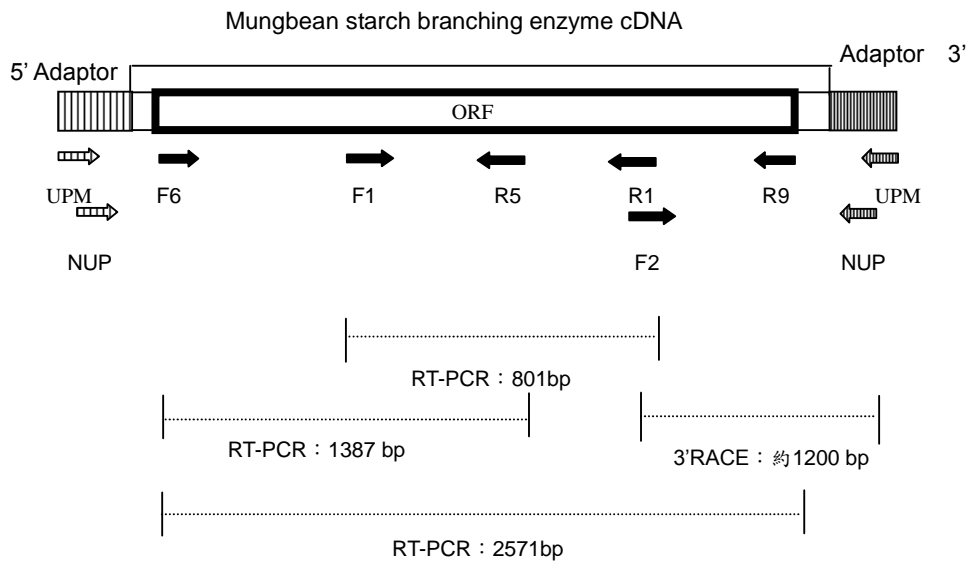
Lane 2-5 : plasmid DNA from JM110

Lane 6-7 : plasmid DNA from DH5 α

Lane 8-11 : plasmid DNA from JM110 treated with EcoRI

Lane 12-13 : plasmid DNA from DH5 α treated with EcoRI

SBEII



圖十四、SBEII cDNA 基因選殖之 RT-PCR 及 RACE 對照圖
Fig. 14 Cloning SBEII cDNA by RT-PCR and RACE.

```

1 ATG GTT TAC ACC ATC TCG GGA ATT CGA TTT CCG GTT GTT CCT TCG CTG AAC GTC TCC AGC CTC CGT GGC GAT CGC AGG GCA GCG TCT CTT CCT GTT TTT CTC 102
1 M V Y T I S G I R F P V V P S L N V S S L R G D R R A A S L P V F L 34
103 AGA AAG AAC GAC TTC TCT CCG AAA ATC CTT GCC GTA AAA TCT TCT CAC GAT TCT GAT TCC CCG TCT TCT GCA ATT GCT GAA TCT GAT AAG GTT CTT ATT CCT 204
35 R K N D F S R K I L A V K S S H D S D S P S S A I A E S D K V L I P 68
205 CAA GAT CAA GAT AAC TCT GCA TCC TTG ACA GAT CAA CTT GAA ACT CCT GTT ATA ACC TCA GAG GAT GCA CAT AAT TTA GAG GAT TTA ACA ATG GAA GAT GAG 306
69 Q D Q D N S A S L T D Q L E T P V I T S E D A H N L E D L T M E D E 102
307 GAT AAA TAC AGC ATT AGT GAA GCA GAT ACC AGT TAC AGA CAG ATT GAA GGT GAG CTA GGT TCT GTG GTT TCT GTT GGC AAG AAA GTA AAT ATA CCA AGT GAT 408
103 D K Y S I S E A D T S Y R Q I E G E L G S V V S V G K K V N I P S D 136
409 GAA GCT AAA CCT AAG ACC ATT CCC CGA CCT GGT GCT GGA CAG AAA ATA TAT GAG ATT GAT CCA TCT TTG CTA GCC CAC CGT GAG CAT CTT GAT TTC CGT TTC 510
137 E A K P K T I P R P G A G Q K I Y E I D P S L L A H R E H L D F R F 170
511 GGA CAA TAC AAA AGA TTG CAC GAT GAA ATT AAT AAG TAT GAA GGT GGT CTG GAT ACA TTT TCT CGT GGC TAT GAA AAA TTT GGC TTC ATA CGC AGT GCT ACA 612
171 G Q Y K R L H D E I N K Y E G G L D T F S R G Y E K F G F I R S A T 204
613 GGC GTT ACT TAC AGA GAG TGG GCA CCT GGA GCT AAG TCA GCA GCA TTA ATT GGA GAC TTC AAC AAT TGG AAT TCA AAT GCA GAT GTA ATG ACT CGG AAT GAG 714
205 G V T Y R E W A P G A K S A A L I G D F N N W N S N A D V M T R N E 238
715 TTT GGT GTT TGG GAG ATT TTT TTG CCA AAC AAT GTG GAT GGT TCA CCA CCA ATT CCT CAT GGT TCT CCG GTC AAG ATC CGC ATG GAT ACT CCC TCT GGA GTC 816
239 F G V W E I F L P N N V D G S P P I P H G S R V K I R M D T P S G V 272
817 AAG GAC TCG ATT CCT GCT TGG ATC AAG TTT TCT GTA CAG GCT CCT GGT GAA ATT CCA TAT AGC GGA ATA TAC TAT GAT CCC CCA GAA GAG GAA AAA TAT GTA 918
273 K D S I P A W I K F S V Q A P G E I P Y S G I Y Y D P P E E E K Y V 306
919 TTC AAA CAT CCA CAG CCA AAG AGA CCA AAA TCA CTT AGA ATA TAC GAG TCA CAT GTT GGA ATG AGT AGT CCG GAG CCA ATG ATC AAC ACA TAT GCC AAT TTT 1020
307 F K H P Q P K R P K S L R I Y E S H V G M S S P E P M I N T Y A N F 340
1021 AGA GAT GAT GTA CTA CCT CGC ATT AAA AAG CTT GGC TAC AAT GCT GTC CAG ATT ATG GCC ATT CAA GAA CAT TCT TAT TAT GCC AGC TTT GGG TAC CAT GTC 1122
341 R D D V L P R I K K L G Y N A V Q I M A I Q E H S Y Y A S F G Y H V 374
1123 ACA AAT TTC TTT GCA CCT AGC AGC CGA TTT GGA ACT CCA GAG GAA CTT AAA TCT CTG ATA GAC AAA GCC CAT GAA CTA GGT CTG CTT GTT CTG ATG GAT ATT 1224
375 T N F F A P S S R F G T P E E L K S L I D K A H E L G L L V L M D I 408
1225 GTA CAC AGC CAT GCC TCA AAT AAT ACT TTG GAT GGC CTA AAC ATG TTT GAT GGA ACT GAT AGT CAT TAC TTC CAT CCT GGG TCA CGG GGT TAT CAT TGG ATG 1326
409 V ██████████ N N T L D G L N M F D G T D S H Y F H P G S R G Y H W M 442
1327 TGG GAT TCT CGT CTT TTC AAT TAT GGA AGC TGG GAA GTA CTA AGG TAT CTA CTT TCA AAT GCA AGA TGG TGG CTG GAT GAA TAC AAG TTT GAC GGA TTT CGA 1428
443 W D S R L F N Y G S W E V L R Y L L S N A R W W L D E Y K F D ██████████ 476
1429 TTT GAT GGT GTT ACA TCA ATG ATG TAC ACT CAT CAT GGG TTG CAG GTA GCA TTC ACT GGA AAT TAC AGT GAG TAC TTT GGT ATG GCA ACT GAT GTT GAT GCT 1530
477 ██████████ S M M Y T H H G L Q V A F T G N Y S E Y F G M A T D V D A 510
1531 GTG GTT TAC CTG ATG CTG GCT AAT GAT CTC ATT CAT GGG CTC TTC CCC GAG GCT GTT ACC ATT GGT GAA GAT GTG AGT GGA ATG CCA ACA TTC TGC CTT CCT 1632
511 V V Y L M L A N D L I H G L F P E A V T I ██████████ G M P T F C L P 544
1633 ACA CAA GAT GGT GGT GTT GGT TTT GAT TAT CGC CTG CAA ATG GCC ATT GCA GAC AAG TGG ATT GAG ATT CTC AAG AAG CAA GAT GAG GAC TGG AAA ATG GGC 1734
545 T Q D G G V G F D Y R L Q M A I A D K W I E I L K K Q D E D W K M G 578
1735 GAT ATT GTC CAC ACA CTA ACA AAC AGA AGA TGG CTG GAA AAA TGT GTA GCT TAT GCT GAG AGT CAT GAT CAG GCC TTG GTT GGT GAC AAG ACA ATT GCA TTT 1836
579 D I V H T L T N R R W L E K C V A Y ██████████ A L V G D K T I A F 612
1987 TGG TTG ATG GAC AAG GAT ATG TAT GAC TTC ATG GCG TTA GAC AGG CCA TCT ACA CCT CGT ATA GAT CGT GGT ATA GCA TTA CAC AAA ATG ATT AGG CTT ATT 1938
613 W L M D K D M Y D F M A L D R P S T P R I D R G I A L H K M I R L I 646
1939 ACC ATG GGA CTT GGT GGT GAA GGG TAT TTG AAT TTT ATG GGG AAT GAG TTT GGC CAT CCT GAG TGG ATT GAT TTT CCA AGG GGT GAA CAA CAA CTT CCT AAT 2040
647 T M G L G G E G Y L N F M G N E F G H P E W I D F P R G E Q Q L P N 680
2041 GGC TCA GTA ATT CCA GGG AAC AAC TAC AGT TAT GAT AAA TGC AGG CGA AGA TTT GAC TTG GGA GAT GCG GAC TAT TTA AGA TAT CGA GGA ATG CAA GAA TTT 2142
681 G S V I P G N N Y S Y D K C R R R F D L G D A D Y L R Y R G M Q E F 714
2143 GAT CGA GCC ATG CAG CTT TTA GAA GAA AAG TTT GGA TTC ATG ACT GCT GAG CAC CAA TAT ATT TCA CGG AAA AAT GAA GGT GAC AAA GTT ATA ATC TTT GAA 2244
715 D R A M Q L L E E K F G F M T A E H Q Y I S R K N E G D K V I I F E 748
2245 AGG GGC AAC CTC GTC TTT GTC TTC AAT TTT CAT TGG CAT AAC AGT TAT TCA GAT TAC AGA GTT GGC TGC TCA ACC CCT GGG AAA TAT AAG ATT GTC TTG GAT 2346
749 R G N L V F V F N F H W H N S Y S D Y R V G C S T P G K Y K I V L D 782
2347 TCA GAT GAT GCC TTG TTT GGT GGC TTC AAT AGG CTC AAC CAC TCT GCT GAG TAC TTC ACT AAT GAA GGA TGG TAT GAT GAC AGA CCT CGA TCC TTT CTT GTC 2448
783 S D D A L F G G F N R L N H S A E Y F T N E G W Y D D R P R S F L V 816
2449 TAT GCA CCT TCT AGG ACA GCA GCA GTT TAT GCC CTT GCA GAT GAT GAT CTG GAA CCA GCC CTT TCA GAC GAA GCT GAA CCA GTC CTT GCA GAT GAA GCT GAA 2550
817 Y A P S R T A A V Y A L A D D D L E P A L S D E A E P V L A D E A E 850
2551 CCA GAG CCA GTT GAT CCT TGA 2571
851 P E P V D P * 856

```

圖十五、*VrsbeII* cDNA 及其演繹出之胺基酸序列對照圖

Fig. 15 Nucleotide and deduced amino acid sequences of *VrsbeII* cDNA.

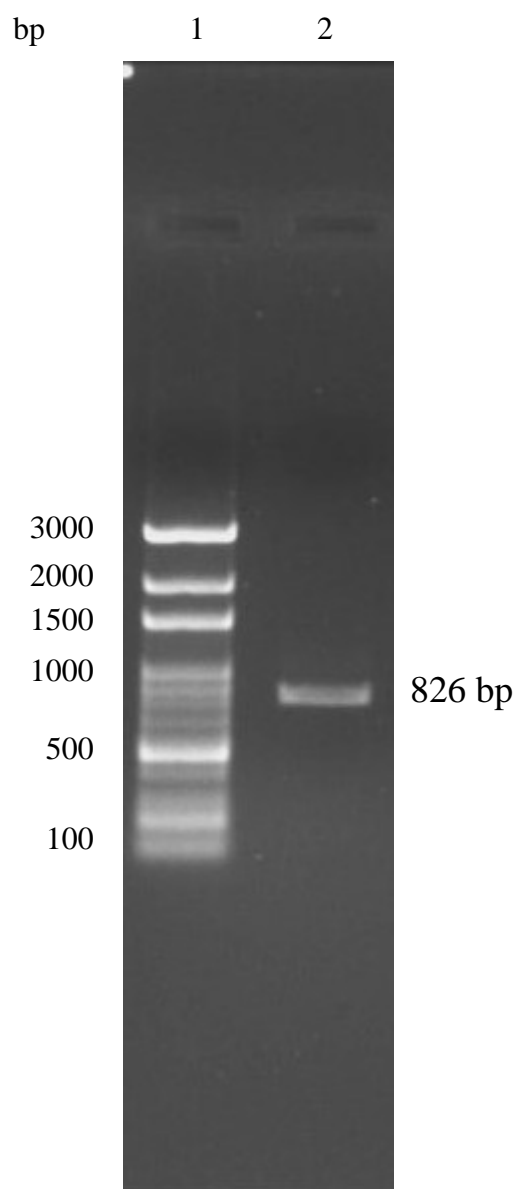
The boxed highlighted amino acids indicate four conserved regions of the α -amylase family.

表七、*VrsbeI* cDNA 專一性引子對照表

Table 7. The gene-specific primers used in cloning *VrsbeI* cDNA.

Name	sequence	Length(mer) /Tm°C /GC%
SBE F9 ^a	ATG TTT AAC TGT CTG TGC CTT AAT CCG TTC	30/ 64/ 40
SBE F10 ^a	GAG GGC TAC CTT AAT TTC ATG GGC AAT G	28/ 65.1/ 46.4
SBE F11 ^b	TTT GCA GCC CCA TAT GAT GGT G	22/ 60.3/ 50
SBE R13 ^a	TTA TGC GAG GTT CAG AGC TAC TCA TC	26/ 63.2/ 46.2
SBE R14 ^b	AGA CGC TGC CTG CTT CTT ACA GTG TGA G	28/ 68/ 53.6
SBE R15 ^b	CCG ATA GCC AAG AGC AAG ATC AAC TGA C	28/ 66.6/ 50
SBE R16 ^c	AGT GAT CTG TAT CCA CCA GAT TCC ACT G	28/ 65.1/ 45.4
SBE R17 ^a	TTA AAT TTC CCT ATC CAA AGA AGC TGC CAC	30/ 64/ 40
SBE R21 ^d	TTA CCC CCA GAG ATT AGG GCT CCT TAC TCT	30/ 58/ 50

- a. 參考菜豆澱粉分支酵素 *pvsbeI* (Hamada et al., 2001) 及豌豆 *pea sbeII* (Burton et al., 1995) cDNA 序列之保守區間所設計出的引子
- b. 由第一階段所獲得之 *VrsbeI*-0.82 所設計的 nested 引子
- c. 由第二階段所獲得之 *VrsbeI*-0.72 所設計的 nested 引子
- d. 由所得到的 *VrsbeI* cDNA 之 3'端設計

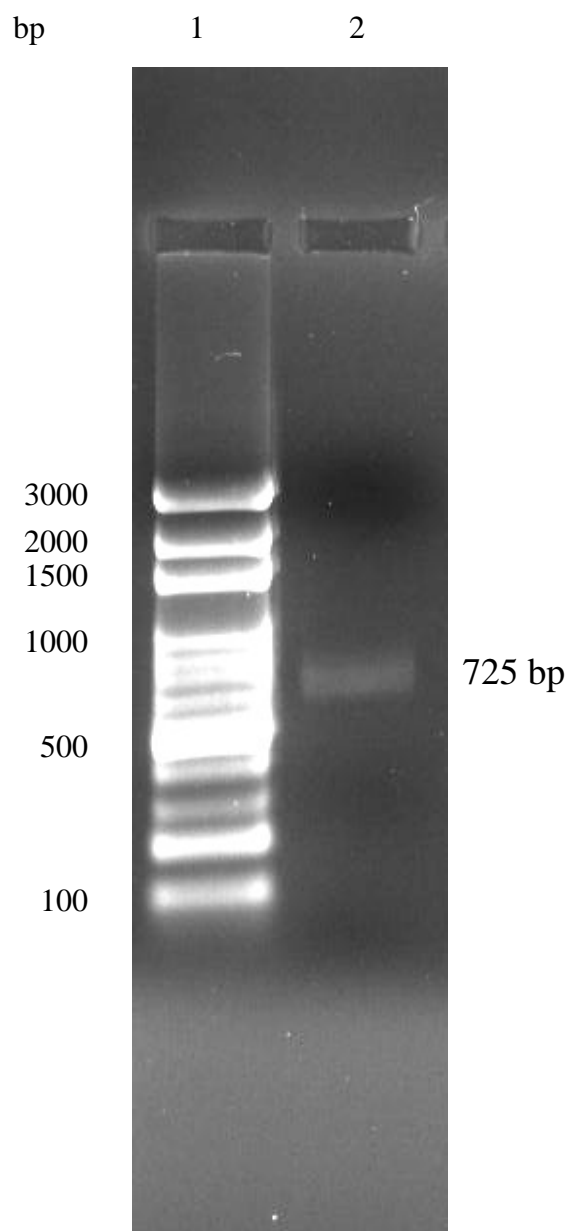


圖十六、以綠豆 poly (A) RNA 為模版，SBEF9 和 SBER13 為引子對進行 RT-PCR 後產物的洋菜膠體電泳圖

Fig. 16 Agarose gel electrophoresis of DNA fragments prepared from RT-PCR using SBEF9 and SBER13 as primers

Lane 1 : 3 kb ladder marker

Lane 2 : SBEF9 and SBER13

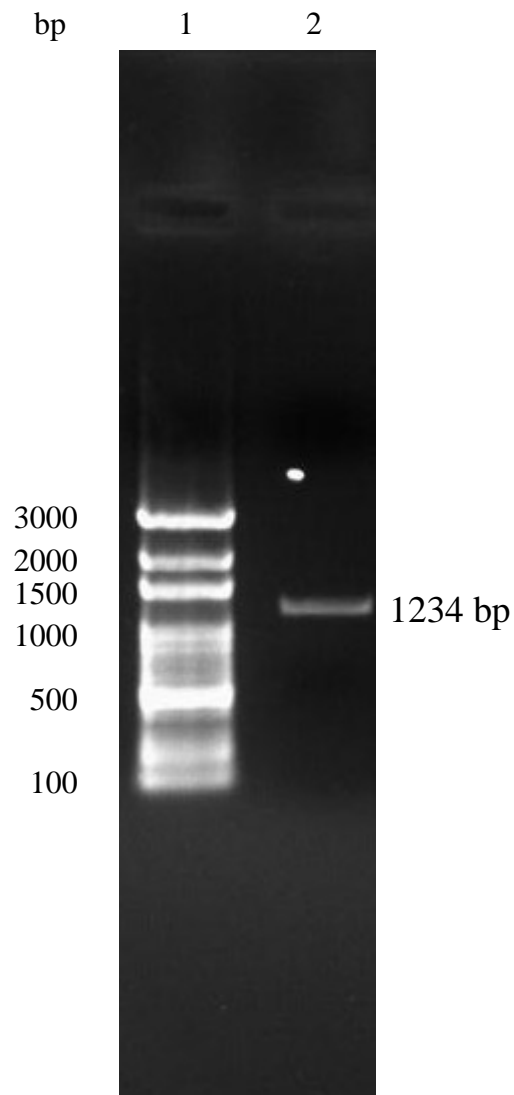


圖十七、以綠豆 poly (A) RNA 為模版，SBEF10 和 SBER17 為引子進行 RT-PCR 後，得到產物的洋菜膠體電泳圖

Fig. 17 Agarose gel electrophoresis of DNA fragments prepared from RT-PCR using SBEF10 and SBER17 as primers.

Lane 1 : 3 kb ladder marker

Lane 2 : SBEF10 and SBER17

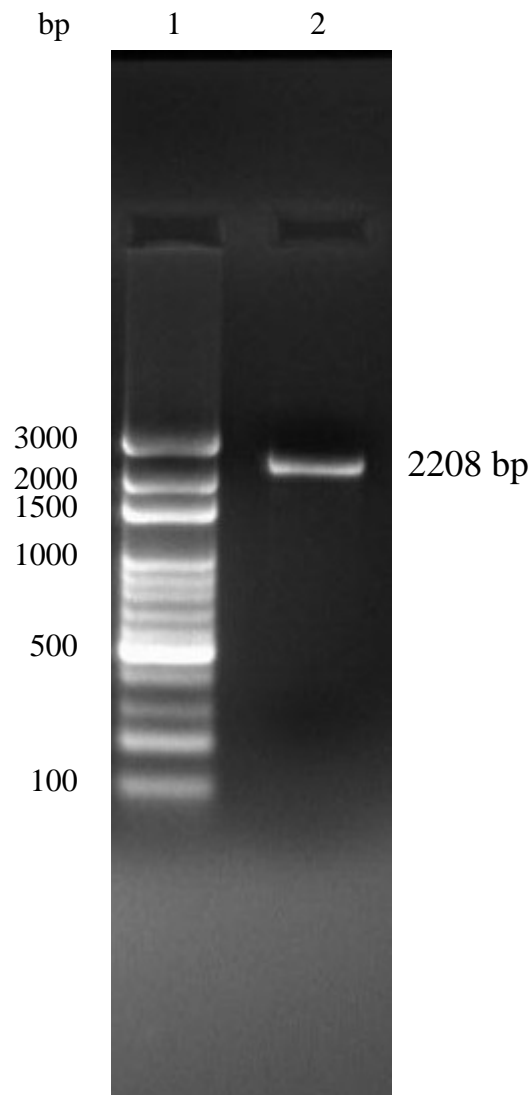


圖十八、以綠豆 poly (A) RNA 為模版，SBEF11 和 SBER16 為引子進行 RT-PCR 後得到產物的洋菜膠體電泳圖

Fig. 18 Agarose gel electrophoresis of DNA fragments prepared from RT-PCR using SBEF11 and SBER16 as primers.

Lane 1 : 3 kb ladder marker

Lane 2 : SBEF11 and SBER16



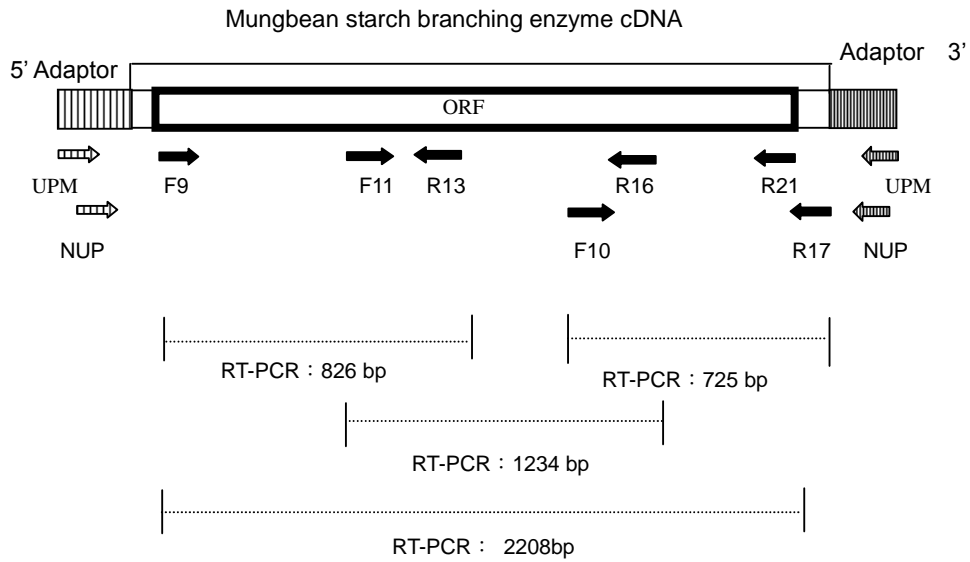
圖十九、以綠豆 poly (A) RNA 為模版，SBEF9 及 SBER21 為引子對進行 RT-PCR 及 PCR 二次放大後所得全長 *VrsbeI* cDNA 的洋菜膠體電泳圖

Fig. 19 Agarose gel electrophoresis of DNA fragments prepared from RT-PCR and PCR amplification using SBEF9 and SBER21 as primers.

Lane 1 : 3 kb ladder marker

Lane 2 : SBEF9 and SBER21

SBEI



圖二十、SBEI cDNA 基因選殖之 RT-PCR 及 RACE 對照圖
 Fig. 20 Cloning SBEI cDNA by RT-PCR and RACE.

```

1  ATG TTT AAC TGT CTG TGC CTT AAT CCG TTC ATT TCC GTC TCT TCA ACC GTT GCC TGC ACC TCT CAC ACT GTA AGA AGC AGG CAG CGT CTT GCA CCA CAA AAG 102
1  M  F  N  C  L  C  L  N  P  F  I  S  V  S  S  T  V  A  C  T  S  H  T  V  R  S  R  Q  R  L  A  P  Q  K  34
103 TCA GTT GAT CTT GCT CTT GGC TAT CGG AAT CCA CTT GGA TAT GGG TTT GGT TTT GGA TTG AGA AGA TCA CTG CAC GAG ATG GTG AGC TCT CGT TTC AAG GGT 204
35  S  V  D  L  A  L  G  Y  R  N  P  L  G  Y  G  F  G  F  G  L  R  R  S  L  H  E  M  V  S  S  R  F  K  G  68
205 GTA GCT GTT ATG ACT GAT GAC AAA TCA ACA ATA TCA TCC ACT GAG GAA TAC TTA GAA AAC ATT GGC ATC TTT TCT ATT GAT CCG TCC CTA AAG CCA TAT AAA 306
69  V  A  V  M  T  D  D  K  S  T  I  S  S  T  E  E  Y  L  E  N  I  G  I  F  S  I  D  P  S  L  K  P  Y  K  102
307 GAT CAC TTC AAA TAT AGA CTG AAG AGA TAC GTA GAT CAG AAA AAG CTT ATT GAA GAA TAT GAA GGA GGT CTT GAG GAA TTT GCC AAA GGT TAT TTG AAA TTT 408
103 D  H  F  K  Y  R  L  K  R  Y  V  D  Q  K  K  L  I  E  E  Y  E  G  G  L  E  E  F  A  K  G  Y  L  K  F  136
409 GGA TTT AAC AGA GAA GAA GGT GGA ATT GTG TAC CGC GAG TGG GCA CCT GCT GCT CAG GAA GCA CAA ATT ATT GGA GAC TTT AAT GGA TGG GAT GGT TCC AAC 510
137 G  F  N  R  E  E  G  G  I  V  Y  R  E  W  A  P  A  A  Q  E  A  Q  I  I  G  D  F  N  G  W  D  G  S  N  170
511 CAC CAA ATG GAA AAA AAT CAG TTT GGT GTC TGG AGT ATT AAG ATC CCT GAT GCT GAT GGA AAT CCA GCT ATA CCA CAC AGT TCG AGA GTG AAG TTT AGA TTC 612
171 H  Q  M  E  K  N  Q  F  G  V  W  S  I  K  I  P  D  A  D  G  N  P  A  I  P  H  S  S  R  V  K  F  R  F  204
613 CGC CAT GGG GAT GGA GTT TGG GTT GAT CGC ATA CCT GCT TGG ATC AAA TAT GCC ACT GTT GAT CCT AAC AGA TTT GCA GCA CCA TAT GAT GGT GTC TAC TGG 714
205 R  H  G  D  G  V  W  V  D  R  I  P  A  W  I  K  Y  A  T  V  D  P  N  R  F  A  A  P  Y  D  G  V  Y  W  238
715 GAT CCA CCA CTT TCA GAG AGA TAT GAG TTT AAA TAT CCA CGT CCA CCA AAG CCG AAG GCC CCA CGG ATA TAT GAG GCT CAT GTG GGG ATG AGT AGC TCT GAA 816
239 D  P  P  L  S  E  R  Y  E  F  K  Y  P  R  P  P  K  P  K  A  P  R  I  Y  E  A  H  V  G  M  S  S  S  E  272
817 CCT CGC ATA AAC TCT TAC AGG GAA TTT GCA GAT GAG ATT TTG CCC CGT ATT CGA GCA AAT AAC TAT AAT ACA GTC CAG CTG ATG GCC GTT ATG GAA CAT TCT 918
273 P  R  I  N  S  Y  R  E  F  A  D  E  I  L  P  R  I  R  A  N  N  Y  N  T  V  Q  L  M  A  V  M  E  H  S  306
919 TAT TAT GCA TCG TTT GGA TAT CAT GTA ACA AAT TTT TTT GCT GTG AGC AGT AGA TCT GGA ACC CCT GAA GAT CTT AAA TAT CTG ATA GAT AAG GCT CAT AGC 1020
307 Y  Y  A  S  F  G  Y  H  V  T  N  F  F  A  V  S  S  R  S  G  T  P  E  D  L  K  Y  L  I  D  K  A  H  S  340
1021 CTA GGA TTG CAG GTT TTG ATG GAT GTT ATC CAT AGT CAT GCC AGT AAT AAC ATC ACC GAT GGA CTC AAT GGC TTT GAT GTT GGC CAA ACT TCA CAA GAT TCT 1122
341 L  G  L  Q  V  L  M  D  V  I  [ ] N  N  I  T  D  G  L  N  G  F  D  V  G  Q  T  S  Q  D  S  374
1123 TAC TTC CAT GCT GGA GAT AGA GGT TAT CAC AAG TTG TGG GAT AGT AGA CTA TTT AAC TAT GCC AAC TGG GAA GTT CTT CGT TTC CTT TTA TCT AAT TTA AGG 1224
375 Y  F  H  A  G  D  R  G  Y  H  K  L  W  D  S  R  L  F  N  Y  A  N  W  E  V  L  R  F  L  L  S  N  L  R  408
1225 TGG TGG CTC GAG GAG TTT AAA TTT GAT GGA TTT CGA TTT GAT GGA GTA ACA TCA ATG CTG TAT CAT CAC CAT GGA ATC AAC ATT GCT TTT ACA GGG GAT TAT 1326
409 W  W  L  E  E  F  K  F  D  [ ] S  M  L  Y  H  H  H  G  I  N  I  A  F  T  G  D  Y  442
1327 AAT GAA TAT TTT AGC GAA GCA ACA GAT GTG GAT GCT GTT GTC TAT CTG ATG CTG GCT AAT TCT CTG ATC CAC AGT ATT TTG CCA GAT GCA ACT GTA ATT GCT 1428
443 N  E  Y  F  S  E  A  T  D  V  D  A  V  V  Y  L  M  L  A  N  S  L  I  H  S  I  L  P  D  A  T  V  I  [ ] 476
1429 GAA GAT GTT TCT GGC ATG CCA GGA ATT GGT CAA CAA GTT TCT GAC GGT GGA ATT GGT TTT GAC TAT CGT CTA GCC ATG GCT ATC CCT GAT AAA TGG ATT GAT 1530
477 [ ] G  M  P  G  I  G  Q  Q  V  S  D  G  G  I  G  F  D  Y  R  L  A  M  A  I  P  D  K  W  I  D  510
1531 TAC TTG AAG AAC AAG AAT GAG TAC ACA TGG TCA ATG AAG GAA ATC TCT TGG AGT TTG ACA AAT AGG AGA TAC ACT GAG AAA TGT GTT TCC TAT GCT GAA AGC 1632
511 Y  L  K  N  K  N  E  Y  T  W  S  M  K  E  I  S  W  S  L  T  N  R  R  Y  T  E  K  C  V  S  Y  [ ] 544
1633 CAT GAC CAG GCC ATC GTT GGT GAT AAG ACT GTT GCG TTT CTC CTA ATG GAT GAG GAA ATG TAT TCT GGC ATG TCT TGC TTG GTT GAT CCT TCT CCT ATT GTT 1734
545 [ ] A  I  V  G  D  K  T  V  A  F  L  L  M  D  E  E  M  Y  S  G  M  S  C  L  V  D  P  S  P  I  V  578
1735 GAG CGA GGC ATT GCT CTT CAG AAG ATG ATA CAC TTC ATA ACC ATG GCA TTA GGT GGA GAG GGC TAC CTT AAT TTC ATG GGC AAT GAG TTT GGC CAT CCG GAG 1836
579 E  R  G  I  A  L  Q  K  M  I  H  F  I  T  M  A  L  G  G  E  G  Y  L  N  F  M  G  N  E  F  G  H  P  E  612
1837 TGG ATT GAT TTC CCA AGA GAA GGC AAT GGA TGG AGT TAT GAG AAG TGC AGG CGT CAG TGG AAT CTG GTG GAT ACA GAT CAC CTG AGA TAC AAG TTC ATG AAT 1938
613 W  I  D  F  P  R  E  G  N  G  W  S  Y  E  K  C  R  R  Q  W  N  L  V  D  T  D  H  L  R  Y  K  F  M  N  646
1939 GCA TTT GAT AGG GCA ATG AAC TTG CTT GAT GAT AAA TTT TCG TTC CTT GCA TCA AGT AAA CAA ATA GTG AGC AGT GCA GAT GAT GAA GAC AAG GTT ATA GTC 2040
647 A  F  D  R  A  M  N  L  L  D  D  K  F  S  F  L  A  S  S  K  Q  I  V  S  S  A  D  D  E  D  K  V  I  V  680
2041 TTT GAG CGA GGA GAT CTG ATA TTT GTA TTC AAT TTT CAT CCA GAG AAT ACA TAT GAA GGG TAT AAA GTT GGA TGT GAC TTA CCT GGG AAA TAT AGA GTT GCA 2142
681 F  E  R  G  D  L  I  F  V  F  N  F  H  P  E  N  T  Y  E  G  Y  K  V  G  C  D  L  P  G  K  Y  R  V  A  714
2143 TTG GAT AGT GAT GCT TGG GAA TTT GGA GGT CAT GGA AGA GTA AGG AGC CCT AAT CTC TGG GGG TAA 2208
715 L  D  S  D  A  W  E  F  G  G  H  G  R  V  R  S  P  N  L  W  G  *  735

```

圖二十一、*VrsbeI* cDNA 及其演繹出之胺基酸序列對照圖

Fig. 21 Nucleotide and deduced amino acid sequences of *VrsbeI* cDNA.

The boxed highlighted amino acids indicate four conserved regions of the α -amylase family.

Rice	RBE4	~MFAVAVSG	ARLG..VVRA	GGGGGG..GG	GPAARSGGVD	34	
Wheat	SBEII	~MATFAVSG	ATLG..VARP	AGAGGGLLPR	SGSERGGVD	36	
Maize	SBEII	~MAFRVSG	AVLGGAVRAP	RLTGGG..EG	SLVFRHTGLF	35	
Kidney bean	SBEII	MVYITISGIRF	PAVLSLHNS..	...TLRGDR	RA..ASL...PVFLRKN..N	38	
Mungbean	SBEII	MVYITISGIRF	PVVPVSLNVS..	...SLRGDR	RA..ASL...PVFLRKN..D	38	
Pea	SBEI	MVYITISGIRF	PVLPVSLHKS..	...TLRCDR	RA..SSH...SFFLKNSSS	40	
Arabidopsis thaliana	SBE2-2	~MVVIHGVSL	TPRFTLPSR..	...PLNTGF	NAGNSTL...SFFFKKHP..	39	
Arabidopsis thaliana	SBE2-1	MVYITISGVRF	PHLPSIKKKN	SSLHSFNEDL	RRSNA.V...SFSLRKDSRS	46	
Rice	RBE1	~MFAVAVSG	ARLG..VVRA	GGGGGG..GG	GPAARSGGVD	34	
Wheat	SBEI	~MATFAVSG	ATLG..VARP	AGAGGGLLPR	SGSERGGVD	36	
Maize	SBEI	~MAFRVSG	AVLGGAVRAP	RLTGGG..EG	SLVFRHTGLF	35	
Kidney bean	SBEI	MVYITISGIRF	PAVLSLHNS..	...TLRGDR	RA..ASL...PVFLRKN..N	38	
Mungbean	SBEI	MVYITISGIRF	PVVPVSLNVS..	...SLRGDR	RA..ASL...PVFLRKN..D	38	
Pea	SBEII	MVYITISGIRF	PVLPVSLHKS..	...TLRCDR	RA..SSH...SFFLKNSSS	40	
Consensus		~MFAVAVSG	ARLG..VVRA	GGGGGG..GG	GPAARSGGVD	34	
Rice	RBE4	LPSVLFRRKD	SFSRQVVS	GAPGK.VLVP	GGGSDLLSS	AEPDVTQEQ	83
Wheat	SBEII	LPSLLLRKDD	S.SRAVLSRA	ASPGK.VLVP	DGESDDLASP	A.....Q	76
Maize	SBEII	LTRGA.RVGC	SGTHGAMRAA	AAARKAVMVP	EGENDGLASR	AD...SAQFQ	81
Kidney bean	SBEII	FSRKILAVKS	SHDSDSPSSA	IAESDKVLIP	Q.DHDNSASL	TDQLETQVIT	87
Mungbean	SBEII	FSRKILAVKS	SHDSDSPSSA	IAESDKVLIP	Q.DQDNSASL	TDQLETQVIT	87
Pea	SBEI	FSRSTLYAKF	SRDSEKSSST	IAESDKVLIP	E.DQDNSVSL	ADQLENPDIT	89
Arabidopsis thaliana	SBE2-2	LSRKIFACKQ	SAEFDSSQA	ISASEKVLVP	D.NLDDDPGR	FSQI.....	82
Arabidopsis thaliana	SBE2-1	.SGKVFAKPK	SYDSDSSSLA	TTASEK.LRG	H.QSDSSSSA	SDQVQSRDTV	93
Rice	RBE1	~MFAVAVSG	ARLG..VVRA	GGGGGG..GG	GPAARSGGVD	34	
Wheat	SBEI	~MATFAVSG	ATLG..VARP	AGAGGGLLPR	SGSERGGVD	36	
Maize	SBEI	~MAFRVSG	AVLGGAVRAP	RLTGGG..EG	SLVFRHTGLF	35	
Kidney bean	SBEI	MVYITISGIRF	PAVLSLHNS..	...TLRGDR	RA..ASL...PVFLRKN..N	38	
Mungbean	SBEI	MVYITISGIRF	PVVPVSLNVS..	...SLRGDR	RA..ASL...PVFLRKN..D	38	
Pea	SBEII	MVYITISGIRF	PVLPVSLHKS..	...TLRCDR	RA..SSH...SFFLKNSSS	40	
Consensus		~MFAVAVSG	ARLG..VVRA	GGGGGG..GG	GPAARSGGVD	34	
Rice	RBE4	PEEQIPDDN	KVKPFEEEE	IPAVAEASIK	VVAEDKLESS	EVIQDIE...	130
Wheat	SBEII	PEELQIPED.IEEQ..	...TAEVMT	GGTAEKLESS	EPTQGI...	113
Maize	SBEII	SDELEVPD..IS...	91
Kidney bean	SBEII	SVAHNLEDL	TMEDEKYN	GEADSSYRQI	EDGLGSVASS	...PVDVDIP	134
Mungbean	SBEII	SEDAHNLEDL	TMEDEKYSI	SEADTSYRQI	EGELGSV...	...	124
Pea	SBEI	SEDAQNLEDL	TMKDGNYNI	DESTSSYREV	GDEKGSVTSS	SLVDVNTDTQ	139
Arabidopsis thaliana	SBE2-2	...FDLESQ	TME.....	...YTEAVR	97
Arabidopsis thaliana	SBE2-1	SDDTQVLGNV	DVQKTE...	...EAQETET	LDQTSALSTS	GSISYKEDF.	135
Rice	RBE1	TSSSSSAPPP	LLP....SL	ADRPSPGIAG	GGGNVRLSVV	SSP...RRSW	46
Wheat	SBEI	TASSSPSPSP	SLPPRPSRPA	ADRPSPGIS.	GGGNVRLSAV	PAPSSLRWSW	53
Maize	SBEI	VSPSS.SPTP	LPPRRSRSH	ADRAAPPPIA	GGGNVRLSVL	SVQCKARRSG	53
Kidney bean	SBEI	ISVSTIACT	IHTVRSRQHL	APQKSVDLAV	GYRN.PLGYC	F.GSGLRRSL	58
Mungbean	SBEI	ISVSTVACT	SHTVRSRQRL	APQKSVDLAL	GYRN.PLGYC	F.GFGLRRSL	58
Pea	SBEII	~ATTTTT	THNSKNKQYL	AKQKPVLETL	GYQN.PNGCK	VCSFGSKGSI	45
Consensus		~ATTTTT	THNSKNKQYL	AKQKPVLETL	GYQN.PNGCK	VCSFGSKGSI	45
Rice	RBE4	.ENVTEGVK	DADEPTVEDK	BRVIPPBGDG	QKIYQIDPML	EGFRNHLDYR	179
Wheat	SBEII	.ETITDGVK	GVKELVVEK	BRVVPKPGDG	QKIYEIDPTL	KDFRSHLDYR	162
Maize	SBEII	.EETTCGA..	GVADAQALNR	VRVPPPSDGD	QKIFQIDPML	QGYKYLEYR	138
Kidney Bean	SBEII	AKKTSVSVGK	EVKIPSVEAK	PKTIIPRPGAG	QKIYEIDPSL	LAYRHLDFR	184
Mungbean	SBEIIVSVGK	KVNIPSDEAK	PKTIIPRPGAG	QKIYEIDPSL	LAHREHLDFR	169
Pea	SBEI	AKKTSVSHDK	KVKVD....K	PKIIPPPGTD	QKIYEIDPLL	QAHRQHLDFR	185
Arabidopsis thaliana	SBE2-2	TEDQTMNVVK	ERGV....K	PRIVPPPGDG	KKIYEIDPML	RTYNNHLDYR	142
Arabidopsis thaliana	SBE2-1	.AKMSHSVQD	EVG.....	QRKIPPPGDC	KRIYDIDPML	NSHRNHLDYR	177
Rice	RBE1	PGKVKTNF.S	VPATARKNKT	MVTVVEVDH	LPIYDLDPKL	EEFKDHFNYR	95
Wheat	SBEI	PRKAKSKF.S	VPVSAPREYT	MATAEDGFD	LPIYDLDPKF	ACFKDHFYSYR	102
Maize	SBEI	VRKVKSKF.A	TAATVQEDKT	MATAKGDVDH	LPIYDLDPKL	EIFKDHFRYR	102
Kidney bean	SBEI	HEMVSSRFK	VAVMTDDKST	ISSTEEYLEN	IGLFSIDPSL	KPKYKHFKYR	108
Mungbean	SBEI	HEMVSSRFK	VAVMTDDKST	ISSTEEYLEN	IGLFSIDPSL	KPKYKHFKYR	108
Pea	SBEII	YQKVSSGFK	VAVMTDDKST	MPSVEEDFEN	IGLNVSSSL	EPFKDHFKYR	95
Consensus		YQKVSSGFK	VAVMTDDKST	MPSVEEDFEN	IGLNVSSSL	EPFKDHFKYR	95
Rice	RBE4	YSEYKRMRAA	IDQHEGCLDA	FSRGYEKLGF	TRSAEGITYR	EWAPGAQSA	229
Wheat	SBEII	YSEYRRIRAA	IDQHEGGLA	FSRGYEKLGF	TRSAEGITYR	EWAPGAHSA	212
Maize	SBEII	YSLYRRIRSD	IDHEGGLA	FSRGYEKLGF	NASAEGITYR	EWAPGAFSA	188
Kidney bean	SBEII	FGQYKRLHDE	INKHEGCLDA	FSRGYEQFGF	IRSATGITYR	EWAPGAKSA	234
Mungbean	SBEII	FGQYKRLHDE	INKYEGGLDT	FSRGYEKLGF	IRSATGITYR	EWAPGAKSA	219
Pea	SBEI	YGQYKRIREE	IDKYEGCLDA	FSRGYEKLGF	TRSATGITYR	EWAPGAKSA	235
Arabidopsis thaliana	SBE2-2	YGQYKRLREE	IDKYEGGLA	FSRGYEKLGF	SRSDAGITYR	EWAPGAKSA	192
Arabidopsis thaliana	SBE2-1	YGQYKRLREE	IDKNEGGLA	FSRGYEKLGF	TRSATGITYR	EWAPGAKSA	227
Rice	RBE1	IKRYLDQKCL	IEKHEGGLA	FSKGYLKFGE	NTVDGATYR	EWAPAAQEA	145
Wheat	SBEI	MKKYLEQKHS	IEKHEGGLA	FSKGYLKFGE	NTNDATVYR	EWAPAAQEA	152
Maize	SBEI	MKRFLQKGS	IEENEGSLES	FSKGYLKFGE	NTNEDGTYR	EWAPAAQEA	152
Kidney bean	SBEI	LKRYVQKKL	IEEYEGGLE	EAKGYLKFGE	NREEGGIVYR	EWAPAAQEA	158
Mungbean	SBEI	LKRYVQKKL	IEEYEGGLE	EAKGYLKFGE	NREEGGIVYR	EWAPAAQEA	158
Pea	SBEII	LKRYLHQKKL	IEEYEGGLE	EAKGYLKFGE	NREEDGTYR	EWAPAAQEA	145
Consensus		LKRYLHQKKL	IEEYEGGLE	EAKGYLKFGE	NREEDGTYR	EWAPAAQEA	145

Rice	RBE4	LVGDFNNWNP	NADIMTRNEY	GVWEISLPNN	ADGSPAIPHG	SRVKIRMDTP	279
Wheat	SBEII	LVGDFNNWNP	NADIMTRDDY	GVWEIFLPNN	ADGSPAIPHG	SRVKIRMDTP	262
Maize	SBEII	LVGDFNNWNP	NADRMKNEF	GVWEIFLPNN	ADGTSPIPHG	SRVKVRMDTP	238
Kidney bean	SBEII	LIGDFNNWNP	NADVMTRNEF	GVWEIFLPNN	VDCSPPIPHG	SRVKIRMDTP	284
Mungbean	SBEII	LIGDFNNWNS	NADVMTRNEF	GVWEIFLPNN	VDCSPPIPHG	SRVKIRMDTP	269
Pea	SBEI	LVGDFNNWNP	NADVMTKDAF	GVWEIFLPNN	ADGSPPIPHG	SRVKIHMDTP	285
Arabidopsis thaliana	SBE2-2	LIGDFNNWNS	NADIMTRNEF	GVWEIFLPNN	TDCSPAIPHG	SRVKIRMDTP	242
Arabidopsis thaliana	SBE2-1	LIGDFNNWNA	KSDVMARNDF	GVWEIFLPNN	ADGSPAIPHG	SRVKIRMDTP	277
Rice	RBE1	LIGDFNNWNG	AKHKMEKDKF	GIWSIKIS.H	VNGKPAIPHN	SKVKFRFRHG	194
Wheat	SBEI	LIGDFNNWNG	SGHRMTKDNF	GVWSIRIS.H	VNGKPAIPHN	SKVKFRFRHG	201
Maize	SBEI	LIGDFNDWNG	ANHKMEKDKF	GVWSIKID.H	VKCKPAIPHN	SKVKFRFLHG	201
Kidney bean	SBEI	IIGDFNGWDG	SNHQMEKQDF	GVWSIKIP.D	VDCNPAIPHS	SRVKFRFRHG	207
Mungbean	SBEI	IIGDFNGWDG	SNHQMEKQDF	GVWSIKIP.D	ADGNPAIPHS	SRVKFRFRHG	207
Pea	SBEII	IIGDFNGWNG	SNLHMEKQDF	GVWSIQIP.D	ADGNPAIPHN	SRVKFRFKHS	194
Consensus		--G--N-W--	----M----	G-W-I----	--G---IPH-	S-VK-----	
Rice	RBE4	SGV.KDSIPA	WIKFAVQAPG	EI..FYNGIY	YDPPEEEKYV	FQHPQPKREN	326
Wheat	SBEII	SGV.KDSISA	WIKFSVQAPG	EI..BFNGIY	YDPPEEEKYV	FQHPQPKRRE	309
Maize	SBEII	SGI.KDSIPA	WIKYSVQAPG	EI..PYDGIY	YDPPEEVKYV	FRHAQPKPKP	285
Kidney bean	SBEII	SGI.KDSIPA	WIKFSVQAPG	EI..BYSGIY	YDPPEEEKYV	EKHPQPKPKP	331
Mungbean	SBEII	SGV.KDSIPA	WIKFSVQAPG	EI..BYSGIY	YDPPEEEKYV	EKHPQPKPKP	316
Pea	SBEI	SGI.KDSIPA	WIKFSVQAPG	EI..FYNGIY	YDPPEEEKYV	EKHPQPKRPQ	332
Arabidopsis thaliana	SBE2-2	SGI.KDSIPA	WIKFSVQAPG	EI..BFNGIY	YDPPEEEKYV	EKHPQPKRRE	289
Arabidopsis thaliana	SBE2-1	SGI.KDSIPA	WIKYSVQPPG	EI..BYNGVY	YDPPEEDKYA	EKHPRPKKPT	324
Rice	RBE1	GGAWVDRIPA	WIRYATFDAS	KFGAPYDGVH	WDDPACERYV	EKHPRPPKPD	244
Wheat	SBEI	DGLWVDRIPE	WIRYATFDAS	KFGAPYDGVH	WDDPTGERYV	EKHPRPPKPD	251
Maize	SBEI	GVWVDRIPE	LIRYATVDAS	KFGAPYDGVH	WDDPASERYT	EKHPRPSKPA	250
Kidney bean	SBEI	DGVWVDRIPE	WIKYATVDPT	RFAAPYDGVY	WDDPLSERYQ	EKYPPPKPKP	257
Mungbean	SBEI	DGVWVDRIPE	WIKYATVDPT	RFAAPYDGVY	WDDPLSERYQ	EKYPPPKPKP	257
Pea	SBEII	DGVWVDRIPE	WIKYATVDPT	RFAAPYDGVY	WDDPLSERYQ	EKHPRPPKPK	244
Consensus		-G---D---A	-I-----	----P-G--	-DPP----Y-	F---P--P-	
Rice	RBE4	SLRIYESHIG	MSSPEPKINT	YANFRDEVLP	RIKKLCYNAV	QIMAIQESHY	376
Wheat	SBEII	SLRIYESHIG	MSSPEPKINS	YANFRDEVLP	RIKRLCYNAV	QIMAIQESHY	359
Maize	SBEII	SLRIYETHVG	MSSPEPKINT	YVNFREDEVLP	RIKKLCYNAV	QIMAIQESHY	335
Kidney bean	SBEII	SLRIYESHVG	MSSPEPKINT	YANFRDDVLP	RIKKLCYNAV	QIMAIQESHY	381
Mungbean	SBEII	SLRIYESHVG	MSSPEPKINT	YANFRDDVLP	RIKKLCYNAV	QIMAIQESHY	366
Pea	SBEI	SLRIYESHIG	MSSPEPKINT	YANFRDDVLP	RIKKLCYNAV	QIMAIQESHY	382
Arabidopsis thaliana	SBE2-2	SLRIYEAHVG	MSSTEPVNT	YANFRDDVLP	RIKKLCYNAV	QIMAIQESHY	339
Arabidopsis thaliana	SBE2-1	SLRIYESHVG	MSSTEPKINT	YANFRDDVLP	RIKKLCYNAV	QIMAIQESHY	374
Rice	RBE1	APRIYEAHVG	MSGEEPEVST	YREFADNVLP	RIRANNYNTV	QLMAIMEHSY	294
Wheat	SBEI	APRIYEAHVG	MSGEEKPEVST	YREFADNVLP	RIRANNYNTV	QLMAIMEHSY	301
Maize	SBEI	APRIYEAHVG	MSGEEKPAVST	YREFADNVLP	RIRANNYNTV	QLMAVMEHSY	300
Kidney bean	SBEI	APRIYEAHVG	MSSESPEPRINS	YREFADEILP	RIRANNYNTV	QLMAGMEHSY	307
Mungbean	SBEI	APRIYEAHVG	MSSESPEPRINS	YREFADEILP	RIRANNYNTV	QLMAVMEHSY	307
Pea	SBEII	APRIYEAHVG	MSSESPEPRINS	YREFADDVLP	RIRENNYNTV	QLMAVMEHSY	294
Consensus		--RIYE-H-G	MS---P----	Y--F-D--LP	RI----YN-V	Q-MA--EH-Y	
		<-β1->		<---α1-->		<-β2->	
Rice	RBE4	YASFGYHVTN	FFAPSSRFG	TPEDLKSLLD	KAHELGLLVL	MDIVHSHASN	425
Wheat	SBEII	YASFGYHVTN	FFAPSSRFG	TPEDLKSLLD	KAHELGLLVL	MDIVHSHASN	408
Maize	SBEII	YGSFGYHVTN	FFAPSSRFG	TPEDLKSLLD	KAHELGLLVL	MDVVHSHASN	384
Kidney bean	SBEII	YASFGYHVTN	FFAPSSRFG	TPEDLKSLLD	KAHELGLLVL	MDIVHSHASN	430
Mungbean	SBEII	YASFGYHVTN	FFAPSSRFG	TPEDLKSLLD	KAHELGLLVL	MDIVHSHASN	415
Pea	SBEI	YASFGYHVTN	FFAPSSRFG	TPEDLKSLLD	KAHELGLLVL	MDIVHSHASN	431
Arabidopsis thaliana	SBE2-2	YASFGYHVTN	FFAPSSRCG	TPEDLKSLLD	KAHELGLLVL	MDIVHSHASN	388
Arabidopsis thaliana	SBE2-1	YASFGYHVTN	FFAPSSRFG	TPEDLKSLLD	KAHELGLLVL	MDIVHSHASN	423
Rice	RBE1	YASFGYHVTN	FFAVSSRSRSG	TPEDLKYLVD	KAHSLGLRVL	MDVVHSHASN	343
Wheat	SBEI	YASFGYHVTN	FFAVSSRSRSG	TPEDLKYLVD	KAHSLGLRVL	MDVVHSHASN	350
Maize	SBEI	YASFGYHVTN	FFAVSSRSRSG	TPEDLKYLVD	KAHSLGLRVL	MDVVHSHASN	349
Kidney bean	SBEI	YASFGYHVTN	FFAVSSRSRSG	TPEDLKYLVD	KAHSLGLQVL	MDVIHSHASN	356
Mungbean	SBEI	YASFGYHVTN	FFAVSSRSRSG	TPEDLKYLVD	KAHSLGLQVL	MDVIHSHASN	356
Pea	SBEII	YASFWYHVTK	FFAVSSRSRSG	SPEDLKYLVD	KAHSLGLNVL	MDVIHSHASN	344
Consensus		Y-SF-YHVT-	-F-A-SSR-G	-P--LK---D	-AH-LGL-VL	MD--HSH-S-	
				<-----α2----->		<-β3->	
Rice	RBE4	NLDGLNGFD	...GTDTHYF	HGSPRGHWM	WDSRLFNYGS	WEVLRFLLSN	472
Wheat	SBEII	NLDGLNGFD	...GTDTHYF	HGSPRGHWM	WDSRLFNYGS	WEVLRFLLSN	455
Maize	SBEII	NLDGLNGFD	...GTDTHYF	HGSPRGHWM	WDSRLFNYGN	WEVLRFLLSN	431
Kidney bean	SBEII	NLDGLNMF	...GTDGHYF	HGSPRGYHM	WDSRLFNYGS	WEVLRFLLSN	477
Mungbean	SBEII	NLDGLNMF	...GTDGHYF	HGSPRGYHM	WDSRLFNYGS	WEVLRFLLSN	462
Pea	SBEI	NLDGLNMF	...GTDGHYF	HGSPRGYHM	WDSRLFNYGS	WEVLRFLLSN	478
Arabidopsis thaliana	SBE2-2	NLDGLNMF	...GTDGHYF	HGSPRGYHM	WDSRLFNYGS	WEVLRFLLSN	435
Arabidopsis thaliana	SBE2-1	NLDGLDMF	...GTDGQYF	HGSPRGYHM	WDSRLFNYGS	WEVLRFLLSN	470
Rice	RBE1	NVDGLNGYD	VGQNTHESYF	HTGDRGYHKL	WDSRLFNYAN	WEVLRFLLSN	393
Wheat	SBEI	NMTDGLNGYD	VGQNTQESYF	HTGDRGYHKL	WDSRLFNYAN	WEVLRFLLSN	400
Maize	SBEI	NVDGLNGYD	VGQSTQESYF	HAGDRGYHKL	WDSRLFNYAN	WEVLRFLLSN	399
Kidney bean	SBEI	NITDGLNGFD	VGQTSQDSYF	HTGDRGYHKL	WDSRLFNYAN	WEVLRFLLSN	406
Mungbean	SBEI	NITDGLNGFD	VGQTSQDSYF	HAGDRGYHKL	WDSRLFNYAN	WEVLRFLLSN	406
Pea	SBEII	NVDGLNGFD	VGQSSQDSYF	HAGDRGYHKL	WDSRLFNYAN	WK.SSFLLSN	393
Consensus		N--DGL---D	-----YF	H-G-RG-H--	WDSRLFNY--	W-----LLSN	
						<--α3->	

Rice	RBE4	ARWWLEEYKF	DGFRFDGVT	MMYTHHGLQV	AFTGNYGEYF	GFATDVDAVV	522
Wheat	SBEII	ARWWLEEYKF	DGFRFDGVT	MMYTHHGLQM	TFTGNYGEYF	GFATDVDAVV	505
Maize	SBEII	ARWWLEEYKF	DGFRFDGVT	MMYTHHGLQV	TFTGNFNEYF	GFATDVDAVV	481
Kidney bean	SBEII	ARWWLDEYKF	DGFRFDGVT	MMYTHHGLQV	AFTGNYSEYF	GLATDVDAVV	527
Mungbean	SBEII	ARWWLDEYKF	DGFRFDGVT	MMYTHHGLQV	AFTGNYSEYF	GMATDVDAVV	512
Pea	SBEI	ARWWLDEYKF	DGFRFDGVT	MMYTHHGLQV	SFTGNYSEYF	GLATDVDAVV	528
Arabidopsis thaliana	SBE2-2	ARWWLEEYKF	DGFRFDGVT	MMYTHHGLSV	GFTGNYTEYF	GLETDVDAVV	485
Arabidopsis thaliana	SBE2-1	ARWWLEEYKF	DGFRFDGVT	MMYTHHGLQV	EFTGNYNEYF	GYSTDVDAVV	520
Rice	RBEI	LRYYMDEFMF	DGFRFDGVT	MLYHHHGINK	GFTGNYKEYF	SLDTDVDAIV	443
Wheat	SBEI	LRYYMDEFMF	DGFRFDGVT	MLYNHHRGINM	SPAGNYKEYF	GLDIDVDAVV	450
Maize	SBEI	LRYYLDEFMF	DGFRFDGVT	MLYHHHGINV	GFTGNYQYEF	SLDTAVDAVV	449
Kidney bean	SBEI	LRWWLEEFKF	DGFRFDGITS	MLYHHHGINI	AFTGDYNEYF	SEATDVDAVV	456
Mungbean	SBEI	LRWWLEEFKF	DGFRFDGITS	MLYHHHGINI	AFTGDYNEYF	SEATDVDAVV	456
Pea	SBEII	LRWWLEEYKF	DGFRFDGVT	MLYHHHGINM	AFTGDYNEYF	SEETDVDAVV	443
Consensus		-R-W--E--F	DGFRFDG-TS	M-Y-HHG---	-F-G---EYF	---T-V-A--	
			<β4>			<---α4-	
Rice	RBE4	YLMVLVNDLIH	GLYPEAVAIG	EDVSGMPTFC	IPVQDGGVGF	DYRLHMAVDP	572
Wheat	SBEII	YLMVLVNDLIH	GLHPDAVSIG	EDVSGMPTFC	IPVQDGGVGL	DYRLHMAVAD	555
Maize	SBEII	YLMVLVNDLIH	GLYPEAVTIG	EDVSGMPTFA	LPVHDGGVGF	DYRHMMAVAD	531
Kidney bean	SBEII	YLMVLANDLIH	GLFPEAVTIG	EDVSGMPTFC	LPTQDGGVGF	DYRLQMAIAD	577
Mungbean	SBEII	YLMVLANDLIH	GLFPEAVTIG	EDVSGMPTFC	LPTQDGGVGF	DYRLQMAIAD	562
Pea	SBEI	YMLLVNDLIH	GLFPEAVSIG	EDVSGMPTFC	LPTQDGGIGF	DYRLHMAVAD	578
Arabidopsis thaliana	SBE2-2	YLMVLVNDMIH	GLYPEAITVG	EDVSGMPTFC	IPVQDGGVGF	DYRLHMAIAD	535
Arabidopsis thaliana	SBE2-1	YLMVLVNDLIH	GLYPEAIVVG	EDVSGMFAFC	VPVEDGGVGF	DYRLHMAVAD	570
Rice	RBEI	YMLLANHLMH	KLLPEATIVA	EDVSGMPVLC	RPVDEGGVGF	DYRLAMAIPD	493
Wheat	SBEI	YMLLANHLMH	KILPEATVVA	EDVSGMPVLC	RSVDEGGVGF	DYRLAMAIPD	500
Maize	SBEI	YMLLANHLMH	KLLPEATVVA	EDVSGMPVLC	RPVDEGGVGF	DYRLAMAIPD	499
Kidney bean	SBEI	YMLLANCLIH	SILPDAIVIA	EDVSGMPGIG	HQVSGGGIGF	DYRLAMAIPD	506
Mungbean	SBEI	YMLLANSLIH	SILPDAIVIA	EDVSGMPGIG	QQVSDGGIGF	DYRLAMAIPD	506
Pea	SBEII	YMLLANSLVH	DILPDAIDIA	EDVSGMPGLG	RPVSEVGGIGF	DYRLAMAIPD	493
Consensus		Y-ML-N---H	---P-A---	EDVSGMP---	-----G-G-	--R--MA--D	
		->	<-β5-->	<---α5-->	<-β6-->	<α0	
Rice	RBE4	KWIELLK.QS	DEYWKMGDIV	HILTNRWRSE	KCVTYAESHD	QALVGDKTIA	621
Wheat	SBEII	KWIELLK.QS	DESWKMGDIV	HILTNRWRLE	KCVTYAESHD	QALVGDKTIA	604
Maize	SBEII	KWIDLLK.QS	DETWKMGDIV	HILTNRWRLE	KCVTYAESHD	QALVGDKTIA	580
Kidney bean	SBEII	KWIEILK.KQ	DEDWKMGDIV	HILTNRWRLE	KCVAYAESH	QALVGDKTIA	626
Mungbean	SBEII	KWIEILK.KQ	DEDWKMGDIV	HILTNRWRLE	KCVAYAESH	QALVGDKTIA	611
Pea	SBEI	KWIEILK.KQ	DEDRMGDIV	HILTNRWRLE	KCVVYAESH	QALVGDKTIA	627
Arabidopsis thaliana	SBE2-2	KWIEMLK.KR	DEDWQMGDI	YLTNRWRSE	KCISYAESH	QALVGDKTIA	584
Arabidopsis thaliana	SBE2-1	KWIEILK.KR	DEDWQMGDI	FTLTNRWRGE	KCVVYAESH	QALVGDKTIA	619
Rice	RBEI	RWIDYLNKKE	DRKWSMSEIV	QTLNRRYTE	KCIAYAESH	QSIYGDKTIA	543
Wheat	SBEI	RWIDYLNKND	DLEWSMSAIA	HILTNRRYTE	KCIAYAESH	QSIYGDKTIA	550
Maize	SBEI	RWIDYLNKND	DSEWSMGEIA	HILTNRRYTE	KCIAYAESH	QSIYGDKTIA	549
Kidney bean	SBEI	KWIDYLNKKN	EYSWSMKEIS	WSLTNRRYTE	KCVSYAESH	QAIYGDKTVA	556
Mungbean	SBEI	KWIDYLNKKN	EYTSWSMKEIS	WSLTNRRYTE	KCVSYAESH	QAIYGDKTVA	556
Pea	SBEII	KWIDYLNKKN	DSEWSMKEIS	LNLTNRRYTE	KCVSYAESH	QSIYGDKTIA	543
Consensus		-WI--LK---	---W---I-	--LTNR--E	KC--YAESH	Q--VGDKT-A	
		----->	<---α6-->	<---β7-->	<---α7		
Rice	RBE4	FWLMDKDMYD	FMALDRPSTP	RIDRGIALHK	MIRLVTMGLG	GEGYLNFMGN	671
Wheat	SBEII	FWLMDKDMYD	FMALDRPSTP	RIDRGIALHK	MIRLVTMGLG	GEGYLNFMGN	654
Maize	SBEII	FWLMDKDMYD	FMALDRPSTP	TIDRGIALHK	MIRLITMGLG	GEGYLNFMGN	630
Kidney bean	SBEII	FWLMDKDMYD	FMSLDRPATP	RIDRGIALHK	MIRLITMGLG	GEGYLNFMGN	676
Mungbean	SBEII	FWLMDKDMYD	FMALDRPSTP	RIDRGIALHK	MIRLITMGLG	GEGYLNFMGN	661
Pea	SBEI	FWLMDKDMYD	FMALDRPSTP	LIDRGIALHK	MIRLITMGLG	GEGYLNFMGN	677
Arabidopsis thaliana	SBE2-2	FWLMDKDMYD	FMAVDRPSTP	LIDRGIALHK	MIRLITMGLG	GEGYLNFMGN	634
Arabidopsis thaliana	SBE2-1	FWLMDKDMYD	FMAVDRQATP	RVDRGIALHK	MIRLITMGLG	GEGYLNFMGN	669
Rice	RBEI	FLLMDKEMYT	GMSDLQPASP	TINRGIALQK	MIHFITMALG	GDGYLNFMGN	593
Wheat	SBEI	FLLMDKEMYT	GMSDLQPASP	TIDRGIALQK	MIHFITMALG	GDGYLNFMGN	600
Maize	SBEI	FLLMDKEMYT	GMSDLQPASP	TIDRGIALQK	MIHFITMALG	GDGYLNFMGN	599
Kidney bean	SBEI	FLLMDEEMYS	GMSCLVDASP	IVERGIALQK	MIHFITMALG	GEGYLNFMGN	606
Mungbean	SBEI	FLLMDEEMYS	GMSCLVDASP	IVERGIALQK	MIHFITMALG	GEGYLNFMGN	606
Pea	SBEII	FLLMDEEMYS	SMSCLTMLS	TIERGISLHK	MIHFITLALG	GEGYLNFMGN	593
Consensus		F-LMD--MY-	-M-----P	---RGI-L-K	MI---T--LG	G-GYLNFMGN	
		---->	<-β8>				
Rice	RBE4	EFCHPEWIDF	PRGQPQLPNC	SVLPGNNSYF	DKCR.RRFDL	GDADYLYRYG	720
Wheat	SBEII	EFCHPEWIDF	PRGQPQLPTC	KVLPGNNSYF	DKCR.RRFDL	GDADYLYRYG	703
Maize	SBEII	EFCHPEWIDF	PRGQPQLPSC	KFIPGNNSYF	DKCR.RRFDL	GDADYLYRYG	679
Kidney bean	SBEII	EFCHPEWIDF	PRGEQQLPNC	SVIPGNNSYF	DKCR.RRFDL	GDADYLYRYG	725
Mungbean	SBEII	EFCHPEWIDF	PRGEQQLPNC	SVIPGNNSYF	DKCR.RRFDL	GDADYLYRYG	710
Pea	SBEI	EFCHPEWIDF	PRGEQQLPNC	KIVPGNNSYF	DKCR.RRFDL	GDADYLYRYG	726
Arabidopsis thaliana	SBE2-2	EFCHPEWIDF	PRGEQQLSDG	SVIPGNNSYF	DKCR.RRFDL	GDADYLYRYG	683
Arabidopsis thaliana	SBE2-1	EFCHPEWIDF	PRTDQHLPDG	RVIAGNNGSY	DKCR.RRFDL	GDADYLYRYG	718
Rice	RBEI	EFCHPEWIDF	PR.....	EGNWSY	DKCR.RQWSL	VDTDHLYRYK	631
Wheat	SBEI	EFCHPEWIDF	PR.....	EGNWSY	DKCR.RQWSL	SDTDHLYRYK	638
Maize	SBEI	EFCHPEWIDF	PR.....	EGNWSY	DKCR.RQWSL	VDTDHLYRYK	637
Kidney bean	SBEI	EFCHPEWIDF	PR.....	EGNWSY	EKCR.RQWNL	VDTDHLYRYK	644
Mungbean	SBEI	EFCHPEWIDF	PR.....	EGNWSY	EKCR.RQWNL	VDTDHLYRYK	644
Pea	SBEII	EFCHPEWIDF	PR.....	EGNWSY	EKCR.LTQWNL	VDTDHLYRYK	632
Consensus		EFCHPEWIDF	PR-----	---GN--S-	-KCR-----L	-D---LRY--	
						<---α8-	

Rice RBE4	MQEFDQAMQH	LEEKYGFMTS	EHQYISRKHE	EDKVIIFERG	DLVVFVNFHW	770	
Wheat SBEII	MQEFDQAMQH	LEEKYGFMTS	EHQYISRKHE	EDKVIIFERG	DLVVFVNFHW	753	
Maize SBEII	MQEFDQAMQH	LEQKYEFMTS	DHQYISRKHE	EDKVIIFERK	DLVVFVNFHC	729	
Kidney bean SBEII	MQEFDQAMQH	LEEKFGFMTI	EHQYISRKNE	GDKVIIFERG	NLVVFVNFHW	775	
Mungbean SBEII	MQEFDQAMQH	LEEKFGFMTA	EHQYISRKNE	GDKVIIFERG	NLVVFVNFHW	760	
Pea SBEI	MQEFDQAMQH	LEERYGFMTS	EHQYISRKNE	GDRVIIFERD	NLVVFVNFHW	776	
Arabidopsis thaliana SBE2-2	LQEFDAQAMQH	LEENYGFMTS	EHQYISRKDE	ADRVIVFERG	DLVVFVNFHW	733	
Arabidopsis thaliana SBE2-1	LQEFDRAMQN	LEETYGFMTS	EHQYISRKDE	GDRVIIVFERG	NLVVFVNFHW	768	
Rice RBEL	MNAFDQAMNA	LEEEFSFLSS	SKQIVSDMNE	KDKVIIVFERG	DLVVFVNFHP	681	
Wheat SBEI	MNAFDQAMNA	LDDKFSFLSS	SKQIVSDMNE	EKKIIVFERG	DLVVFVNFHP	688	
Maize SBEI	MNAFDQAMNA	LDERFSFLSS	SKQIVSDMND	EKVIIVFERG	DLVVFVNFHP	687	
Kidney bean SBEI	MNAFDQAMNL	LDDKFSFLKS	TRQIVSSAHD	EDKVIIVFERG	DLIFVFNHP	694	
Mungbean SBEI	MNAFDQAMNL	LDDKFSFLAS	SKQIVSSADD	EDKVIIVFERG	DLIFVFNHP	694	
Pea SBEII	MNAFDQAMNL	LDDKFSILAS	TRQIVSSTNN	EDKVIIVFERG	DLVVFVNFHP	682	
Consensus	---FD-AM--	L-----	--Q--S----	----I-FE--	-L-FVFNFH-		
----->							
Rice RBE4	SNSYFDYRVG	CLKPGKYKIV	LSDDDGLEGG	FSRLDHD...	.AEYFTA...	813	
Wheat SBEII	SNSYFDYRVG	CSRPGKYKVA	LSDDDALEGG	FSRLDHD...	.VDYFTT...	796	
Maize SBEII	NNSYFDYRIG	CRKPGYKVVV	LSDDAGLEGG	FSRIHHA...	.AEHFTA...	772	
Kidney bean SBEII	NNSYSDYRVG	CATPGKYKIV	LSDDDALEGG	FNRLNHS...	.AEYFTS...	818	
Mungbean SBEII	HNSYSDYRVG	CSTPGKYKIV	LSDDDALEGG	FNRLNHS...	.AEYFTN...	803	
Pea SBEI	TNSYSDYKVG	CLKPGKYKIV	LSDDDTLEGG	FNRLNHT...	.AEYFTS...	819	
Arabidopsis thaliana SBE2-2	TSSYFDYRIG	CSKPGKYKIV	LSDDDPLEGG	FNRLDRK...	.AEYFTY...	776	
Arabidopsis thaliana SBE2-1	TNSYSDYRIG	CSVPGKYKIV	LSDDNSLEGG	FNRLDDS...	.AEFFTS...	811	
Rice RBEL	NKTYKGYKVG	CDLPGKYRVA	LSDDALVFGG	HGRVGH...	.VDHFTSPEG	727	
Wheat SBEI	SKTYDCYKVG	CDLPGKYKVA	LSDDALMFGG	HGRVAHD...	.NDHFTSPEG	734	
Maize SBEI	KKTYEGYKVG	CDLPGKYRVA	LSDDALVFGG	HGRVGH...	.VDHFTSPEG	733	
Kidney bean SBEI	ENTYEGYKVG	CDLPGKYRVA	LSDDAWKFGG	HGRVGH...	.GVDHFTSPEG	740	
Mungbean SBEI	ENTYEGYKVG	CDLPGKYRVA	LSDDAWEFGG	HGRVRSPLNW	G~~~~~	735	
Pea SBEII	ENTYEGYKVG	CDLPGKYRVA	LSDDATEFGG	HGRVGH...	.ADQFTSPEG	728	
Consensus	-----Y--G	C--PG-Y---	LSDS---FGG	--R-----	-----		
Rice RBE4DWP	NRPCSFVYT	PSRTAVVYAL	TED~~~~~	~~~~~	841	
Wheat SBEIIEHP	NRPRSFVYT	PSRTAVVYAL	TE~~~~~	~~~~~	823	
Maize SBEIIDCSH	NRPYSFVYT	PSRTCVMYAP	VE~~~~~	~~~~~	799	
Kidney bean SBEIIEGWY	DRPRFLIYA	PSRTAVVYAL	A.D.DLEP.A	FLD..EVEPA	858	
Mungbean SBEIIEGWY	DRPRFLIYA	PSRTAAVYAL	ADD.DLEP.A	LSD..EAEPV	844	
Pea SBEIEGWY	DRPRFLIYA	PSRTAVVYAL	ADGVESEPIE	LSDGVESEPI	864	
Arabidopsis thaliana SBE2-2DGLY	ERPCSFVYA	PCRTAVVYAL	ANHD~~~~~	~~~~~	805	
Arabidopsis thaliana SBE2-1DGRH	DRPCSFVYA	PCRTAVVYAA	VDDDDDDERS	SLVPIGLLPE	856	
Rice RBEL	MPGVPEITNFN	NRPNSFKVLS	PPRTCVMYR	VDEEDREELRR	GGAVASGKIV	777	
Wheat SBEI	VPGVPEITNFN	NRPNSFKVLS	PPRTCVMYR	VEEKAEKPKD	EGAASWGKAA	784	
Maize SBEI	VPGVPEITNFN	NRPNSFKVLS	PPRTCVMYR	VDEAGAGRRL	HAKAETGKTS	783	
Kidney bean SBEI	IPGVPEITNFN	NRPNSFKVLS	PPRTCVMYR	VDEENQEGSND	SLVG.LEDTF	789	
Mungbean SBEI	IPGVPEITNFN	NRPNSFKVLS	PPRTCVMYR	VDERQESNN	PNLGSVEETF	778	
Pea SBEII	IPGVPEITNFN	NRPNSFKVLS	PPRTCVMYR	VDERQESNN	PNLGSVEETF	778	
Consensus	-----	-----	-----	-----	-----		
Rice RBE4	~~~~~	~~~~~	~~~~~	~~~~~	~~~~~		
Wheat SBEII	~~~~~	~~~~~	~~~~~	~~~~~	~~~~~		
Maize SBEII	~~~~~	~~~~~	~~~~~	~~~~~	~~~~~		
Kidney bean SBEII	.LADEVEPEP	VDP~~~~~	~~~~~	~~~~~	~~~~~	870	
Mungbean SBEII	.LADEAEPEP	VDP*~~~~~	~~~~~	~~~~~	~~~~~	856	
Pea SBEI	ELSVGVESEP	IELSVEEAE	EPIERSVEEV	ESETTQQSVE	VESETTQQSV	EVESETTQ~	922
Arabidopsis thaliana SBE2-2	~~~~~	~~~~~	~~~~~	~~~~~	~~~~~		
Arabidopsis thaliana SBE2-1	DV~~~~~	~~~~~	~~~~~	~~~~~	~~~~~	858	
Rice RBEL	T.EYIDVEATSGET	ISGGWKGSEK	DDCGKKGKMF	VFRSSDEDCK	~~~~~	820
Wheat SBEI	P.GYIDVEAT	RVKDAADGEA	TSGSKKASTG	GDSSKKGINF	VFGSPDKDNK	~~~~~	833
Maize SBEI	PAESIDVKAS	RASSKEDKEA	TAG.....	...GKKGWKF	ARQPSDQDTK	~~~~~	823
Kidney bean SBEI	AAA.DVAKI	PDKSASIESE	YSNNLDGVKE	TSTSAQI.SV	ESEVINLDKV	GIVAASLDRE	I 847
Mungbean SBEI	AAA.DVAKI	PDKSASIESE	YSNNLDGVKE	TSTSAQI.SV	ESEVINLDKV	GIVAASLDRE	I 847
Pea SBEII	AAADTDVARI	PVSMSESDS	NLDRIEDNSE	DAVDAGILKV	EREVVGDN~	~~~~~	826
Consensus	~~~~~	~~~~~	~~~~~	~~~~~	~~~~~	~~~~~	

圖二十二、*VrsbeII*、*VrsbeI* 與各種植物 SBE 胺基酸序列之比對

Fig. 22 Alignment of the deduced amino acid sequences of *VrsbeII*, *VrsbeI* with those of various plants. Kidney bean SBEII (BAA82348), SBEI (BAA82349); Pea SBEI (CAA56319), SBEII (CAA56320); Rice RBE4 (BAA82828), RBE1 (BAA01584); Wheat SBEII (CAA72154), SBEI (AAG27622); Maize SBEII (AAA18571), SBEI (AAA82735); Arabidopsis thaliana SBE2-2 (CAB82930), Arabidopsis thaliana SBE2-1 (NP-181180)

表八、綠豆 SBE 與不同物種 SBE 胺基酸序列之同質性比較

Table 8 Comparison of the identity of the amino acid sequences derived from starch branching enzyme cDNAs of mungbean and various species.

Blast

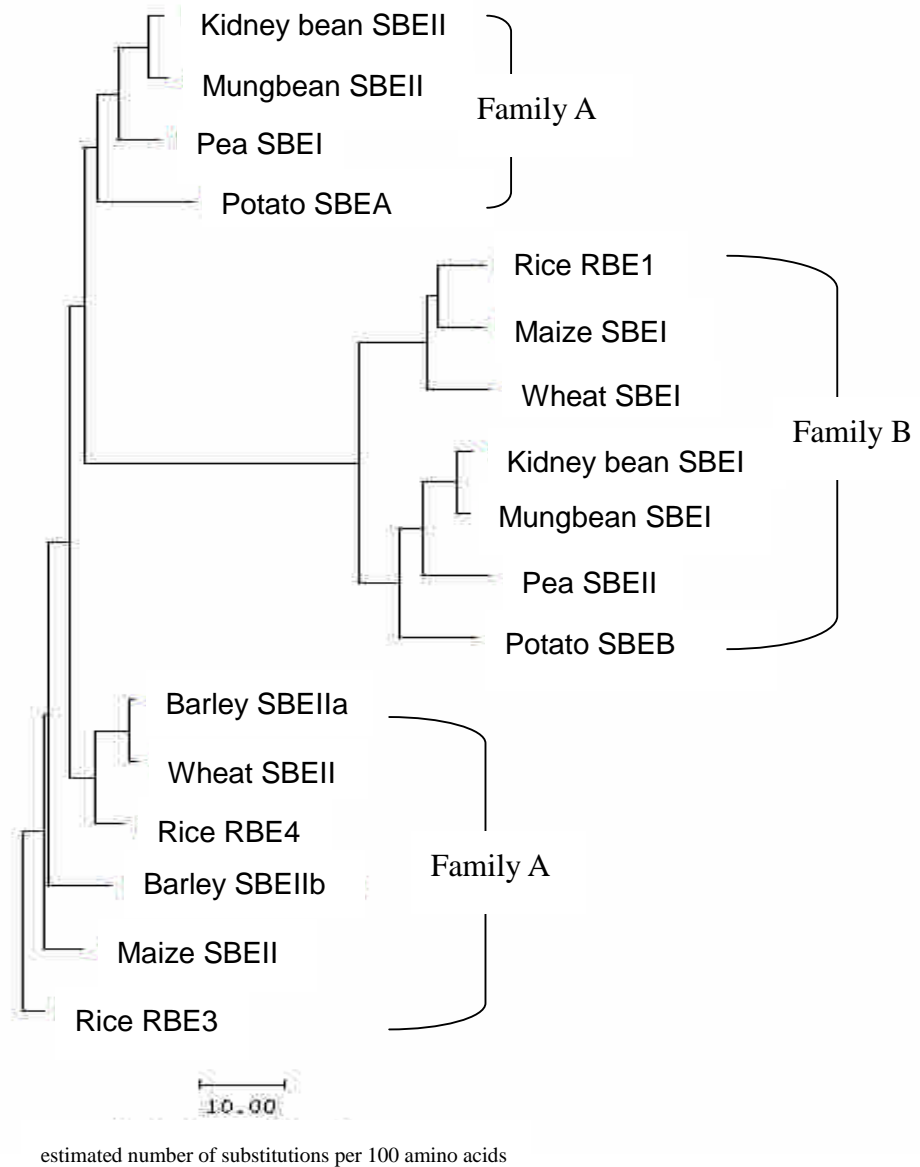
物種	綠豆 SBEII 856 a.a. %	綠豆 SBEI 735 a.a. %
Kidney bean SBEII 870 a.a. (BAA82348)	91	59
Kidney bean SBEI 847 a.a. (BAA82349)	57	95
Pea SBEI 922 a.a. (CAA56319)	81	57
Pea SBEII 826 a.a. (CAA56320)	55	83
Maize SBEII 799 a.a. (AAA18571)	80	60
Maize SBEI 823 a.a. (AAA82735)	54	74
Wheat SBEII 823 a.a. (CAA72154)	74	59
Wheat SBEI 833 a.a. (AAG27622)	57	71
Rice RBE4 841 a.a. (BAA82828)	76	59
Rice RBE1 820 a.a. (BAA01584)	58	73
Arabidopsis thaliana SBE2-2 805 a.a. (CAB82930)	76	58
Arabidopsis thaliana SBE2-1 858 a.a. (NP-181180)	73	58

	1	2	3	4	5	6	7	8	9	10	11	12	13	14	15	16	17	
	0.00	3.86	10.22	17.40	17.78	14.42	20.19	19.71	22.91	19.91	55.81	56.13	56.88	56.56	56.13	58.79	56.00	1 Kidney bean SBEII
		0.00	10.74	17.78	18.35	14.78	21.19	19.13	22.91	19.91	57.70	57.07	58.15	56.88	56.13	58.15	56.31	2 Mungbean SBEII
			0.00	15.63	15.81	14.33	19.59	19.06	20.44	18.87	59.85	59.52	60.31	59.98	59.19	60.97	59.06	3 Pea SBEI
				0.00	1.52	8.11	15.92	16.83	16.83	21.50	58.98	59.95	59.11	57.19	57.07	59.11	57.89	4 Barley SBEIIa
					0.00	7.94	15.36	16.83	16.64	21.90	59.63	60.28	59.44	57.51	57.38	59.44	58.21	5 Wheat_SBEII
						0.00	14.24	13.87	17.21	19.71	57.70	58.66	57.51	57.51	56.44	58.47	58.21	6 Rice RBE4
							0.00	9.93	12.24	23.44	57.78	58.10	58.23	55.36	54.00	58.56	57.84	7 Maize SBEII
								0.00	13.69	22.71	57.38	57.07	57.51	55.01	54.58	57.51	55.69	8 Rice RBE3
									0.00	26.88	58.98	59.30	59.76	56.25	55.81	57.51	57.89	9 Barley SBEIIb
										0.00	61.04	60.72	60.85	57.32	56.25	61.51	58.32	10 Potato SBEA
											0.00	14.12	11.09	29.72	30.34	30.39	27.23	11 Rice RBE1
												0.00	14.51	31.76	32.62	32.68	29.50	12 Wheat SBEI
													0.00	28.00	28.39	27.78	25.84	13 Maize SBEI
														0.00	3.24	13.80	18.12	14 Kidney bean SBEI
															0.00	13.42	18.48	15 Mungbean SBEI
																0.00	19.49	16 Pea SBEII
																	0.00	17 Potato SBEB

表九、根據 Distance program 分析 (Kimura protein-distance algorithm) 綠豆與不同物種之 SBE cDNA 演繹出之胺基酸序列間的演化相關性

Table 9. Distance between deduced amino acid sequences of plant SBE was determined by the program Distance (GCG) using the Kimura protein-distance algorithm.

Kidney bean SBEII (AB029548), SBEI (AB029549) ; Mungbean SBEII, SBEI ; Pea SBEI (X80009), SBEII(X80010) ; Barley SBEIIa (AF064560), SBEIIb (AF064561) ; Wheat SBEII (Y11282), SBEI (AF286318) ; Rice RBE4 (AB023498), RBE3 (D16201), _RBE1 (D10752) ; Maize SBEII (L08065), SBEI (U17897) ; Potato SBEA (AJ011888), SBEB(Y08786)



圖二十三、根據綠豆與不同物種之 SBE cDNA 演繹出之胺基酸序列所推測出之演化樹狀圖

Fig. 23 Dendrogram to illustrate the degree of relatedness between the plant SBE isoforms.

參考文獻

- 張敬宜 (2002) 綠豆澱粉分支酵素的鑑定。私立中國醫藥大學營養所碩士論文
- 吳昭慧和連大進 (1996) 綠豆。少量多樣化雜糧作物栽培手冊。臺灣省政府農林廳。
- 翁廷賜和賴森雄 (1992) 粉綠綠豆新品種台南五號之育成。行政院農業委員會台南區農業改良場 研究彙報第 28 號
- AVRDC 1975. Chemical analysis of mungbean seeds. Asian Vegetable Research and Development Center. Progress report, Shanhua, Taiwan; AVRDC.
- Bada, T., Kimura, K., Mizuno, K., Etoh, H., Ishida, Y., Shida, O. and Arai, Y. 1991. Sequence conservation of the catalytic regions of amylolytic enzymes in maize branching enzyme-I. *Biochem. Biophys. Res. Commun.* 181: 87-94.
- Baecker, P.A., Greenberg, E. and Preiss, J. 1986. Biosynthesis of bacterial glycogen. Primary structure of *Escherichia coli* 1,4- α -D-glucan: 1,4- α -D-glucan 6- α -D-(1, 4- α -D-glucano)-transferase as deduced from the nucleotide sequence of the *glg B* gene. *J. Biol. Chem.* 261: 8738-8743.
- Ball, S., Guan, H.P., James, M., Myers, A., Keeling, P., Mouille, G., Buleon, A., Colonna, P. and Preiss, J. 1996. From glycogen to amylopectin : a model for the biogenesis of the plant starch granule. *Cell* 86: 349-352.
- Bhattacharyya, M.K., Smith, A.M., Ellis, T.H.N., Hedley, C. and Martin, C. 1990. The wrinkled-seed character of pea described by mendel is caused by a

transposon-like insertion in a gene encoding starch-branching enzyme. *Cell* 60: 115-122.

Boyer, C.D. and Preiss, J. 1978a. Multiple forms of α 1-4 α D-glucan 6-glucosyl transferase from developing *Zea mays L.* kernels. *Carbohydr. Res.* 61: 321-324.

Boyer, C.D. and Preiss, J. 1978b. Multiple forms of starch branching enzyme of maize: Evidence for independent genetic control. *Biochem. Biophys. Res. Commun.* 80: 169-175.

Burton, R.H., Bewley, J.D., Smith, A.M., Bhattacharyya, M.K., Tatge, H., Ring, S., Bull, V., Hamilton, W.D.O. and Martin, C. 1995. Starch branching enzymes belonging to distinct enzyme families are differentially expressed during pea embryo development. *Plant J.* 7: 3-15.

Cao, H., James, M.G. and Myers, A.M. 2000. Purification and characterization of soluble starch synthases from maize endosperm. *Archives of Biochemistry and Biophysics.* 373:135-146.

Cao, H. and Preiss, J. 1996. Evidence for essential arginine residues at the active sites of maize branching enzymes. *J. Prot. Chem.* 15: 291-304.

Chen, X.H., Liu, Q.Q., Wu, H.K., Wang, Z.Y. and Gu, M.H. 2003. cDNA Cloning and Sequence Analysis of Rice Sbe1 and Sbe3 Genes. *Zhongguo Shuidao Kexue.* 17: 109-112.

Chenchik, A., Moqadam, F. and Siebert, P. 1996. A new method for full-length cDNA cloning by PCR. In: *A Laboratory Guide to RNA: Isolation, Analysis, and Synthesis.* edited by P.A. Krieg, pp. 273-321. Wiley-Liss, Inc.

Chou, P.Y. and Fasman, G.D. 1978. Prediction of the secondary structure of proteins from their amino acid sequence. *Adv. Enzymol.* 47: 45-148.

Cregg, J.M., Vedvick, T.S. and Raschke, W.C. 1993. *Bio/Technology.* 11: 905

Denyer, K., Sidebottom, C., Hylton, C.M. and Smith, A.M. 1993. Soluble

isoforms of starch synthase and starch-branching enzyme also occur within starch granules in developing pea embryos. *Plant J.* 4: 191-198.

Devereux, J., Haeberli, P. and Smithies, O. 1984. A comprehensive set of sequence analysis programs for the VAX. *Nucl. Acids Res.* 12: 387-395.

Emanuelsson, O., Nielsen, H., Brunak, S. and von Heijne, G. 2000. Predicting subcellular localization of proteins based on their N-terminal amino acid sequence. *J. Mol. Biol.* 300: 1005-1016.

Emes, M.J., Bowsher, C.G., Hedley, C., Burrell, M.M., Scrase-Field, E.S.F. and Tetlow, I.J. 2003. Starch synthesis and carbon partitioning in developing endosperm. *J. Exp. Bot.* 54 (382): 569-575.

Fisher, D.K., Boyer, C.D. and Hannah, L.C. 1993. Starch branching enzyme II from maize endosperm. *Plant Physiol.* 102: 1045-1046.

Fisher, D.K., Gao, M., Kim, K.N., Boyer, C.D. and Gultinan, M.J. 1996. Two closely related cDNAs encoding starch branching enzyme from *Arabidopsis thaliana*. *Plant Mol. Biol.* 30: 97-108.

Fisher, D.K., Kim, K.N., Gao, M., Boyer, C.D. and Gultinan, M.J. 1995. A cDNA encoding starch branching enzyme I from maize endosperm. *Plant Physiol.* 108: 1313-1314.

Gao, M., Fisher, D.K., Kim, K.N., Shannon, J.C. and Gultinan, M.J. 1996. Evolutionary conservation and expression patterns of maize starch branching enzyme I and IIb genes suggests isoform specialization. *Plant Mol. Biol.* 30: 1223-1232.

Gao, M., Fisher, D.K., Kim, K.N., Shannon, J.C. and Gultinan, M.J. 1997. Independent genetic control of maize starch-branching enzyme IIa and IIb. Isolation and characterization of a *sbe2a* cDNA. *Plant Physiol.* 114: 69-78.

Genschel, U., Abel, G., Lorz, H. and Lutticke, S. 2002. The sugary-type isoamylase in wheat: tissue distribution and subcellular localisation. *Planta* 214: 813-820.

- Guan, H.P. and Preiss, J. 1993. Differentiation of the properties of the branching isoenzymes from maize (*Zea mays*). *Plant Physiol.* 102: 1269-1273.
- Guan, H.P., Baba, T. and Preiss, J. 1994. Expression of branching enzyme II of maize endosperm in *Escherichia coli*. *Cell Mol. Biol.* 40: 981-988.
- Hamada, S., Ito, H., Hiraga, S., Inagaki, K., Nozaki, K., Isono, N., Yoshimoto, Y., Takeda, Y. and Matsui, H. 2002. Differential characteristics and subcellular localization of two starch-branching enzyme isoforms encoded by a single gene in *Phaseolus vulgaris* L. *J. Biol. Chem.* 277: 16538-16546.
- Hamada, S., Nozaki, K., Ito, H., Yoshimoto, Y., Yoshida, H., Hiraga, S., Onodera, S., Honma, M., Takeda, Y. and Matsui, H. 2001. Two starch-branching-enzyme isoforms occur in different fractions of developing seeds of kidney bean. *Biochem. J.* 359: 23-34.
- Hodge, J.E. and Osman, E.M. 1976. Carbohydrates. In "Food Chemistry" pp. 102-114. Fennema, O. R. Marcel Dekker Inc., New York.
- Hoover, R., Li, Y.X., Hynes, G. and Senanayake, N. 1997. Physicochemical characterization of mung bean starch. *Food Hydrocolloids.* 11: 401-408.
- Hoover, R. and Sosulski, F.W. 1991. Composition, structure, functionality, and chemical modification of legume starches: a review. *Can. J. Physiol. Pharmacol.* 69: 79-92.
- Jespersen, H.M., MacGregor, E.A., Henrissat, B., Sierks, M.R. and Svensson, B. 1993. Starch- and glycogen-debranching and branching enzymes: prediction of structural features of the catalytic (β/α)₈-barrel domain and evolutionary relationship to other amylolytic enzymes. *J. Protein Chem.* 12: 791-805.
- Jobling, S.A., Schwall, G.P., Westcott, R.J., Sidebottom, C.M., Debet, M., Gidley, M.J., Jeffcoat, R. and Safford, R. 1999. A minor form of starch branching enzyme in potato (*Solanum tuberosum* L.) tubers has a major effect on starch structure: cloning and characterisation of multiple forms of SBE A. *Plant J.* 18: 163-171.
- Kawasaki, T., Mizuno, K., Bada, T. and Shimada, H. 1993. Molecular analysis

of the gene encoding a rice starch branching enzyme. *Mol Gen Genet.* 237: 10-16.

Khoshnoodi, J., Blennow, A., Ek, B., Rask, L. and Larsson, H. 1996. The multiple forms of starch-branching enzyme I in *Solanum tuberosum*. *Eur. J. Biochem.* 242: 148-155.

Kiel, J.A.K.W., Vossen, J.P.M.J. and Venema, G. 1987. A general method for the construction of *Escherichia coli* mutants by homologous recombination and plasmid segregation. *Mol. Gen. Genet.* 207: 294-301.

Kimura, M. 1983. *The neutral theory of molecular evolution.* Cambridge University Press. Cambridge, UK.

Ko, Y.T., Chang, S.K., Chen, H.C. and Li, Y.C. 2004. GBSS activities on mungbean (*Vigna radiata L.*) starch granule and analysis of its total protein profiles. *臺灣農業化學與食品科學* 42(2): 132-139

Kossmann, J., Visser, R.G.F., Muller-Rober, B., Willmitzer, L. and Sonnewald, U. 1991. Cloning and expression analysis of a potato cDNA that encodes branching enzyme: evidence for co-expression of starch biosynthetic genes. *Mol Gen Genet.* 230: 39-44.

Kuriki, T., Guan, H., Sivak, M. and Preiss, J. 1996. Analysis of the active center of branching enzyme II from maize endosperm. *J. Protein Chem.* 15: 305-313.

Kuriki, T., Stewart, D.C. and Preiss, J. 1997. Construction of chimeric enzymes out of maize endosperm branching enzymes I and II: activity and properties. *J. Biol. Chem.* 272: 28999-29004.

Larsson, C.T., Hofvander, P., Khoshnoodi, J., Ek, B., Rask, L. and Larsson, H. 1996. Three isoforms of starch synthase and two isoforms of branching enzyme are present in potato tuber starch. *Plant Sci.* 117: 9-16.

Larsson, C.T., Khoshnoodi, J., Ek, B., Rask, L. and Larsson, H. 1998. Molecular cloning and characterization of starch-branching enzyme II from potato. *Plant Mol. Biol.* 37: 505-511.

- Li M. 2001. Research advance in chemical composition and pharmacological action of mung bean. 上海中醫藥雜誌 5: 47-49
- Li, C.Y., Chu, Y.L. and Chang, Y.H. 1987. Isolation and characterization of mungbean starch. In Mungbean, Proceedings of the second International Symposium. Bangkok, Thailand, 1987. Asian Vegetable Research and Development Center. p.528-535.
- Libessart, N. and Preiss, J. 1998. High-level expression of branching enzyme II from maize endosperm in *Escherichia coli*. Protein Expr. Purif. 14: 1-7.
- Martin, C. and Smith, A.M. 1995. Starch biosynthesis. Plant Cell 7: 971-985.
- McCue, K.F., Hurkman, W.J., Tanaka, C.K. and Anderson, O.D. 2002. Starch Branching Enzymes Sbe1 and Sbe2 from Wheat (*Triticum aestivum* cv. Cheyenne): Molecular Characterization, Developmental Expression, and Homolog Assignment by Differential PCR. Plant Mol. Biol. Rep. 20: 191-192.
- Mizuno, K., Kawasaki, T., Shimada, H., Satoh, H., Kobayashi, E., Okumura, S., Arai, Y. and Bada, T. 1993. Alteration of the structural properties of starch components by the lack of an isoform of starch branching enzyme in rice seeds. J. Biol. Chem. 286: 19084-19091.
- Mizuno, K., Kimura, K., Arai, Y., Kawasaki, T., Shimada, H. and Bada, T. 1992. Starch branching enzymes from immature rice seeds. J. Biol. Chem. 112: 643-651.
- Mizuno, K., Kobayashi, E., Tachibana, M., Kawasaki, T., Fujimura, T., Funane, K., Kobayashi, M. and Bada, T. 2001. Characterization of an isoform of rice starch branching enzyme, RBE4, in developing seeds. Plant Cell Physiol. 42: 349-357.
- Morell, M.K., Blennow, A., Kosar-Hashemi, B. and Samuel, M.S. 1997. Differential expression and properties of starch branching enzyme isoforms in developing wheat endosperm. Plant Physiol. 113: 201-208.
- Mutisya, J., Sathish, P., Sun, C., Andersson, L., Ahlandsberg, S., Baguma, Y., Palmqvist, S., Odhiambo, B., Per, A. and Jansson, C. 2003. Starch branching

enzymes in sorghum (*Sorghum bicolor*) and barley (*Hordeum vulgare*): Comparative analyses of enzyme structure and gene expression. *J. Plant Physiol.* 160: 921-930.

Myers, A.M., Morell, K.M., James, M.G. and Ball, S.G. 2000. Recent progress toward understanding biosynthesis of the amylopectin crystal. *Plant Physiol.* 122: 989-997.

Nair, R.B., Baga, M., Scoles, G.J., Kartha, K.K. and Chibbar, R.N. 1997. Isolation, characterization and expression analysis of a starch branching enzyme II cDNA from wheat. *Plant Sci.* 122: 153-163.

Nakamura, Y. 2002. Towards a better understanding of the metabolic system for amylopectin biosynthesis in plants: rice endosperm as a model tissue. *Plant Cell Physiol.* 43: 718-725.

Nakamura, Y. and Yamanouchi, H. 1992. Nucleotide sequence of a cDNA encoding starch-branching enzyme, or Q-enzyme I, from rice endosperm. *Plant Physiol.* 99: 1265-1266.

Nielsen, H., Engelbrecht, J., Brunak, S. and von Heijne, G. 1997. Identification of prokaryotic and eukaryotic signal peptides and prediction of their cleavage sites. *Protein Eng.* 10: 1-6.

Nozaki, K., Hamada, S., Nakamori, T., Ito, H., Sagisaka, S., Yoshida, H., Takeda, Y., Honma, M. and Matsui, H. 2001. Major isoforms of starch branching enzymes in premature seeds of kidney bean (*Phaseolus vulgaris L.*). *Biosci. Biotechnol. Biochem.* 65: 1141-1148.

Parent, S.A. and Bostian, K.A. 1996. *Yeasts*. pp.121. Academic Press, London

Poulsen, P. and Kreiberg, J.D. 1993. Starch branching enzyme cDNA from *Solanum tuberosum*. *Plant Physiol.* 102: 1053-1054.

Preiss, J. and Sivak, M.N. 1998. Biochemistry, molecular biology and regulation of starch synthesis. *Genet. Eng.* 20: 177-223.

Rahman, S., Abrahams, S., Abbott, D., Mukai, Y., Samuel, M., Morell, M. and Appels, R. 1997. A complex arrangement of genes at a starch branching

enzyme I locus in the D-genome donor of wheat. *Genome* 40 40: 465-474.

Rahman, S., Regina, A., Li, Z., Mukai, Y., Yamamoto, M., Kosar-Hashemi, B., Abrahams, S. and Morell, M.K. 2001. Comparison of starch-branching enzyme genes reveals evolutionary relationships among isoforms. Characterization of a gene for starch-branching enzyme IIa from the wheat D genome donor *Aegilops tauschii*. *Plant Physiol.* 125: 1314-1324.

Robin, J.P., Mercier, C., Charbonniere, R. and Guilbot, A. 1974. Lintnerized starches. Gel filtration and enzymatic studies of insoluble residues from prolonged acid treatment of potato starch. *Cereal Chem.* 51: 389-406.

Romanos, M.A. 1995. Advances in the use of *Pichia pastoris* for high-level gene expression. *Curr. Opin. Biotechnol.* 6: 527-533

Salehuzzaman, S.N.I.M., Jacobsen, E. and Visser, R.G.F. 1992. Cloning, partial sequencing and expression of a cDNA coding for branching enzyme in cassava. *Plant Mol. Biol.* 20: 809-819

Shirzadegan, M., Christie, P., and Seemann, J.R. 1991. An efficient method for isolation of RNA from tissue cultured plant cells. *Nucleic Acids Res.* 19: 6055

Sivak, M.N. and Preiss, J. 1998. Branching enzyme. *Adv. Food Nutr. Res.* 41: 89-106.

Smith, A.M. 1998. Major differences in isoforms of starch-branching enzyme between developing embryos of round- and wrinkled-seeded peas (*Pisum sativum L.*). *Planta* 175: 270-279.

Smith, A.M. 2001. The Biosynthesis of Starch Granules. *Biomacromolecules*. 2: 335-341.

Sun, C., Sathish, P., Ahlandsberg, S. and Jansson, C. 1998. The two genes encoding starch-branching enzymes IIa and IIb are differentially expressed in barley. *Plant Physiol.* 118: 37-49.

Svensson, B. 1994. Protein engineering in the α -amylase family: catalytic mechanism, substrate specificity, and stability. *Plant Mol. Biol.* 25: 141-157.

Takeda, Y., Guan, H.P. and Preiss, J. 1993. Branching of amylose by the

branching isoenzymes of maize endosperm. *Carbohydr. Res.* 240: 253-263.

Tsay, J.S., Kuo, W.L. and Kuo, C.G. 1983. Enzyme involved in starch synthesis in the developing mung bean seed. *Phytochemistry* 22: 1573-1576.

Um, S.H., Song, Y.O. and Cheigh, H.S. 1990. Compositions of lipid class and fatty acids in lipids extracted from mung bean starch. *Journal of the Korean Society of Food and Nutrition.* 19: 87-93.

Visser, R.G.F. and Jacobson, E. 1993. Towards modifying plants for altered starch content and composition. *TIBTECH.* 11: 63-68.

Wang, X. and Young, W.S. 3rd. 2003. Rapid amplification of cDNA ends. *Methods Mol. Biol.* 226: 105-115.

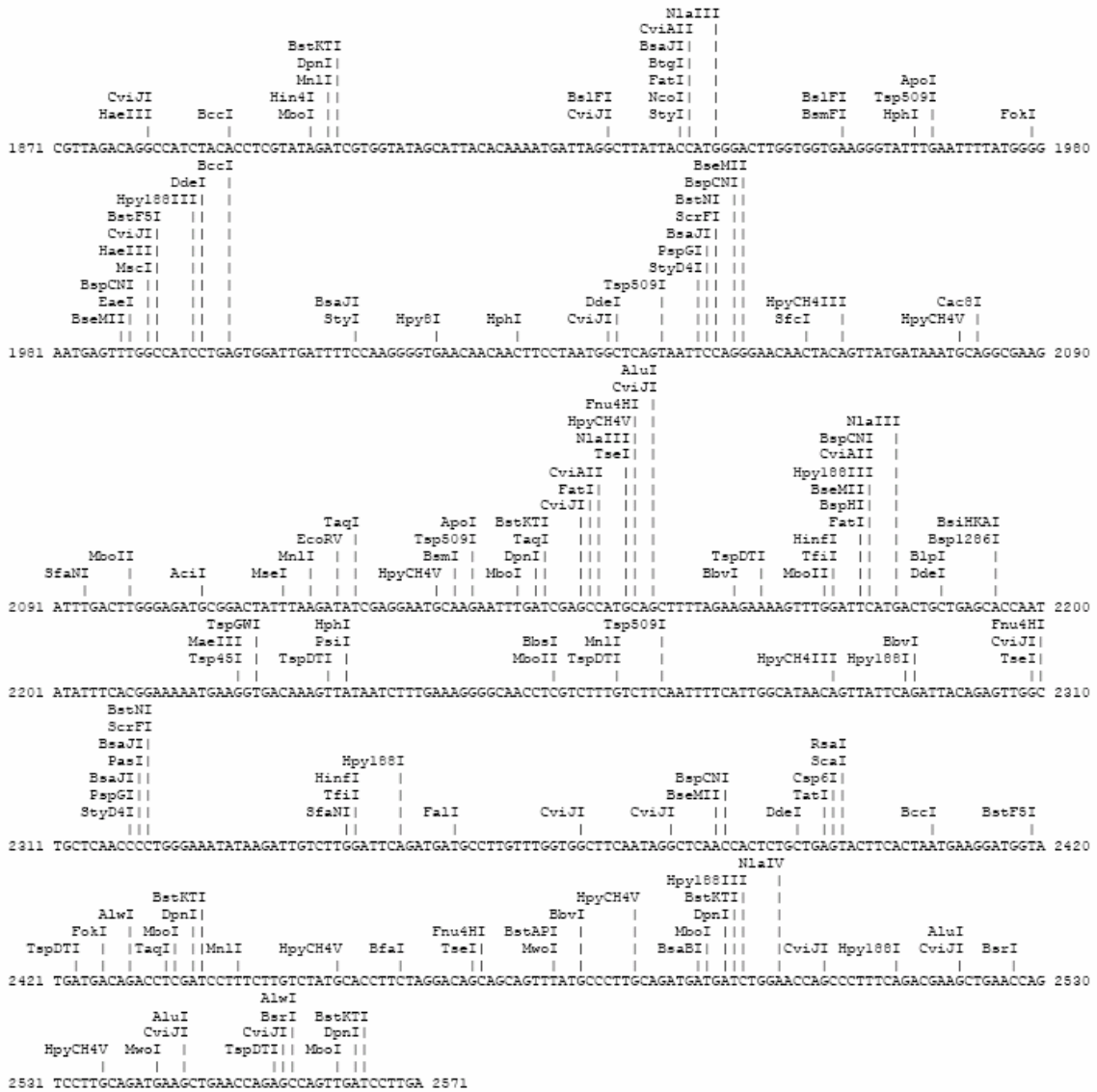
Yamanouchi, H. and Nakamura, Y. 1992. Organ specificity of isoforms of starch branching enzyme (Q-enzyme) in rice. *Plant Cell Physiol.* 33: 985-991.

Zhu, J.H., Haase, N.U. and Kempf, W. 1990. *Starke* 42: 1-4.

附錄一

BglI
 MwoI AsiSI
 BsaJI BsiEI
 CviJI BstKII
 BsmAI PvuII
 BsmBI DpnI
 TaiI HgaI Fnu4HI EovI Hpy188I
 Hpy188III HpaII EgmI TspGWII MnlI MboII BsmAI DdeI
 Hpy8I AvaI TaqI BsaWI Eco57MI HpyCH4IV BspI MboII TseI BsmBI FpiI
 1 ATGGTTTACACCATCTCGGAATTCGATTCCGGTGTCTCCGCTGACGTCTCCAGCCTCCGTGGCGATCGCAGGGCAGCGTCTCTCTCTGTTTTCTCAGAAAGAA 110
 EboI MnlI
 MboII HinfI Hpy188III
 HinfI BstKII
 TfiI FokI
 Hpy188I Hpy188III BpuEI
 BceAI HinfI HinfI Hpy188I DpnI
 BseMII MboII TfiI MfeI HinfI MboI
 BspCNI PpiI HinfI Tsp509I TfiI Hpy188III
 XmnI FalI Hpy188III HpyCH4V HinfI SmlI
 111 CGACTTCTCGGAAATCCTTGGCGTAAATCTTCTCACGATTCTGATCCCGCTTCTGCARTTGTGCAATCTGATAGGTTCTTATTCTCCAGATCAAGATRACT 220
 MnlI Tsp509I
 Hpy188I BseMII
 DdeI BspCNI
 BstKII DpnI MnlI BstF5I
 BstF5I MboI SfaNI HpyCH4V
 HpyCH4V SfaNI PciI MnlI FokI MseI MnlI MboII
 221 CTGCATCTTGACAGATCAACTTGAACTCCTGTTATAACCTCAGAGGATGCACATAATTTAGAGGATTAACAATGGGAGATGAGGATAAATACAGCATTAGTAGCA 330
 BstNI ScaFI
 BclI PspGI
 MaeIII AluI AluI TspDTI SmaI
 BsrI CviJI HphI CviJI DdeI StyD4I
 331 GATACAGTTACAGACAGATTGAAGGTGAGCTAGGTTCTGTGTTCTGTGGCAAGAAAGTAAATATACCAAGTGAAGCTAARACCTAAGACCATTTCCCGACCTGG 440
 HpyCH4III
 EmtI
 CviJI
 CacSI
 BstKII BfaI AseI
 DpnI BccII Hpy188III MseI
 BclI AlwI MboII NheI Tsp6WI SfaNI Hpy188I HpyCH4V Tsp509I TspDTI
 441 TGCTGGACAGAAATATATGAGATTGATCCATCTTGTGCTAGCCACCGTGGACATCTTGAATTCGGTTCCGGACRATAAAGATTGCRAGATGAATTAATAAGTATG 550
 DdeI AluI
 CviJI
 MwoI
 BstNI
 ScaFI SpmI
 BsmAI
 Bsp1286I Eco57MI
 PspGI Tsp509I
 StyD4I Fnu4HI
 NlaIV TseI AseI
 BanI MwoI MseI
 551 AAGGTGCTCGGATACATTTCTCGTGGCTATGAAATTTGGCTTATACGACGTCTACAGGCCTTACTTACAGAGAGTGGGCACCTGGAGCTAGTCAGCAGATTA 660
 ApoI Tsp509I
 EcoRI
 MfeI MlyI Hpy188I HphI Hpy8I CepCI
 BbvI Tsp509I HpyCH4V FleI HinfI CepCI BccI BstF5I FokI
 661 ATTGGAGACTTCAACAATTTGAATTCAATGCAGATGTATGACTCGGATGAGTTTGGTGTGGGAGATTTTTTGCCAAACAAATGGTATGGTTCCACCAATTC 770
 NlaIII
 CviAII EgmI
 FatI Eco57MI
 AciI HinfI
 BciVI TfiI
 BstKII TaqI
 DpnI HinfI
 HinfI MlyI
 BstVI HinfI
 MboII MnlI
 Hpy188III MlyI
 NlaIII AlwI FleI BstKII RsaI PspGI
 CviAII AvaI BstKII Cep6I StyD4I AciI
 FatI MnlI HinfI HinfI DpnI BstKII NlaIV BclI
 Hpy188III HinfI MboII AlwI TatI CviJI HphI
 771 TCATGGTCTCGGGTCAAGATCCGCATGGACTACCTCTGGAGTCAAGGACTCGATTCTCGTGGATCAAGTTTTCTGTACAGGCTCTCGGTAATTCATATAGCG 880
 MlyI
 NlaIII
 NspI
 FleI
 CviAII
 AflIII
 FatI HpaII
 MnlI HpaII
 BstKII BsaI MaeIII Hpy188III
 DpnI BsmAI MseI Tsp45I BsmAI
 AlwI MboII BclI FokI BstF5I CviJI DdeI HinfI PciI BspEI
 881 GAATATACTATGATCCCCAGAGAGGAAAAATATGTTTCAACATCCACAGCCAAAGAGACCAAATCACTTAGAATATACGAGTCACATGTTGGAATGAGTAGTCCG 990

Hpy188III
CviJI
HaeIII
MscI
EaeI
AluI
CviJI
HindIII
MnlI
MseI
CviJI
Hpy188III
PflMI
BstKII
DpnI
CviJI
NlaIV
MboI
Tsp509I
NdeI
RsaI
Csp6I
TatI
991 GAGCCAATGATCAACACATATGCCAATTTTtagagatgagtactacctgacattAAAAAGCTTGGCTACATGCTGTCCAGATTATGGCCATTCAAGAACATTCTTATTA 1100
ApoI
Tsp509I
NlaIII
MaeIII
Tsp48I
CviAII
FaeI
KpnI
NlaIV
RsaI
Csp6I
Acc65I
BanI
BstI
AluI
CviJI
Cac8I
Tsp509I
NlaIII
MaeIII
Tsp48I
CviAII
FaeI
KpnI
NlaIV
RsaI
Csp6I
Fnu4HI
EpmI
Eco57MI
TseI
Hpy188III
MnlI
BfaI
HpyCH4V
HbvI
MseI
Hpy188I
CviJI
BfaI
NlaIII
NspI
BccI
FokI
CviAII
AflIII
BstFSI
CviJI
FaeI
FciI
FokI
BstFSI
1101 TGCCAGCTTTGGGTACCATGTCACAAATTTCTTGGCACCTAGCAGCCGATTGGGAAGCTCAGAGGAACTTAAATCTCTGTATAGACAAAAGCCCATGAAGTCTGCTG 1210
BccI
MaeIII
Tsp48I
BstNI
ScrFI
BsaJI
PspGI
StyD4I
BstFSI
Hpy8I
NlaIII
RsaI
CviAII
Csp6I
FaeI
BstFSI
CviJI
FaeI
Hpy188I
TatI
MnlI
HaeIII
FciI
FokI
BstFSI
1211 TTCTGATGGATATTGTACACAGCCATGCCTCAAAATAATACTTTGGATGGCCTAAACATGTTTGATGGAAGTACTGATAGTACTTCCATCCTGGGTACAGGGGTATCAT 1320
DdeI
AluI
RsaI
HindII
BseVI
ScaI
TfiI
CviJI
Csp6I
BstFSI
FokI
Tsp509I
BaeI
TatI
HpyCH4V
BccI
CviJI
BstFSI
FokI
TspDTI
BccI
TaqI
1321 TGGATGGGGATTCTCGTCTTTTTCAATTTGGAAGCTGGGAAGTACTAAGGTATCTACTTTTCAATGCAAGATGGTGGGTGGATGAATACAAAGTTGACGGATTTCGATT 1430
Hin4I
Hpy8I
RsaI
NlaIII
HpyCH4V
HpyCH4III
ScaI
BstI
Csp6I
Tsp509I
TspRI
TatI
SfaNI
SfaNI
Hpy8I
MaeIII
BstGI
BspMI
BsmI
TspRI
TatI
1431 TGATGGTGTATACATCAATGATGTACTCATGGGTTGCAGGTAGCATTCACTGGAAATTACAGTACTTTGGTATGGCACTGATGTTGATGCTGTGGTTTACC 1540
MnlI
BstKII
BanII
DpnI
MboI
TspDTI
CviJI
Cac8I
BstI
HpyCH4V
NlaIII
BsaJI
CviAII
FaeI
EaeI
MboII
BsmI
BccI
1541 TGATGCTGGCTAATGATCTCAATTCATGGGCTTCTCCCGAGGCTGTTACCATTGGTGAAGATGTAGTGGAATGCCAACATCTCGCCTTCTACACAGATGGTGGTGT 1650
HpyCH4V
BstDI
CviJI
HaeIII
MscI
EaeI
BstI
HpyCH4V
Cac8I
Hpy188III
SmlI
HinFI
TfiI
MnlI
BstI
Hpy8I
BccI
1651 GGTTTTGATTATCCCTGCCAATGGCCATTGCGACAAAGTGGATTGAGATTTCTCAGAGCAAGATGAGGACTGGAAAATGGGCGATATTGTCCACACACTAACAAACAG 1760
BsaJI
StyI
CviJI
HaeIII
BstKII
MlyI
DpnI
PleI
NlaIII
BclI
MboI
CviAII
Hin4I
AluI
CviJI
MboII
BspCNI
CviJI
BsmII
DdeI
StuI
Tsp48I
Tsp509I
BccI
TspDTI
HpyCH4V
HphI
Hpy8I
NlaIII
Hin4I
CviAII
FabI
1761 AAGATGGCTGGAAAAATGTGTAGCTTATGCTGAGAGTATGATCAGGCCCTTGGTGGTGACAAGACAAATTCATTTGGTGGATGGACAAGGATATGATGACTTCATGG 1870



Enzymes that do cut and were not excluded	Enzymes that do not cut
Acc65I, AciI, AflIII, AhaI, AlwI, ApoI, AseI, AsiSI, AvaI	AarI, AarII, AccI, AclI, AcuI, AfeI, AflII, AgeI, AhdI, AleI, AlfI, AloI, AlwNI, ApaI, ApaII, AscI, AspCNI, AvasI, AvrII
BaeI, BanI, BanII, BbsI, BbvI, BccI, BceAI, BciVI, BclI, BfaI, BglI, BplI, BmeI580I, BmrI, BpuI, BpuEI, BsaI, BsaBI, BsaJI, BsaWI, BseMII, BseYI, BsiEI, BsiHKA1, BslI, BslFI, BsmI, BsmAI, BsmBI, BsmFI, Bsp1286I, BspCNI, BspEI, BspHI, BspMI, BsrI, BsrDI, BsrGI, BssSI, BstAPI, BstF5I, BstKTI, BstNI, BsrYI, BtgI, BtsI	BamHI, BbeI, BbvCI, BcgI, BfBI, BglII, BmgBI, Bwri, BplI, Bpu10I, BsaAI, BsaHI, BsaXI, BseRI, BsgI, BsiWI, BsrBI, BsrFI, BssHII, BstBI, BstEII, BstUI, BstXI, BstZ1I, Bsu36I, BtgZI
Cac8I, Csp6I, CspCI, CviAII, CviJI	ClaI, DraI, DraIII, DrdI
DdeI, DpnI	EagI, EciI, EcoICRI, EcoNI, EcoO109I
EaeI, EarI, Eco57MI, EcoRI, EcoRV	FauI, FseI, FspI, FspAI
FalI, FatI, Fnu4HI, FokI	HaeII, HhaI, HinfII, HincII, HpaI, Hpy99I, KasI
HaeIII, HgaI, HmaI, HindIII, HinfI, HpaII, HphI, Hpy8I, Hpy188I, Hpy188III, HpyCH4III, HpyCH4IV, HpyCH4V, KpnI	MhuI, MspAII
MaeIII, MboI, MboII, MfeI, MbfI, MmaI, MnlI, MscI, MseI, MslI, MwoI	NaeI, NarI, NciI, NgoMIV, NotI, NruI, NsiI
NcoI, NdeI, NheI, NlaIII, NlaIV, NspI	PacI, PfoI, PmeI, PmlI, PpuMI, PshAI, PspOMI, PspXI, PstI, PstII, PvuII, RsrII
PasI, PciI, PflMI, PleI, PpiI, PstI, PspGI, PvuI, RsaI	SacI, SacII, SalI, SanDI, Sau96I, SbfI, SfiI, SfoI, SgrAI, SmaI, SnaBI, SpeI, SphI, SrfII, SspI, SwaI
SapI, ScaI, ScaFI, SexAI, SfaNI, SfiI, SmlI, SnuI, SryI, SryD4I	TaqII, TauI, TthIII
TalI, TaqI, TspI, TseI, Tsp48I, Tsp509I, TspDTI, TspGWI, TspRI	XbaI, XcmI, XhoI, XnaI, ZraI
XmnI	

圖二十四、VrsbeII cDNA 的限制酶切位圖譜

Fig. 24 The map of VrsbeII cDNA sequence with restriction enzyme cutting sites pointed.

附錄二

```

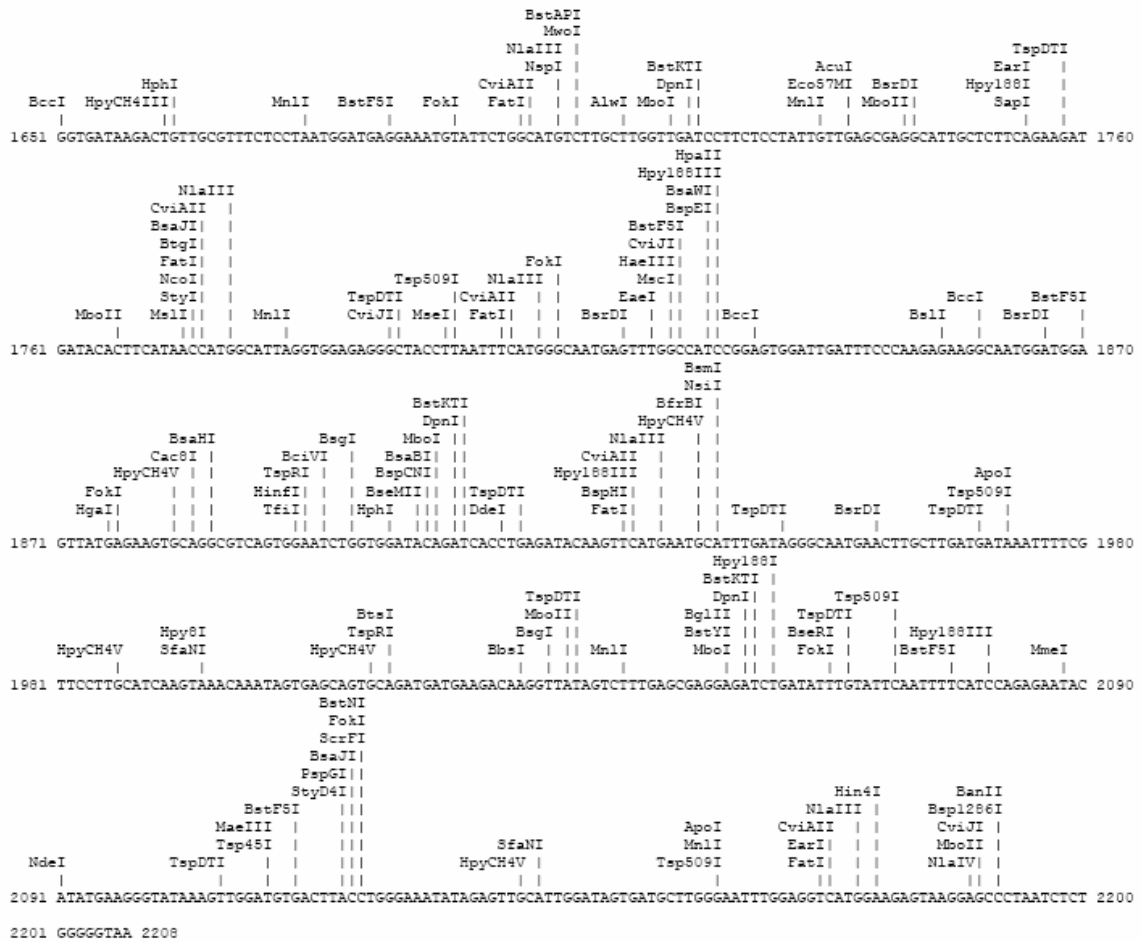
TspGWI
MseI
TspDTI
HpyCH4III
EaeI
HgaI
Fnu4HI
DpnI
HpyCH4III
MseI
MboII
BspI
HpyCH4V
HpyCH4III
TspRI
TseI
BbvI
AlfI
1 ATGTTTAACTGTCTGTGCCTTAATCCGTTTCATTTCCGCTCTTTCACCGTTGCTGCACCTCTCACACTGTAAGAAGCAGGCAGCGTCTTGCACCACAAAAGTCAGTTGA 110
MboII
TspRI
BssSI
BanII
BccI
BclHKAI
HpyCH4V
Esp1286I
HinfI
BstKTI
SacI
TfiI
BbsI
AluI
Hin4I
Hpy188I
DpnI
CviJI
AluI
BstKTI
CviJI
BspI
MboI
EcoICRI
HphI
111 TCTTGCTCTTGGCTATCCGAATCCACTTGGATATGGGTTTGGTTTTGGATTGAGAAGATCACTGCACGAGATGGTGAAGCTCTCGTTTCAAGGGGTAGCTGTTATGACTG 220
TspRI
DdeI
HinfI
SfaNI
AlwI
BstKTI
DpnI
BstF5I
BspCNI
BclFI
DpnI
BclFI
BclFI
FokI
BseMII
DdeI
BamFI
MboI
CviJI
MboI
EaeI
221 ATGACAAATCAACAATATCATCCACTGAGGAATACTTAGAAAACATTGGCATCTTTTCTATTGATCCGTCCTCAAGCCATATAAAGATCACTTCAAAATATAGACTGAAG 330
AluI
CviJI
HindIII
AclI
EcoS7MI
Hpy188I
BstKTI
DpnI
MboI
ApoI
Tsp509I
MboII
TspDTI
BsaAI
Hpy188III
ApoI
Cep6I
SnaBI
MnlI
Tsp509I
MboII
Hpy8I
HpyCH4IV
MnlI
MboII
SmlI
FaiI
BpuEI
MseI
Tsp509I
Hpy8I
331 AGATACGTAGATCAGAAAAGCTTATTGAAGAATATGAAGGAGGCTTGGAGAAATTTGCCAAGGTTATTGAAATTTGGATTTAACAGAGAAGAGGTTGGAATTTGTGA 440
MboI
Hpy188III
AarI
BspMI
Bpu10I
DdeI
Fnu4HI
BstAPI
Eme1850I
Esp1286I
NlaIV
BanI
BclI
BamAI
FokI
BclI
BbvI
BseMII
BstF5I
BclI
PflMI
SfaNI
BstUI
MboI
BspCNI
BccI
BstF5I
XcmI
MseI
AclI
TseI
Tsp509I
MseI
BccI
NlaIV
FokI
MmeI
Hpy188III
AlwI
441 CCGCGAGTGGCCACCTGCTGCTCAGGAAGCACAAATTTATGGAGACTTTAATGGATGGGATGGTCCACCCCAAAATGGAAAAAATCAGTTTGGTGTCTGGAGTATTA 550
BstF5I
BstXI
MclI
NlaIII
BclI
BsaXI
BccI
CviAII
BsaJI
BspI
FatI
NcoI
StyI
BstKTI
BstKTI
DpnI
DpnI
BstYI
EcoS7MI
AluI
Hpy188III
TaqI
HinfI
BclI
TfiI
MboI
FokI
BsaXI
MboI
551 AGATCCCTGATGCTGATGGAAATCCAGCTATAACACACAGTTTCAGAGTGAAGTTTATGATCCGCCATGGGGATGGAGTTTGGGTGATCGCTACCTGCTTGGATCAA 660
AlwI
BmrI
BstKTI
DpnI
NlaIV
BsrI
BamHI
Hpy8I
TspRI
Fnu4HI
PflMI
AlwI
Hpy8I
BstYI
DraI
BmgBI
HpyCH4III
HpyCH4V
NdeI
Hpy8I
BstYI
MseI
Hpy188I
Hpy8I
AlwI
661 TATGCCACTGTTGATCCCTAACAGATTTGCAGCACCATATGATGGTCTACTGGGATCCACCCTTTCAGAGAGATAGAGTTTAAATATCCACGTCACCAAAAGCCGAA 770

```

```

BsaJI
BtgI
NlaIV |
CviJI |
HaeIII |
EcoO109I |
Sau96I |
MnlI |
CviJI |
MnlI |
771 GGCCCCACGGATATATGAGGCTCATGTGGGGATGAGTAGCTCTGAACTCGCATAAACTCTTACAGGGAAATTGCAGATGAGATTTTGCCCCGTATTGAGCAATAACT 880
CviJI
HaeIII
EaeI |
BclI |
PflMI |
AluI |
CviJI |
MspAII |
FvuII |
BccI |
HpyCH4III |
SceAI |
CviJI |
CviJI |
HpyCH4V |
SfaNI |
881 ATAATACAGTCCAGCTGATGGCCGTTATGGAACTTCTTATTATGCATCGTTTGGATATCATGTAACAAATTTTTTGCTGTGAGCAGTAGATCTGGACCCCTGAAGAT 990
BsaI
BsaI
BsaI
EcoS7MI
Hpy188I |
MboII |
MseI |
CviJI |
CviJI |
HpyCH4V |
BstF6I |
FokI |
HphI |
BccI |
HinI |
CviJI |
991 CTTAATATCTGATAGATRAGGCTCATAGCCTAGGATTCAGGTTTTGATGGATGTTATCCATAGTCATGCCAGTAAACATCACCGATGGACTCAATGGCTTTGATGT 1100
CviJI
HaeIII
MscI |
EaeI |
MnlI |
NlaIII |
CviAII |
FatI |
EcoS7MI
Hpy9I |
AccI |
MseI |
BssI |
EmsI |
MboII |
XmnI |
1101 TGGCCAACTTCACAAGATTCTTACTTCCATGCTGGAGATAGAGTTATCACAGTTGTGGGATAGTAGACTATTTAATATGCCAAGTGGAAAGTTCTTCTGTTTCTCTT 1210
HinI
TfiI
NlaIII |
CviAII |
BsaJI |
BtgI |
FatI |
NcoI |
StyI |
MseI |
CviJI |
MnlI |
MseI |
BseRI |
BccI |
TaqI |
MaeIII |
HphI |
MslI |
BsrDI |
1211 TATCTAATTTAAGGTGGTGGCTCAGGAGTTTAAATTTGATGGATTCGATTGATGGATTAACATCAATGCTGTATCATCACCAATGGAATCAACATGTGCTTTACAGGG 1320
SfaNI
HpyCH4III |
BstKII |
DpnI |
Hpy188I |
AlwI |
CspCI |
SfaNI |
CspCI |
TspS09I |
AlwI |
CviJI |
MboI |
HpyCH4III |
HpyCH4V |
1321 GATTATATGATATTTTGGCAGACACAGATGTGGATGCTGTGTCTATCTGATGCTGGCTAATCTCTGATCCACAGTATTTTGCCAGATGCACATGTAATTGCTGA 1430
BclI
PflMI
TspS09I |
AclI |
BstNI |
EcoS7MI |
SccFI |
NlaIII |
NspI |
PepGI |
SphI |
StyD4I |
Cac8I |
CviAII |
FatI |
MboII |
HinII |
Hpy8I |
Hpy188I |
PshAI |
BfaI |
1431 AGATGTTCTGGCATGCCAGGAATTGGTCAACAAAGTTTCTGACGGTGGAAATGGTTTTGACTACTGCTAGCCATGGCTATCCCTGATAAATGGATTGATTACTTGAAGA 1540
KcmI
CviJI |
HaeIII |
BstNI |
SccFI |
BclI |
PepGI |
StyD4I |
NlaIII |
CviAII |
FatI |
MboII |
TspDTI |
BseMII |
DdeI |
CviJI |
1541 ACAAGATGAGTACACATGGTCAATGAGGAATCTCTTGGAGTTTGACAAATAGGAGATACACTGAGAATGTGTTTCTATGCTGAAGCCATGACCAGGCCATCGTT 1650

```



Enzymes that do cut and were not excluded	Enzymes that do not cut
AarI, AccI, AclI, AcuI, AflI, AhaI, AhoI, ApoI, AvaI, AvrII	AatII, Acc65I, AclI, AfeI, AfII, AfIII, AgeI, AhdI, AleI, AjoI, AlwNI, ApaI, ApaLI, AscI, AseI, AsiSI, AspCNI, AvaII
BamHI, BanI, BanII, BbsI, BbvI, BccI, BceAI, BciVI, BfiI, BfBI, BglII, BneI, BspI, Bsp1580I, BngBI, BnrI, BpmI, Bpu10I, BpuEI, BsaAI, BsaBI, BsaHI, BsaJI, BsaWI, BsaXI, BseMII, BseRI, BsgI, BsiHKAII, BslI, BstFI, BsmI, BsmAI, BsmBI, BsmFI, Bsp1286I, BspCNI, BspEI, BspHI, BspMI, BsrI, BsrDI, BssSI, BstAPI, BstFSI, BstKTI, BstNI, BstUI, BstXI, BstYI, BtgI, BstI	BaeI, BbeI, BbvCI, BcgI, BclI, BglI, BplI, BnrI, BpII, BsaI, BseYI, BsiEI, BsiWI, BsrBI, BsrFI, BswGI, BssHII, BstBI, BstEII, BstZ17I, Bsu36I, BtgZI
Cac8I, Csp6I, CspCI, CviAI, CviJI	ClaI
DdeI, DpnI, DraI	DraIII, DruI
EaeI, EarI, EciI, EcoICRI, Eco57MI, EcoO109I, EcoRV	EagI, EcoNI, EcoRI
FalI, FatI, Fnu4HI, FokI	FauI, FseI, FspI, FspAI
HaeIII, HgaI, HincII, HincIII, HinfI, HpaII, HphI, Hpy8I, Hpy188I, Hpy188III, HpyCH4III, HpyCH4IV, HpyCH4V	HaeII, HhaI, HinfPII, HpaI, Hpy99I
MaeIII, MboI, MboII, MlyI, MmelI, MnlII, MscI, MseI, MslI, MspAII, MwoI	KasI, KpnI
NcoI, NdeI, NlaIII, NlaIV, NsiI, NspI	MfeI, MluI
PEMII, PfiI, PbaAI, PstI, PspGI, PspXI, PvuII, RsaI	NaeI, NarI, NciI, NgoMIV, NheI, NotI, NruI
SacI, SspI, Sau96I, ScrFI, SfiAI, SmaI, SmaBI, SphI, SspI, StyI, StyD4I	PacI, PaeI, PciI, PfoI, PmeI, PmlI, PpiI, PpuVI, PspOMI, PstI, PstII, PvuI, RsrII
TatI, TaqI, TspI, TseI, Tsp4SI, Tsp509I, TspDTII, TspGWI, TspRI	SacII, SalI, SanDI, SbfI, ScaI, SexAI, SfiI, SfiI, SfoI, SgrAI, SmaI, SpeI, SrfI, StuI, SwaI
XcmI, XhoI, XmnI	TaqII, TspI, TthIII
	XbaI, XmaI, ZraI

圖二十五、VrsbeI cDNA 的限制酶切位圖譜

Fig. 25 The map of VrsbeI cDNA sequence with restriction enzyme cutting sites pointed.

附錄三

表十 綠豆 SBEII cDNA (*VrsbeII*) 演繹之胺基酸序列在 NCBI 資料庫的搜尋比對

Enzyme	Accession no.	Species	Full length (amino acids)	Matched region (location)	Matched length (amino acids)	Identity %	Reference
SBEII	BAA82348 (AB029548)	<i>Phaseolus vulgaris</i> (kidney bean)	870	1-870	796/871	91	Hamada et al., 2001 Biochem. J. 359 (1): 23-34
SBEIIa	AAB67316 (U65948)	<i>Zea mays</i> (corn)	814	108-809	596/702	84	Gao, et al., 1997 Plant Physiol. 114 (1): 69-78
1,4-alpha-D-glucan 6-alpha-D-(1,4-alpha-D-glucanotransferase)	AAB17086 (U66376)	<i>Triticum aestivum</i> (wheat)	729	38-729	575/692	83	Kroeger, et al., 1996 online Submission
SBEIIa	AAC69753 (AF064560)	<i>Hordeum vulgare</i> (barley)	734	43-734	581/692	83	Sun et al., 1998 Plant Physiol. 118 (1): 37-49
SBEIIa	AAK26822 (AF338432)	<i>Triticum aestivum</i> (wheat)	768	77-768	579/692	83	Rahman et al., 2001 Plant Physiol. 125 (3): 1314-1324

SBEII	AAB33385	<i>Zea mays</i> (corn)	738	49-735	557/687	81	Guan, et al., 1994 Cell. Mol. Biol. (Noisy-le-grand) 40 (7): 981-988
SBEI	CAA56319 (X80009)	<i>Pisum sativum</i> (pea)	922	1-865	713/873	81	Burton et al., 1995 Plant J. 7 (1): 3-15
SBEII	AAA18571 (L08065)	<i>Zea mays</i> (corn)	799	110-796	554/687	80	Fisher, et al., 1993 Plant Physiol. 102 (3): 1045-1046
SBEIIb	AAP72267 (AY304540)	<i>Sorghum</i> <i>bicolor</i> (sorghum)	803	69-800	564/732	77	Mutisya, et al., 2003 J. Plant Physiol. 160: 921-930
1,4-alpha-glucan branching enzyme isoform SBE2.2 precursor	AAB03100 (U22428)	<i>Arabidopsis</i> <i>thaliana</i>	800	24-800	616/806	76	Fisher, et al., 1996 Plant Mol. Biol. 30 (1): 97-108
SBE RBE4	BAA82828 (AB023498)	<i>Oryza sativa</i> (rice)	841	39-841	620/810	76	Mizuno et al., 2001 Plant cell Physiol. 42 (4): 349-357
SBEIIb	AAC69754 (AF064561)	<i>Hordeum</i> <i>vulgare</i> (barley)	829	87-826	565/751	75	Sun et al., 1998 Plant Physiol. 118 (1): 37-49

SBEII	CAA72154 (Y11282)	<i>Triticum aestivum</i> (bread wheat)	823	32-823	605/811	74	Nair, et al., 1997 Plant Sci. 122: 153-163
SBE2	AAG27623 (AF286319)	<i>Triticum aestivum</i> (wheat)	823	32-823	606/811	74	McCue et al., 2002 Plant Mol. Biol. Rep. 20 (2): 191-192
SBEII	BAB64912 (AB071286)	<i>Ipomoea batatas</i> (sweet potato)	868	1-866	645/874	73	Kimura and Saito, 2001 online Submission
RBE3	BAA03738 (D16201)	<i>Oryza sativa</i> (rice)	825	19-825	602/828	72	Mizuno et al., 1993 J. Biol. Chem. 268 (25): 19084-19091

附錄四

表十一 綠豆 SBEI cDNA (*VrsbeI*) 演繹之胺基酸序列在 NCBI 資料庫的搜尋比對

Enzyme	Accession no. Protein (Nucleotide)	Species	Full length (amino acids)	Matched region (location)	Matched length (amino acids)	Identity %	Reference
SBEI	BAA82349 (AB029549)	<i>Phaseolus vulgaris</i> (kidney bean)	847	1-722	688/722	95	Hamada et al., 2001 Biochem. J. 359 (1): 23-34
SBEII	CAA56320 (X800010)	<i>Pisum sativum</i> (pea)	826	8-716	594/710	83	Burton et al., 1995 Plant J. 7 (1): 3-15
1,4-alpha-glucan branching enzyme	CAA49463 (X69805)	<i>Solanum tuberosum</i>	861	75-734	544/660	82	Poulsen and Kreiberg, 1993 Plant Physiol. 102 (3): 1053-1054
1,4-alpha-glucan branching enzyme	CAA54308 (X77012)	<i>Manihot esculenta</i> (cassava)	852	1-732	574/732	78	Salehuzzaman, et al., 1997 online Submission
SBE	AAD50279 (AF169833)	<i>Sorghum bicolor</i> (sorghum)	832	50-721	505/674	74	Hsieh, et al., 2002 online Submission
SBE1	BAA01584 (D10752)	<i>Oryza sativa</i> (japonica cultivar-group)	820	43-715	495/674	73	Nakamura and Yamanouchi, 1992 Plant Physiol. 99: 1265-1266

SBE1	AAP68993 (AY302112)	<i>Oryza sativa</i> (japonica cultivar-group)	820	43-715	495/674	73	Chen, et al., 2003 Zhongguo Shuidao Kexue 17: 109-112
starch branching enzyme I	AAP72268 (Y304541)	<i>Hordeum vulgare</i> (barley)	775	14-664	479/651	73	Mutisya, et al., 2003 J. Plant Physiol. 160: 921-930
starch branching enzyme 1	AAG27622 (AF286318)	<i>Triticum aestivum</i> (wheat)	833	49-726	486/679	71	McCue, et al., 2002 Plant Mol. Biol. Rep. 20 (2): 191-192
starch branching enzyme I	AAD30187 (AF525764)	<i>Aegilops tauschii</i> subsp. Strangulate (wheat)	829	46-722	474/679	69	Rahman, et al., 1997 Genome 40 (4): 465-474
starch branching enzyme	BAB40334 (AB042937)	<i>Ipomoea batatas</i> (sweet potato)	696	8-651	394/651	60	Abe and Orichi, 2001 online Submission
RBE4	BAA82828 (AB023498)	<i>Oryza sativa</i> (rice)	841	162-804	388/650	59	Mizuno, et al., 2001 Plant Cell Physiol. 42(4): 349-357